

SKRIPSI

PEMETAAN GUA DALAM PERSPEKTIF TIGA DIMENSI

(Studi Kasus : Kabupaten Malang)



DISUSUN OLEH :

ADE WAHYUDI

06.25.021

**JURUSAN TEKNIK GEODESI S-1
FAKULTAS TEKNIK SIPIL DAN PERENCANAAN
INSTITUT TEKNOLOGI NASIONAL
MALANG
2013**



PT. BNI (PERSERO) MALANG
BANK NIAGA MALANG

PERKUMPULAN PENGELOLAAN PENDIDIKAN UMUM DAN TEKNOLOGI NASIONAL MALANG
INSTITUT TEKNOLOGI NASIONAL MALANG
FAKULTAS TEKNOLOGI INDUSTRI
FAKULTAS TEKNOLOGI SIPIL DAN PERENCANAAN
PROGRAM PASCASARJANA MAGISTER TEKNIK
Kampus I : Jl. Bendungan Sigura No. 2 Telp. (0341)551431 (Hunting), Fax. (0341)553015 Malang 65145
Kampus II: Jl. Raya Karanglo, Km 2 Telp. (0341)417634 Malang

**LEMBAR PENGESAHAN
SKRIPSI**

**PEMETAAN GUA DALAM PERSPEKTIF
TIGA DIMENSI**

(Studi Kasus : Kabupaten Malang)

Telah Dipertahankan di Hadapan Panitia Pengaji Skripsi Jenjang Strata-1 (S-1)

Pada hari : Sabtu

Tanggal : 13 Juli 2013

Dan diterima untuk memenuhi persyaratan guna memperoleh gelar Sarjana Teknik
(ST)

Oleh :

Ade Wahyudi

06.25.021

Panitia Ujian Skripsi

Ketua



Sekretaris

Silvester Sari Sai, ST., MT.

Anggota Pengaji

Pengaji I

Edwin Tjahjadi, ST. M.GeoM.Sc.

Pengaji II

Ir. Agus Darpono, MT.

Pengaji III

Silvester Sari Sai, ST., MT.

LEMBAR PERSETUJUAN
PEMETAAN GUA DALAM PERSPEKTIF
TIGA DIMENSI
(Studi Kasus : Kabupaten Malang)

SKRIPSI

Diajukan untuk memenuhi persyaratan dalam mencapai
Gelar Sarjana Teknik (ST) Strata Satu (S-1) Teknik Geodesi S-1
Institut Teknologi Nasional Malang

Disusun Oleh :

Ade Wahyudi

06.25.021

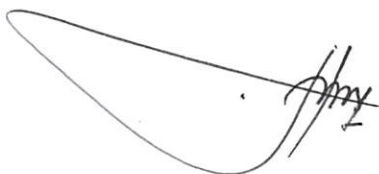
Menyetujui,

Dosen Pembimbing I



Ir. Agus Darpono, MT.

Dosen Pembimbing II



Hery Purwanto, ST. MSc

Mengetahui

Ketua Jurusan Teknik Geodesi S-1



ABSTRAKSI

PEMETAAN GUA DALAM PERSPEKTIF TIGA DIMENSI

(Studi Kasus : Kabupaten Malang)

Oleh : Ade Wahyudi (06.25.021)

Dosen Pembimbing I : Ir. Agus Darpono, MT.

Dosen Pembimbing II : Hery Purwanto, ST. MSc

Speleologi merupakan ilmu yang mempelajari gua dan lingkungannya. Ilmu pemetaan gua salah satu bagian dari kegiatan speleologi. Gua adalah lubang alami di bawah tanah dan memiliki aliran air di lorongnya. Pemetaan gua adalah usaha untuk menampilkan arah, kemiringan, panjang dan kondisi lorong gua ke dalam suatu medium. standar grade pemetaan gua yang paling teliti adalah grade X dan kelas D, yaitu pemetaan dengan peralatan survei non magnetik dengan penggambaran detail secara teliti sesuai bentuk lorong gua. sehingga hasil yang dihasilkan adalah gambar bergerak lorong gua dalam perspektif tiga dimensi yang tergambar dari hasil survei pemetaan gua. Survei pemetaan gua ini dapat memberikan informasi lorong gua dengan visualisasi tiga dimensi.

Kata kunci : Speleologi, Pemetaan gua, perspektif tiga dimensi

SURAT PERNYATAAN KEASLIAN SKRIPSI

Saya yang bertanda tangan dibawah ini :

Nama : Ade Wahyudi
NIM : 06.25.021
Program Studi : Teknik Geodesi S-1
Fakultas : Fakultas Teknik Sipil Dan Perencanaan

Menyatakan dengan sesungguhnya bahwa Skripsi saya dengan judul :

**“PEMETAAN GUA DALAM PERSPEKTIF
TIGA DIMENSI
(Studi Kasus : Kabupaten Malang)”**

Adalah hasil karya saya sendiri, bukan merupakan duplikat serta tidak mengutip atau menyadur dari hasil karya orang lain kecuali disebutkan sumbernya.

Malang,

Yang membuat pernyataan

Ade Wahyudi

NIM : 06.25.021

KATA PENGANTAR

Segala puji bagi Allah SWT. Tuhan semesta alam atas segala berkat, rahmat, taufik, serta hidayah-Nya sehingga penulis dapat menyelesaikan skripsi dengan judul :

**“PEMETAAN GUA DALAM PERSPEKTIF
TIGA DIMENSI
(Studi Kasus : Kabupaten Malang)”**

Dimana penulisan skripsi ini disusun sebagai salah satu syarat untuk meraih gelar Sarjana Teknik pada Jurusan Teknik Geodesi Fakultas Teknik Sipil dan Perencanaan Institut Teknologi Nasional Malang.

Penulisan ini tidak akan dapat terselesaikan tanpa bantuan dan dukungan berbagai pihak. Oleh karena itu, peneliti ingin mengucapkan terima kasih yang sebesar-besarnya kepada :

1. Bapak Ir. Soeparno Djiwo, MT. selaku Rektor Institut Teknologi Nasional Malang.
2. Bapak Dr. Ir. Kustamar, MT. selaku Dekan Fakultas Teknik Sipil dan Perencanaan Institut Teknologi Nasional Malang.
3. Bapak Ir. Agus Darpono, MT. selaku Ketua Jurusan Teknik Geodesi Institut Teknologi Nasional Malang.
4. Bapak Ir. Agus Darpono, MT. selaku dosen Pembimbing I.
5. Bapak Hery Purwanto, ST.MSc. selaku Dosen Pembimbing II.
6. Bapak Dr. Edwin Tjahjadi, ST. M.GeoM.Sc. selaku Dosen Penguji I.
7. Bapak Ir. Agus Darpono, MT. selaku Dosen Penguji II.
8. Bapak Silvester Sari Sai. ST., MT selaku Dosen Penguji III.

9. Segenap dosen, staf pengajar dan *recording* Jurusan Teknik Geodesi Fakultas Teknik Sipil dan Perencanaan Institut Teknologi Nasional Malang.
10. Bapak, Ibu, dan Saudara-saudaraku, yang selalu memberikan dukungan, semangat dan doa.
11. Teman-teman ITN yang selalu memberikan semangat dan doa.
12. Semua pihak yang telah membantu peneliti yang tidak dapat disebutkan satu persatu.

Penulis menyadari bahwa penulisan laporan ini masih belum sempurna, baik dari segi materi, sistematika pembahasan, maupun susunan bahasa. Oleh karena itu, kritik dan saran yang membangun sangat penulis harapkan. Hasil penelitian ini dan dengan segala keterbatasannya dipersembahkan kepada dunia pendidikan, semoga ada manfaatnya untuk pengembangan sumber daya manusia di negara tercinta ini.

Malang, 13 Juli 2013

Penulis

Lembar Persembahan

BISMILLAHIRRAHMAANIRROHIIM

Alhamdulillaahirabbil'alamin kupersembahkan puji syukur atas segala rahmat dan karunianya kepada tuhan semesta alam, Allah SWT yang telah memberi nikmat, kemudahan, kelancaran dan hikmah dalam perjalanan hidup ini. semoga shalawat dan salam selalu tercurahkan kepada junjungan kita nabi besar Muhamad SAW beserta para sahabatnya.

Terima kasih Ya Allah akhirnya aku bisa berkesempatan merasakan dan menjalani semua ini.. Amiin

Hanya doa dan usaha yang dapat membuat sebuah keinginan dan cita-cita bisa tercapai. Akhirnya dalam perjalan ini, aku dapat menyelesaikan sebuah tugas akhir yang sekian lama dalam penantian orang-orang terdekatku.

Karya ini kupersembahkan untuk :

1. Kedua orang tua ku (Abah dan Emak), Terima kasih atas kasih sayang, doa, dan dukungan serta kesabarannya terutama semasa aku menjalani perkuliahan ini, cukup panjang sekali.
2. Seluruh kakak-kakak ku (Teh Elin, Ka Ito, Teh Opie, dan Ka Adin) terima kasih semuanya masih sabar menunggu dan memotivasi saya untuk lulus menjadi seorang sarjana. Teh Opi makasi yah dukungannya baik moral maupun materilnya, kau wanita perkasa yang telah membuktikan aku bisa seperti ini. Buat keponakan-keponakanku semua kalian adalah inspirasi semangat terbaruku.
3. Bapak Ir. Agus Darpono, MT. Selaku ketua jurusan Geodesi ITN Malang
4. Bapak Ir. Agus Darpono, MT. dan Bapak Hery purwanto, ST. MSc, terima kasih kesediaanya untuk meluangkan waktu membimbing dan berbagi ilmu serta berdiskusi dengan diri ini. Terima kasih tes mentalnya Pak, banyak yang bisa saya ambil dari ini semua.
5. Para pelatihku di keluarga besar SISPALARA dan WANADRI baik yang masih ada atau pun yang telah mendahuluiku, terima kasih telah membentuk diri ini menjadi orang yang selalu riang gembira, jenaka dalam menghadapi hal apapun walaupun itu kekalahan sehingga diri ini bisa merubahnya menjadi kemenangan. JasaMu Abadii..!!
6. Untuk Nare (kharisma fitriani) kau inspirasi semangat hidup ini. Terima kasih menjadi wanita yang sabar walaupun cerewet untuk memotivasi aku dalam menyelesaikan pendidikan ini.
7. Tim survei gua Nando, Gembul, Arman, Arif, Yani, Cunk dan Cahyo. Terima kasih atas bantuan kalian, ini hasil dari survei kita. Puma makasih GPSnya yah. Buat Yani

makasih selama ini uda bisa menampung saya di baraknya, buat mengerjakan dan menyelesaikan skripsi ini. Buat Iwan Boy makasih kuda besi kuningnya, bisa dipakai operasional di Malang.

8. Sahabat-sahabat Geodesi 2006, Terima kasih buat kebersamaanya selama ini, sedih duka, ceria dan gembira kita lewati bersama. Semoga kita akan selalu terjaring dalam ikatan tali silaturahmi dan meraih kesuksesan masing-masing.
9. Keluarga besar Himpunan Mahasiswa Geodesi (HMG) ITN Malang dan adik-adik angkatan Teknik Geodesi ITN Malang, Jaya selalu dan terus semangat!!!
10. Buat Andri, Fe'i, Ida dan Elisa.. Makasih yah uda banyak bantu selesaikan tugas-tugas saya. semangat yah kalian kuliahnya!!

Terima kasih buat semua orang-orang di sekitar, yang telah membantu saya baik dalam doa ataupun perbuatan. Maaf kalo belum saya sebutkan namanya dalam tulisan ini. karena kalian semua skripsi ini dapat terselesaikan akhirnya. Semoga ketulusan doa dan bantuan kalian untuk saya dalam menyelesaikan skripsi ini terbalaskan semua oleh Allah SWT. Amiin

Doa Seorang Ayah

Tuhanku..

Bentuklah putraku, menjadi manusia yang cukup kuat
Untuk menyadari manakala ia lemah
Dan cukup berani untuk menghadapi dirinya sendiri manakala ia takut
~~Manusia yang~~ merasa bangga dan teguh dalam kekalahan,
Rendah serta jujur dalam kemenangan

Bentuklah putraku, menjadi manusia yang kuat dan mengerti
Bawa mengetahui dan kenal akan dirinya sendiri
Adalah dasar dari ilmu pengetahuan

Tuhanku..

Janganlah putraku Kau bimbing di atas jalan yang mudah dan nyaman
Tapi bimbinglah ia di bawah tempaan dan
Desak kesulitan tantangan hidup
Bimbinglah putraku agar tegak di tengah badai
Dan berbelas kasihan pada mereka yang jatuh

Bentuklah putraku, menjadi manusia yang berhati bening,
Dengan cita meninggi langit
Manusia yang sanggup memimpin dirinya sendiri
Sebelum ia berhasrat memimpin orang lain
~~Manusia yang~~ menggapai kegemilangan hari depan
Tanpa melupakan masa lampau

Dan setelah semua menjadi miliknya,
Lengkapi lah ia dengan rasa jenaka,
Agar ia besungguh-sungguh tanpa menganggap dirinya terlalu serius

Berikanlah padanya kerendahan hati
Kesederhanaan dari keagungan hatiku
Keterbukaan pikiran bagi sumber kearifan
Dan kelembutan dari kekuatan sebenarnya

Setelah semua tercapai,
Aku ayahnya berani berbisik,
"HIDUPKU TIDAKLAH SIA-SIA"

Douglas Mc Arthur... Kutipan perang dunia ke 2

MayA gnostoski, ant!

Antiekti

En el que d'ho gos i element l'hereta de la llengua dels homes
deixa el diuinament incluyent en la
mida de estesas tributacions enysirib i qubedonem d'una mida que no es
l'hereta de moltes d'us joi ne b'agressa encom gos ~~que~~
enq'go enemis enemis enq'go debos S

Integrem en la figura, envers un ib'joc en la linea dels homes
tributacions enysirib i qubedonem d'una mida
estendutament en q'go enemis enq'go debos

Antiekti

En el que d'ho gos i element l'hereta de la llengua dels homes
deixa el diuinament incluyent en la
mida de estesas tributacions enysirib i qubedonem d'una mida que no es
l'hereta de moltes d'us joi ne b'agressa encom gos ~~que~~
enq'go enemis enemis enq'go debos S

En el que d'ho gos i element l'hereta de la llengua dels homes
deixa el diuinament incluyent en la
mida de estesas tributacions enysirib i qubedonem d'una mida que no es
l'hereta de moltes d'us joi ne b'agressa encom gos ~~que~~
enq'go enemis enemis enq'go debos S

En el que d'ho gos i element l'hereta de la llengua dels homes
deixa el diuinament incluyent en la
mida de estesas tributacions enysirib i qubedonem d'una mida que no es
l'hereta de moltes d'us joi ne b'agressa encom gos ~~que~~
enq'go enemis enemis enq'go debos S

En el que d'ho gos i element l'hereta de la llengua dels homes
deixa el diuinament incluyent en la
mida de estesas tributacions enysirib i qubedonem d'una mida que no es
l'hereta de moltes d'us joi ne b'agressa encom gos ~~que~~
enq'go enemis enemis enq'go debos S

En el que d'ho gos i element l'hereta de la llengua dels homes
deixa el diuinament incluyent en la
mida de estesas tributacions enysirib i qubedonem d'una mida que no es
l'hereta de moltes d'us joi ne b'agressa encom gos ~~que~~
enq'go enemis enemis enq'go debos S

En el que d'ho gos i element l'hereta de la llengua dels homes
deixa el diuinament incluyent en la

DAFTAR ISI

LEMBAR PENGESAHAN

LEMBAR PERSETUJUAN

ABSTRAKSI

PERNYATAAN KEASLIAN SKRIPSI

KATA PENGANTAR

LEMBAR PERSEMBAHAN

DAFTAR ISI

DAFTAR GAMBAR

BAB I PENDAHULUAN

1.1. Latar Belakang	1
1.2. Perumusan Masalah.....	3
1.3. Maksud Penelitian.....	3
1.4. Tujuan Penelitian.....	4
1.5. Batasan Masalah.....	4
1.6. Tinjauan Pustaka	4

BAB II DASAR TEORI

2.1. Pengertian Gua	7
2.2. Penelusuran Gua.....	8
2.3. pemetaan Gua.....	8
2.3.1 Jenis Peta Gua.....	9

2.3.2. Standar <i>Grade</i> dan klasifikasi Peta Gua.....	10
2.3.3. Pembagian Tugas	13
2.3.4. Sistem Survei.....	14
2.3.5. Metode Survei	14
2.4. Tahapan Pengukuran	15
2.5. Kerangka Kontrol Pemetaan	16
2.5.1 Kerangka Kontrol Horizontal.....	16
2.5.1.1. Poligon Terbuka.....	17
2.5.1.1.1. Poligon Terbuka Terikat Sempurna	17
2.5.1.1.2. Poligon Terbuka Terikat Koordinat	19
2.5.1.1. Poligon Tertutup	23
2.6. Pengukuran Pada <i>Pothole</i>	24
2.7. Pengukuran Pada <i>Pitch</i> Dalam	25
2.7.1. Mengukur Tali	25
2.7.2. Metode Tandem.....	25
2.7.2. Metode Trigonometri	26
2.8. Pengukuran Tinggi Atap Gua.....	26

BAB III PELAKSANAAN PENELITIAN

3.1. Peralatan Penelitian	29
3.1.1. Peralatan Survei.....	29
3.1.2. Perangkat Pengolahan Data.....	29
3.1.2.1. Perangkat Keras (<i>Hardware</i>).....	29
3.1.2.2. Perangkat Lunak (<i>Software</i>)	30

3.2. Penggunaan Peralatan Survei dan <i>Software</i> nya	30
3.2.1. <i>Microsoft Office 2007</i>	30
3.2.2. <i>Topcon Link v.75</i>	31
3.2.3. <i>AutoCAD Land Desktop 2009</i>	31
3.2.4. <i>3ds Max7</i>	32
3.2.5. <i>Total Station Topcon GTS 230</i>	33
3.2.6. <i>Leica Disto A5</i>	34
3.2.7. <i>GPS Handheld Garmin 76 Csx</i>	34
3.3. Metode Pengambilan Data Lapangan	35
3.3.1. Persiapan.....	35
3.3.2. Survei Lapangan.....	36
3.3.3. Pemasangan Marker	37
3.3.4. Pengukuran Poligon	38
3.4.4.1. Pengukuran Poligon Tertutup.....	38
3.4.4.2. Pengukuran Poligon Terbuka Terikat Koordinat	38
3.3.5. Pengukuran Detail	39
3.4. Metode Pengolahan Data	40
3.4.1. Pengolahan Data Poligon tertutup.....	40
3.4.2. Pengolahan Data Poligon Terbuka Terikat Koordinat	41
3.4.3. Pengolahan Data Pengukuran Data Detail	42
3.5. Metode Penggambaran	43
3.5.1. Ploting Data.....	44
3.5.2. Penggambaran <i>Plan Section</i>	48
3.5.3. Pembuatan <i>TIN (Triangulated Irregular Network)</i>	48

3.5.4. Pembuatan Perspektif 3 Dimensi Lorong Gua.....	54
3.6. Diagram Alir	62

BAB IV HASIL DAN PEMBAHASAN

4.1. Pembahasan Hasil Penelitian	63
4.2. Pembahasan Hasil Pengambilan Data	63
4.2.1. Pengukuran Poligon Tertutup.....	63
4.2.2. Pengukuran Poligon terbuka Terikat koordinat	66
4.2.3. Pengukuran Detail	69
4.3. Hasil Penggambaran.....	69
4.3.1. Hasil Ploting Data	69
4.3.2. Hasil Penggambaran Plan Section.....	70
4.3.3. Hasil Pembuatan TIN	71
4.3.4. Hasil Pembuatan <i>Surface 3d</i>	72
4.3.5. Hasil Render Tiga Dimensi Lorong Gua.....	73
4.3.6. Pembahasan Hasil Penyajian.....	74

BAB V PENUTUP

5.1. Kesimpulan.....	76
5.2. Saran.....	77

DAFTAR PUSTAKA

LAMPIRAN

DAFTAR GAMBAR

Gambar 2.1. Poligon Terbuka Terikat Sempurna	17
Gambar 2.2. Poligon Terbuka Terikat Koordinat	19
Gambar 2.3. Poligon tertutup	23
Gambar 2.4. Pengukuran Atap Gua	27
Gambar 3.1. Tampilan Awal Topcon Link v.75	31
Gambar 3.2. Tampilan awal AutoCAD Land 2009	32
Gambar 3.3. Tampilan Awal Pada Software 3ds Max7	33
Gambar 3.4. Total Station Topcon GTS 230	33
Gambar 3.5. Leica Disto A5.....	34
Gambar 3.6. GPS Handheld Garmin 76 Csx.....	35
Gambar 3.7. Sket Pengukuran Poligon	39
Gambar 3.8. Proses Perhitungan Poligon tertutup pada <i>Microsoft Excel 2007</i>	41
Gambar 3.9. Proses Perhitungan poligon Terikat Koordinat Pada <i>Microsoft Excel 2007</i>	42
Gambar 3.10. Proses Perhitungan Detail Pada <i>Microsoft Excel 2007</i>	43
Gambar 3.11. Tampilan Awal dari AutoCAD Land Desktop 2009.....	44

Gambar 3.12. Tampilan dari <i>File Project</i> baru	45
Gambar 3.13. Tampilan Point Setting AutoCAD Land Desktop 2009	46
Gambar 3.14. Tampilan Pilihan <i>Import/Export Point</i>	46
Gambar 3.15. Tampilan <i>Format Manager-Import Point</i>	47
Gambar 3.16. Tampilan Hasil Point Pada Layar <i>AutoCad Land Desktop 2009</i>	47
Gambar 3.17. Tampilan Layout Peta Gua.....	48
Gambar 3.18. Tampilan Pada <i>Tool Terrain</i>	49
Gambar 3.19. Tampilan <i>Add Point</i> pada <i>Terrain Model Explorer</i>	50
Gambar 3.20. Tampilan <i>Build</i> Pada <i>Terrain Model Explorer</i>	50
Gambar 3.21. Tampilan <i>Import 3D Lines</i>	51
Gambar 3.22. Tampilan Hasil <i>Import TIN</i>	52
Gambar 3.23. Tampilan TIN Lorong Gua.....	53
Gambar 3.24. Tampilan Lorong Gua yang dilapisi <i>3dface</i>	53
Gambar 3.25. Tampilan Pilihan <i>Import</i>	54
Gambar 3.26. Tampilan <i>Source Object Import</i>	54
Gambar 3.27. Tampilan <i>Import Option</i>	55
Gambar 3.28. Tampilan <i>Configure Gambar</i>	55

Gambar 3.29. Tampilan <i>Viewport Configuration</i>	56
Gambar 3.30. Tampilan <i>Convert Gambar</i>	56
Gambar 3.31. Tampilan <i>Material Editor</i>	57
Gambar 3.32. Tampilan Pilihan Garis.....	58
Gambar 3.33. Tampilan Pilihan Kamera.....	58
Gambar 3.34. Tampilan Pengaturan Posisi Kamera.....	59
Gambar 3.35. Tampilan <i>Assign Controller</i>	59
Gambar 3.36 Tampilan <i>Path Parameter</i>	60
Gambar 3.37. Tampilan <i>Render Scene</i>	61
Gambar 3.38. Diagram Alir Penelitian.....	62
Gambar 4.1. Sket Poligon	65
Gambar 4.2. Sket Poligon Terikat Koordinat.....	68
Gambar 4.3. Tampilan Hitungan Detail Dalam Microsoft Excel 2007	69
Gambar 4.4. Tampilan <i>Point</i> Pada <i>AutoCAD Land Desktop 2009</i>	70
Gambar 4.5. Tampilan <i>Layout Plan Section Gua</i>	71
Gambar 4.6. Tampilan TIN Lorong Gua pada <i>AutoCAD Land Desktop 2009</i>	72
Gambar 4.7. Tampilan <i>Surface 3D</i> Lorong Gua Pada <i>AutoCAD Land Desktop 2009</i>	73

Gambar 4.8. Hasil Render Objek Lorong Gua.....74

Gambar 4.9. Penyajian Perspektif Tiga Dimensi Lorong Gua Pada
Aplikasi Video75



BAB I

PENDAHULUAN

1.1 Latar Belakang

Speleologi merupakan ilmu yang mempelajari gua dan lingkungannya. Saat ini telah berkembang selama lebih dua dasawarsa di negara kita Indonesia. Dua dasawarsa adalah rentang waktu yang panjang. Namun perkembangan itu sangat tertinggal jauh, karena sejak kelahirannya di Eropa usia ilmu ini sudah dapat dihitung dengan bilangan abad. Kita sudah tertinggal jauh dan semakin jauh karena dalam kurun waktu dua dasawarsa ini, hal-hal baru tersebut terus terjadi di ujung sana, sementara di sini semuanya berkembang dengan sangat perlahan.

Ilmu pemetaan gua, sebagai salah satu bagian dari kegiatan penelusuran gua, mengalami nasib yang tidak lebih baik di negeri ini. Memang ia berkembang dan menyebar, tetapi dengan laju yang sangat tidak menggembirakan. Salah satu penyebab lambannya perkembangan speleologi dan ilmu pemetaan gua adalah terbatasnya referensi yang dapat kita peroleh berkaitan dengan ilmu di atas. Sejauh ini sebagian besar bahan bacaan dengan pokok bahasan speleologi dan pemetaan gua tiba di Indonesia dari tempat yang sangat jauh, yaitu negara-negara maju Eropa dan Amerika utara. Sudah barang tentu tidak semua orang yang memerlukan, memiliki kesempatan untuk mendapatkan bahan bacaan di atas.

Usaha manusia untuk merekam lingkungannya dengan menggunakan media dinding gua setidaknya telah dimulai sejak 35 ribu tahun silam oleh para seniman purba di gua Chuvet, Perancis. Namun sebaliknya, usaha dokumentasi

lingkungan bawah tanah dalam rupa gambar, baru dilakukan pada tahun 1320 sebelum Masehi, setidaknya demikian bila yang dijadikan tolak ukur adalah peta bawah tanah tertua yang pernah ditemukan. Peta tersebut berasal dari negeri Mesir dan berisi gambaran tentang tambang emas bawah tanah yang pernah beroperasi di negeri tersebut.

Hampir tiga milenia setelah peta tambang emas Mesir digambar, ilmuwan-ilmuwan mulai banyak yang melakukan kegiatan berupa penelusuran serta penelitian lingkungan bawah tanah dengan berbekal peralatan seadanya yang tersedia pada zaman itu. Pada abad ke 19, diantaranya adalah seorang penelusur gua asal perancis bernama Edward Alfred Martell. Telah berhasil mengembangkan teknik penelusuran serta metode pencatatan ilmiah bagi lingkungan gua. Hasil penelitian serta dokumentasi yang dilakukannya terhadap gua-gua di negaranya, dan di negara-negara sekitarnya telah membawa kemajuan yang berarti bagi pengetahuan manusia terhadap lingkungannya yang sebelumnya dianggap asing itu. Pencapaian ini membuat Edward Alfred Martell memperoleh penghargaan yang sangat tinggi di kalangan para ilmuwan. Penghargaan terhadap Marfell diwujudkan dengan penganugerahan gelar bapak “Speleologi”.

Meski Speleologi atau ilmu tentang gua dan lingkungannya terus mengalami perkembangan, namun tidak demikian dengan teknik pemetaan gua. Dari abad ke abad, hingga selepas perang dunia kedua, para penelusur gua yang paling berpengalaman pun masih mengandalkan tak lebih dari sebuah kompas saku untuk megukur tanah lorong gua dan menggunakan seutas tali yang

panjangnya telah diketahui, atau malah panjang langkahnya sendiri untuk mengetahui panjang lorong.

Berdirinya Specavina pada tahun 1979, salah satu kelompok penelusur gua pertama di Indonesia merupakan titik awal yang menandai tumbuhnya kegiatan speleologi di Indonesia. Sejak saat itu, kelompok tersebut mulai aktif melakukan pemetaan di berbagai gua di Indonesia.

Berkembangnya kegiatan pemetaan gua di negara kita, sejauh ini belum ada jawatan yang bertanggungjawab, dan mampu, membuat serta mempublikasikan peta gua. Oleh sebab itu dengan sendirinya yang mengemban tanggungjawab untuk membuat peta gua adalah para penelusur gua itu sendiri.

1.2 Perumusan Masalah

Pemetaaan kondisi gua yang dapat menampilkan arah, kemiringan, panjang dan kondisi lorong gua ke dalam suatu media gambar. Sehingga dapat memberikan informasi gua secara visual dan informatif.

1.3 Maksud Penelitian

Maksud dari penelitian pemetaan gua ini adalah :

1. Memberikan informasi bagi tim-tim atau kelompok ekspedisi yang akan melaksanakan penelusuran, pertolongan atau penelitian di gua tersebut,
2. Memberikan informasi mengenai adanya potensi sungai bawah tanah guna masyarakat setempat dan masyarakat luas,
3. Menjadikan sebuah referensi bagi para ilmuwan dimana objek penelitiannya berkaitan dengan gua dan lingkungannya,
4. Membandingkan kondisi gua dari waktu ke waktu guna dijadikan parameter dalam pengembangan gua tersebut,

5. Sumber informasi bagi kepentingan strategis pertahanan dan keamanan.

1.4 Tujuan Penelitian

Melakukan pemetaan gua menggunakan sistem survey *Top to Bottom* dengan metode survey *Fore and Backsight*. Untuk menghasilkan gambar peta yang sesuai dengan akurasi kondisi dan detail lorong gua Lowo di dusun Sumberceleng, desa Banjarejo, kecamatan Donomulyo, kabupaten Malang.

1.5 Batasan Masalah

Melakukan pemetaan gua dengan standar *grade* pemetaan gua yang dipakai adalah standar *grade X* dan klasifikasi D, yaitu standar grade pemetaan gua yang keakuratan pengukurnya teliti dan pengukurnya menggunakan alat non magnetik melainkan dengan penggunaan alat theodolite atau alat *Total Station* (TS). Dan pengukuran detail diukur di tiap survey dimana saja yang dianggap perlu untuk menunjukkan perubahan yang berarti pada dimensi lorong gua. Sehingga dalam penelitian ini dapat menghasilkan gambar peta dengan kondisi dan informasi lorong gua dalam bentuk 2 dimensi dan penggambaran bentuk lorong 3 dimensi.

1.6 Tinjauan Pustaka

“Gua adalah lubang alami di bawah tanah yang dapat dimasuki oleh manusia”. Kalimat diatas adalah definisi gua menurut *Union Internationale de Speleologie (UIS)*, sebuah lembaga internasional yang bergerak di bidang speleologi dan kegiatan penelesuran gua. Namun, UIS bukanlah satu-satunya pihak yang memberikan pandangan tentang itu gua. Mereka juga tidak menerangkan tentang ukuran manusia yang dapat dijadikan patokan untuk membedakan suatu gua dari sekedar lubang biasa. Kelompok lain malah

memperluas definisi dengan menyatakan bahwa saluran-saluran kecil di bawah tanah juga pantas disebut sebagai gua. Sementara kelompok ilmuwan lain memberikan definisi yang lebih khusus dengan menambahkan syarat harus adanya aliran air di lorong tersebut agar ia dapat disebut sebagai gua (*Erlangga, 2005*).

Pemetaan gua memiliki tingkatan akurasi hingga batas tertentu dalam merekam arah, kemiringan, dan panjang lorong gua. Tingkat akurasi ini sangat ditentukan oleh teknik yang diterapkan, keterampilan surveyor dan terutama oleh kinerja alat ukur yang dipergunakan untuk mengumpulkan data. Unsur-unsur diatas, khususnya ketepatan alat ukur, membuat suatu survey dapat diperkirakan akurasinya (*Erlangga, 2005*).

Survey pemetaan gua dapat digolongkan ke dalam tingkatan-tingkatan yang terbagi sesuai dengan akurasinya. Secara umum akurasi survey terbagi dalam tiga golongan, yaitu *Ellis, (1976)* :

1. Sketsa

Suatu hasil survey yang dibuat tanpa menggunakan alat ukur, oleh karena itu memiliki tingkat akurasi yang sangat rendah

2. Survey Kasar

Dibuat saat waktu yang tersedia sangat terbatas, atau kondisi lorong sangat menyulitkan. Pengukuran dilakukan dalam kondisi yang tidak ideal atau dengan alat yang sangat rendah.

3. Survey yang akurat

Secara lebih khusus, survey gua digolongkan ke dalam tingkatan-tingkatan (*grade*) yang masing-masing memiliki standar yang jelas. *Grade* adalah

penggolongan survey yang menunjukkan tingkat akurasi yang dapat dicapai pada pengukuran sudut dan jarak antara dua stasiun survey.



BAB II

DASAR TEORI

2.1 Pengertian Gua

Gua adalah lubang alami di bawah tanah yang dapat dimasuki oleh manusia, definisi *Union Internasional de Speleologi* (UIS). Namun, UIS bukanlah satu-satunya pihak yang memberikan pandangan tentang apa itu gua. Mereka juga tidak menerangkan tentang ukuran manusia yang dapat dijadikan patokan untuk membedakan suatu gua dari sekedar lubang biasa. Sementara sekelompok ilmuwan memberikan definisi yang lebih khusus dengan menambahkan syarat harus adanya aliran air di lorong tersebut agar ia dapat disebut sebagai gua (Erlangga,2005). Gua khususnya gua batu gamping merupakan sebagai suatu sungai dibawah tanah yang mengalirinya secara aktif atau pernah mengalirinya (Dr. R.K.T Ko, 1985)

Gua merupakan satu ekosistem yang unik dengan berbagai faktor pembatas yang ada di dalamnya. Kondisi lingkungan gua bervariasi dari satu zona ke zona lainnya. Sehingga Pada prinsipnya ada empat zona yang dikenal di beberapa gua, yaitu :

- Zona terang, terletak di sekitar mulut gua.
- Zona senja, terletak agak ke dalam dimana cahaya masih dapat terlihat remang-remang. Di bagian ini suhu udara masih terlihat berfluktuasi.
- Zona peralihan, merupakan peralihan antara zona senja dan zona gelap.

- Zona dalam, merupakan bagian yang gelap abadi / gelap total dan bersuhu konstan.

Masing-masing zona memiliki kondisi lingkungan yang berbeda.

2.2 Penelusuran Gua

Dalam penelusuran gua di kenal dua jenis gua, yaitu:

1. Gua horizontal

Dalam penelusuran gua secara horizontal kita melakukan gerakan dengan berjalan biasa, membungkuk, merayap, tengkurup, memanjat dan kadang-kadang menyelam serta berenang. Semuanya dilakukan dalam keadaan gelap, jadi diperlukan fisik maupun mental karena seorang penelusur gua sedikit banyak harus memiliki kelenturan tubuh dan tidak mudah menjadi panik dalam tempat yang sempit dan gelap.

2. Gua vertikal

Dalam penelusuran gua vertikal kita harus menuruni gua, memanjat bila diperlukan dan kadang juga menemui dimana keadaan gua tersebut semi vertikal atau memiliki kemiringan kurang dari 90° (45° - 75°). Untuk menelusuri gua ini tentu diperlukan teknik khusus untuk masuk maupun keluar dari dalam gua vertikal ini. Bagi penelusur gua teknik ini disebut *single rope technique (SRT)*. Bagi orang penelusur gua vertikal teknik SRT ini mutlak harus dikuasai karena jika tidak maka akan sulit untuk masuk dan keluar dalam keadaan selamat.

2.3 Pemetaan Gua

Peta merupakan gambaran dari permukaan bumi dalam skala tertentu yang digambarkan pada bidang datar dalam skala tertentu. Peta juga merupakan

penyajian grafis dari bentuk ruang dan hubungan keruangan antar berbagai pewujudan yang diwakili. Peta harus mengandung arti *komunikasi*, artinya suatu sinyal atau saluran antara si pengirim (pembuat peta) dan si penerima pesan (pemakai peta). Apabila si pengirim pesan mengalami kesulitan dalam menyampaikan pesan biasanya simbol-simbol sebagai perlambang yang mewakili sesuatu agar mudah dipahami oleh *user*. Atau dengan kata lain dibutuhkan bahasa yang sama antara kartografer dan *user* sehingga komunikasi melalui peta dapat terjalin.

Pemetaan gua adalah suatu usaha untuk menampilkan arah, kemiringan, panjang dan kondisi lorong gua ke dalam suatu medium. Medium yang di maksud pada umumnya adalah kertas gambar.

2.3.1 Jenis Peta Gua

Peta gua dapat digambarkan sebagai :

1. Plan Section

Yaitu gambar peta tampak dari atas. Pada *Plan section* koordinat letak stasiun ditentukan dari perhitungan. Yang ditampilkan adalah bentuk lorong jika di lihat dari atas, sudut belokan, letak ornamen, jenisnya dan situasi lorong gua.

2. Extended section

Yaitu peta gua tampak samping yang memanjang. Tanpa memproyeksikan yang ditampilkan *Extended section* adalah perubahan panjang lorongnya saja, tidak dapat diketahui arah perubahan belokan.

3. Projected section

Peta gua tampak samping, diproyeksikan dari *Plan section*. Fungsi peta ini terutama untuk menampilkan kontrol geologis dari bentukan sebuah gua dan kesamaan bentuknya. Diproyeksikan dengan sudut azimuth tertentu. Metode penggambaran ini menggunakan angka elevasi stasiun (Σh), kemudian dari *Plan section* tersebut diproyeksikan dari sudut azimuth yang dipilih.

4. Peta gua tiga dimensi / perspektif

Peta tipe ini plotting stasiun dan detailnya menggunakan sumbu X, Y dan Z. Sumbu X dan Y untuk menentukan koordinat stasiun pada bidang datar. Sumbu Z untuk menentukan posisi stasiun berdasarkan elevasinya terhadap titik 0. Pada peta ini mendekati kenyataan, namun pada penggambarannya sangat bergantung pada imajinasi ruang si penggambar. Kesulitannya ialah harus mampu memberi kesan pada gambarnya untuk menampilkan kesan bahwa gambar tersebut berbelok ke arah tertentu (kanan-kiri), naik atau turun, perubahan bentuk penampang lorong dan lain-lain.

2.3.2 Standar *Grade* dan Klasifikasi Peta Gua

Pemetaan gua memiliki tingkat akurasi hingga batas tertentu dalam merekam arah, kemiringan, dan panjang lorong gua. Tingkat akurasi ini sangat ditentukan oleh teknik yang diterapkan, keterampilan surveyor, dan terutama oleh kinerja alat-alat ukur yang dipergunakan untuk mengumpulkan data. Unsur-unsur di atas, khususnya ketepatan alat ukur, membuat survei dapat diperkirakan

akurasinya. Selanjutnya survei dapat digolongkan ke dalam tingkatan-tingkatan yang terbagi sesuai dengan akurasinya.

Standar *grade* peta yang dikeluarkan oleh *British Cave Research Association* (BCRA) dibagi 6 grade dan ditambah 1 grade khusus. Standar ketelitian berdasarkan berdasarkan keakuratan pengukuran, detail, dan teknik yang digunakan. Pembagian grade survei standar BCRA adalah :

1. *Grade 1*

Peta yang dibuat berdasarkan hasil survei dengan hanya membuat sketsa dan akurasi rendah tanpa pengukuran di dalam gua

2. *Grade 2*

Digunakan jika diperlukan untuk menggambarkan perantaraan dalam akurasi antara grade 1 dan grade 3

3. *Grade 3*

Survei magnetik kasar. Sudut horizontal dan vertikal diukur dengan akurasi hingga $\pm 2,5^\circ$. Jarak yang diukur dengan akurasi hingga ± 50 cm. Kesalahan posisi stasiun kurang dari 50 cm.

4. *Grade 4*

Dapat digunakan jika diperlukan untuk menggambarkan survei tidak sampai ke grade 5, tetapi lebih akurat dari pada grade 3.

5. *Grade 5*

Survei dengan peralatan magnetik. Akurasi sudut horizontal dan vertikal ± 1 cm, jarak harus diukur dan dicatat hingga ke satuan sentimeter terdekat dan posisi stasiun ditentukan hingga kurang dari 10 cm, kesalahan stasiun kurang dari 10 cm.

6. Grade 6

Survei magnetik yang lebih akurat dari grade 5. Menuntut penggunaan kompas hingga batas akurasi tertinggi yang dapat dicapai, bacaan klinometer harus memiliki akurasi yang sama, kesalaan posisi stasiun kurang dari ± 2.5 cm, untuk itu penggunaan tripod atau marker tetap (*roofhooks*) akan diperlukan pada tiap stasiun.

7. Grade X

Survei yang tidak dilakukan dengan kompas atau alat non magnetik, melainkan terutama berdasar pada penggunaan theodolite atau *Total Stasion* (TS). Pada grade ini harus dicantumkan keterangan tentang jenis alat dan teknik yang dipergunakan.

Klasifikasi BCRA mengenai pencatatan detail lorong gua :

1. Kelas A

Detail lorong gua yang dibuat berdasarkan ingatan

2. Kelas B

Detail lorong diperkirakan dan dicatat di dalam gua

3. Kelas C

Detail lorong diukur hanya di titik-titik stasiun survei

4. Kelas D

Detail lorong diukur di tiap survei dan di mana saja yang dianggap perlu untuk menunjukkan perubahan yang berarti pada dimensi lorong.

2.3.3 Pembagian Tugas

Pekerjaan pemetaan gua adalah pekerjaan yang dilakukan secara kelompok. Masing-masing anggota kelompok memiliki peran tertentu sesuai dengan kemampuannya. Pembagian peran anggota tim survei sebagai berikut :

1. Shooter

Tugas seorang *shooter* adalah membidik sasaran dan pembaca instrumen-instrumen pengukuran, Kemuudian menyampaikan hasil pembacaan kepada *descriptor*. Juru bidik ini harus memiliki pengetahuan standar *grade-grade* pemetaan yang ingin di capai, sehingga dapat membaca alat-alat ukur hingga ke satuan-satuan yang disyaratkan untuk memenuhi *grade* yang mereka tuju.

Seorang *shooter* hendaknya bukanlah seorang pengidap kelainan penglihatan yang disebut *heterophoria*, yang seringkali diderita tanpa disadari oleh orang yang menderitanya. Kelainan ini dapat menyebabkan kegagalan si pengamat dalam membaca instrument (Hatherly, 1987).

2. Stationer

Stationer adalah seorang yang bertugas menentukan tempat-tempat yang dijadikan sebagai stasiun pengukuran, oleh karena itu ia harus mengetahui syarat-syarat tempat yang dapat atau harus dijadikan titik stasiun.

3. Descriptor

Bertugas mencatat semua hasil pada buku catatan. Selain itu ia juga memiliki tugas merekam detail lorong dalam rupa sketsa yang terdiri dari sketsa tampak atas lorong (berdasar kompas dan jarak dinding kiri dan

kanan), sketsa tampak samping, serta *Cross section* (penampang) lorong. Ia juga harus mendokumentasikan situasi lorong serta tanda medan, ornamen dan sedimen yang dijumpai selama perjalanan. Seusai tahap pengambilan data, *descriptor* sebagai anggota tim yang paling memahami angka-angka, sketsa, serta simbol-simbol yang dia cantumkan ke dalam buku catatan, masih mengemban tanggung jawab untuk memproses data hingga berwujud peta.

2.3.4 Sistem Survei

Dalam melaksanakan survei pemetaan gua memiliki dua sistem arah perjalanan survei, yaitu

1. *Top to Bottom*

Dalam sistem ini arah pengambilan data adalah dari luar ke dalam.

Pemetaan dimulai dari atau sebelum pintu, diteruskan ke arah dalam gua.

2. *Bottom to Top*

Pemetaan yang dilakukan dengan sistem ini dimulai dari suatu tempat didalam gua dan diteruskan seiring dengan perjalanan ke luar.

2.3.5 Metode Survei

Dalam pemetaan gua untuk mengatur urutan posisi *stationer* dan *shooter*. Pengambilan data memakai empat metode survei yang biasanya dipakai, yaitu:

1. *Forward method (foresight)*

Shooter selalu berada dibelakang sedangkan *stationer* selalu berada didepan. Usai melakukan pembacaan alat ukur dan melaporkan hasil pembacaan kepada *descriptor*, *shooter* berpindah ke posisi *stationer*. Setelah titik stasiun ditempati oleh *shooter*, *stationer* bergerak ke depan

untuk menentukan titik stasiun berikutnya dimana pengukuran dilakukan lagi, dan demikian seterusnya.

2. *Leapfrog Method*

Pada metode ini seorang *shooter* yang sudah selesai melakukan pembacaan dan pelaporan, maju mendahului *stationer* yang masih tetap berada pada tempatnya semula. Setelah menentukan titik stasiun berikutnya, *shooter* kembali membidikkan alat-alat ukurnya ke arah *stationer* untuk melakukan pengukuran. Setelah pengukuran di stasiun tersebut selesai giliran *stationer* yang maju mendahului *shooter*, demikian seterusnya.

3. *Backsight*

Pembacaan instrument pengukuran dilakukan dari stasiun yang berada di depan terhadap stasiun yang ada di belakangnya. Metode ini dipergunakan ketika tim survei mempergunakan alat topofil yang sudah dilengkapi dengan kompas dan klinometer.

4. *Fore and Backsight*

Shooter melakukan pembacaan pada stasiun baik yang berada di depannya maupun yang berada di belakangnya. Metode ini hanya dilakukan bila yang ingin dicapai adalah pemetaan dengan akurasi maksimal.

2.4 Tahapan Pengukuran

Sebelum melaksanakan kegiatan pengukuran, berbagai persiapan diperlukan agar pengukuran dapat berjalan lancar. Beberapa tahapan yang harus disiapkan tersebut antara lain meliputi :

1. *Reconnaissance*, yaitu penentuan lokasi secara garis besar ditentukan secara hati-hati pada peta-peta skala kecil dan dari foto udara dan penjelajahan di lapangan.
2. *Preliminary*, yaitu survei yang dilakukan pada lokasi terpilih dan pada survei ini dilakukan penentuan titik kontrol kerangka peta dan sudah ditentukan metode pengukuran yang paling efisien. Pada tahapan ini biasanya juga dihitung kebutuhan logistik, masa kerja dan target yang harus dicapai setiap hari kerja.

2.5 Kerangka Kontrol Pemetaan

Pada dasarnya, kegiatan yang diperlukan untuk pemetaan suatu daerah selalu dilakukan dalam dua tahap, yaitu kerangka kontrol sebagai usaha penyebaran titik ikat dan pengambilan data-data titik detail yang merupakan wakil gambaran fisik bumi yang akan muncul di peta nantinya. Pengukuran titik kontrol dilakukan untuk menetapkan kedudukan titik-titik sebagai kerangka horizontal dan vertikal guna menentukan koordinat dan elevasi pada titik-titik detail yang lain, sehingga semua obyek merupakan satu kesatuan dalam sistem koordinat tertentu.

2.5.1 Kerangka Kontrol Horizontal

Kerangka kontrol horizontal dibuat berdasarkan poligon-poligon yang berfungsi sebagai titik-titik kontrol utama. Poligon adalah serangkaian garis berurutan yang panjang dan arahnya telah ditentukan dari pengukuran lapangan. Rangkaian poligon dari titik yang membentuk segi banyak. Besaran yang diukur dalam poligon adalah unsur-unsur setiap titik dan jarak disetiap dua titik yang berurutan. Rangkaian titik tersebut dapat dipergunakan sebagai kerangka peta

dengan menentukan koordinat titik lapangan yang dapat ditentukan dengan mengukur jarak ke arah titik kontrol yang diukur dengan teliti. Untuk menentukan arah, salah satu sisi harus diketahui azimuthnya. Agar kedudukan titik-titik yang akan dihitung koordinatnya merupakan suatu sistem dengan koordinat yang telah ada, perlu beberapa titik diikatkan pada jaringan poligon yang ada.

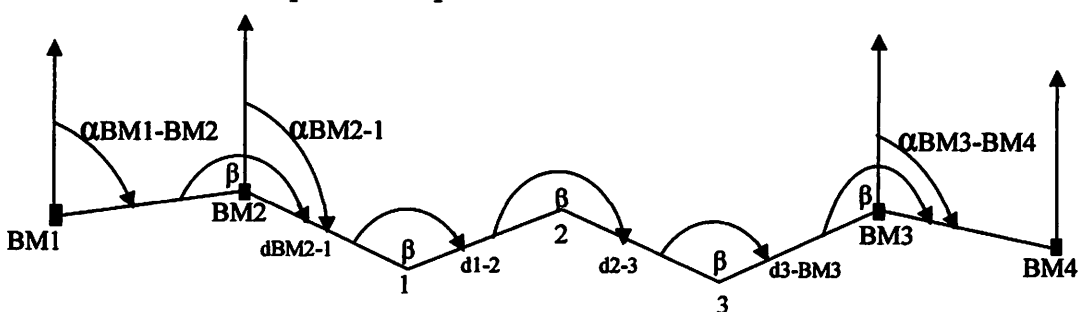
Poligon terbagi menjadi dua, yaitu poligon terbuka dan poligon tertutup. Keduanya mempunyai kelebihan dan kekurangan sebagai titik kontrol terhadap pengukuran-pengukuran yang dilakukan

2.5.1.1 Poligon Terbuka

Poligon terbuka merupakan poligon dengan titik awal dan titik akhir tidak berimpit atau tidak pada titik yang sama. Dalam hal ini titik awal dimanfaatkan untuk dijadikan acuan dalam menentukan sudut dan jarak pada titik selanjutnya, dan untuk pengecekan kebenaran dan mendeteksi kesalahan pembacaan sudut dan jarak pada titik sebelumnya tidak digunakan titik akhir sebagai acuan karena titik awal dan titik akhir tidak bertemu.

2.5.1.1.1 Poligon Terbuka Terikat Sempurna

Poligon terbuka terikat sempurna adalah suatu poligon dengan titik awal dan titik akhir berupa titik tetap.



Gambar 2.1 Poligon Terbuka Terikat Sempurna

Keterangan gambar :

- BM1, BM2, BM3, BM4 = Titik tetap
1, 2, 3 = Titik yang akan ditentukan koordinatnya
 $d_{BM2-1}, \dots, d_{BM3M3}$ = jarak-jarak sisi poligon
 $\beta_1, \beta_2, \beta_3$ = sudut
 $\alpha_{BM1-BM2}, \alpha_{BM3-BM4}$ = Azimuth awal dan azimuth akhir

Rumus persyaratan dan koreksi harus dipenuhi adalah :

1. $\sum \beta + f(\beta) = (\alpha_{\text{akhir}} - \alpha_{\text{awal}}) + (n \times 180^\circ)$
2. $\sum D \times \sin \alpha + f(X) = X_{\text{akhir}} - X_{\text{awal}}$
3. $\sum D \times \sin \alpha + f(Y) = Y_{\text{akhir}} - Y_{\text{awal}}$

Untuk koreksi-koreksi hasil pengukuran lain digunakan rumus :

$\frac{d_{1-2}}{\sum d} x \cdot f(x) a$, untuk koreksi jarak pada sumbu X atau absis sedangkan

$\frac{d_{1-2}}{\sum d} y \cdot f(y) = a$, untuk koreksi jarak pada sumbu Y atau ordinat

$X_2 = X_1 + d_{1-2} \sin \alpha_{1-2} + \frac{d_{1-2}}{\sum d} x \cdot f(x)$, untuk koordinat terkoreksi pada Absis (X).

$Y_2 = Y_1 + d_{1-2} \cos \alpha_{1-2} + \frac{d_{1-2}}{\sum d} y \cdot f(y)$, untuk koordinat terkoreksi pada ordinat (Y).

Dan untuk mengetahui sejauh mana ketelitian suatu pengukuran dapat dilihat dengan menghitung kesalahan-kesalahan pada pengukuran, yakni :

Kesalahan Azimuth $E_b = \text{Arc Tan} \frac{X}{Y}$

Kesalahan jarak $C_d = \sqrt{\Delta x^2 + \Delta y^2}$

Sehingga dapat dihitung nilai ketelitian pengukuran dengan rumus

$$Ketelitian Linear = \frac{Cd}{\sum d}$$

dimana : $\sum D$ = Jarak

a = Kesalahan jarak

α_{1-2} = Sudut antara titik 1 dan 2

X_1 = Absis titik awal

$f(s)$ = Kesalahan penutup poligon

$f(x)$ = Koreksi absis

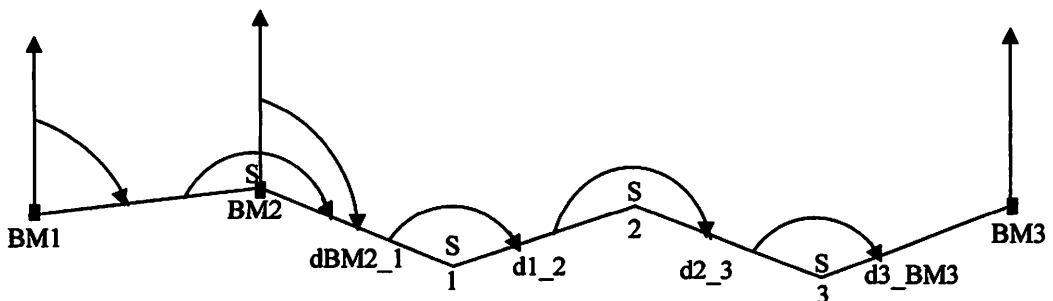
$f(y)$ = koreksi ordinat

d_{1-2} = jarak antar titik 1 dan 2

Y_1 = Ordinat titik awal

2.5.1.1.2 Poligon Terbuka Terikat Koordinat

Poligon terbuka terikat koordinat adalah poligon yang titik awal dan akhirnya berada pada titik yang tetap dan terikat pada koordinat awal dan koordinat akhir.



Gambar 2.2 Poligon Terbuka Terikat Koordinat

Keterangan gambar :

BM1, BM2, BM3	= Titik tetap
1, 2, 3	= Titik yang akan ditentukan koordinatnya
d BM2-1, ..., d3-BM3	= jarak-jarak sisi poligon
S1, S2, S3, S4	= sudut
$\alpha_{BM1-BM2}$	= Azimuth awal

Dalam poligon terbuka terikat koordinat berlaku:

$$\sum d \times \sin \alpha = X_{akhir} - X_{awal}$$

$$\sum d \times \cos \alpha = Y_{akhir} - Y_{awal}$$

Langkah perhitungan poligon terbuka terikat koordinat adalah :

- 1) Menentukan azimuth awal

$$\alpha_{BM_1-BM_2} = \text{Arctan} \frac{(X_{BM2}-X_{BM1})}{(Y_{BM2}-Y_{BM1})}$$

- 2) Menghitung koordinat 1,2,3 dan BM3.

$$X_1 = X_{BM2} + D_{BM2-1} \times \sin \alpha_{BM2-1}$$

$$Y_1 = Y_{BM2} + D_{BM2-1} \times \cos \alpha_{BM2-1}$$

$$X_2 = X_1 + D_{1-2} \times \sin \alpha_{1-2}$$

$$Y_2 = Y_1 + D_{1-2} \times \cos \alpha_{1-2}$$

$$X_3 = X_2 + D_{2-3} \times \sin \alpha_{2-3}$$

$$Y_3 = Y_2 + D_{2-3} \times \cos \alpha_{2-3}$$

$$X_{BM3} = X_3 + D_{3-BM3} \times \sin \alpha_{3-BM3}$$

$$Y_{BM3} = Y_3 + D_{3-BM3} \times \cos \alpha_{3-BM3}$$

- 3) Menghitung azimuth (α_{BM2-3}) yang diketahui

$$(\alpha_{BM2-3}) = \text{Arctan} \frac{(X_{BM3}-X_{BM2})}{(Y_{BM3}-Y_{BM2})}$$

- 4) Menghitung azimuth ($\alpha_{BM2-BM3}$) dari perhitungan pendekatan

$$(\alpha_{BM2-3}') = \text{Arctan} \frac{(X_{BM3'} - X_{BM2})}{(Y_{BM3'} - Y_{BM2})}$$

- 5) Hitungan selisih azimuth ($\Delta\alpha_{BM2-BM3}$)

$$\Delta\alpha_{BM2-BM3} = \alpha_{BM2-BM3} - \alpha_{BM2-BM3'}$$

- 6) Hitungan azimuth terkoreksi

$$\alpha_{BM2-1} = \alpha_{BM2-1} + \Delta\alpha_{BM2-BM3}$$

$$\alpha_{1-2} = \alpha_{BM2-1} + \Delta\alpha_{BM2-BM3} - 180^\circ + \beta_1$$

$$\alpha_{2-3} = \alpha_{1-2} + \Delta\alpha_{BM2-BM3} - 180^\circ + \beta_2$$

$$\alpha_{3-BM3} = \alpha_{2-3} + \Delta\alpha_{BM2-BM3} - 180^\circ + \beta_3$$

Dengan catatan apabila azimuth lebih dari 360° maka :

$$\alpha_{1-2} = (\alpha_{BM2-1} + \Delta\alpha_{BM2-BM3} - 180^\circ + \beta_1) - 360^\circ$$

apabila azimuth kurang dari 0° maka :

$$\alpha_{1-2} = (\alpha_{BM2-1} + \Delta\alpha_{BM2-BM3} - 180^\circ + \beta_1) + 360^\circ$$

- 7) Hitungan selisih absis dan selisih ordinat (ΔX dan ΔY)

$$\sum \Delta X_{BM2-1} = D_{BM2-1} \times \sin \alpha_{BM2-1}$$

$$\sum \Delta Y_{BM2-1} = D_{BM2-1} \times \cos \alpha_{BM2-1}$$

Perhitungan ini dilanjutkan hingga :

$$\sum \Delta X_{3-BM3} = D_{3-BM3} \times \sin \alpha_{3-BM3}$$

$$\sum \Delta Y_{3-BM3} = D_{3-BM3} \times \cos \alpha_{3-BM3}$$

- 8) Menghitung koreksi pada tiap-tiap kesalahan absis dan ordinat ($K\Delta X$ dan $K\Delta Y$) :

$$K\Delta X_{BM2-1} = \left(\frac{DBM_{2-1}}{\Sigma d} \right) \times f\Delta X$$

$$K\Delta Y_{BM2-1} = \left(\frac{d_{BM2-1}}{\Sigma d}\right) \times f\Delta Y$$

Perhitungan dilanjutkan hingga :

$$K\Delta X_{3-BM3} = \left(\frac{D_{3-BM3}}{\Sigma d}\right) \times f\Delta X$$

$$K\Delta Y_{3-BM3} = \left(\frac{D_{3-BM3}}{\Sigma d}\right) \times f\Delta Y$$

Jika kesalahan absis dan ordinat bertanda negatif (-) maka koreksinya positif (+), begitu pula sebaliknya.

9) Menghitung koordinat sesungguhnya (X,Y)

Diketahui koordinat (X_{BM2}, Y_{BM2}) maka :

$$X_1 = X_{BM2} + \Delta X_{BM2-1} \pm K\Delta X_{BM2-1}$$

$$Y_1 = Y_{BM2} + \Delta Y_{BM2-1} \pm K\Delta Y_{BM2-1}$$

Perhitungan ini dilanjutkan hingga :

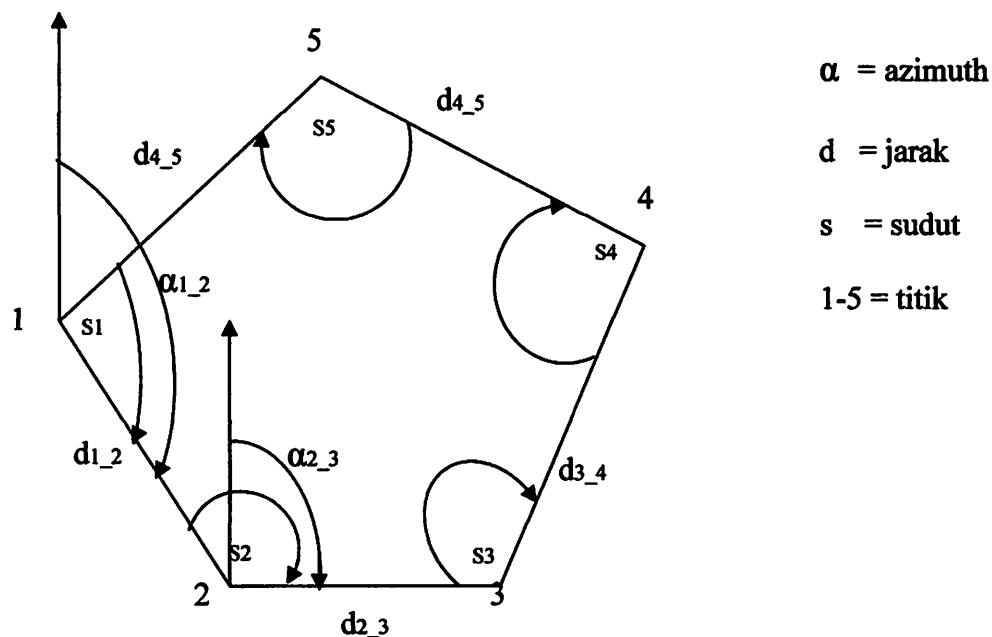
$$X_{BM3} = X_3 + \Delta X_{3-BM3} \pm K\Delta X_{3-BM3}$$

$$Y_{BM3} = Y_3 + \Delta Y_{3-BM3} \pm K\Delta Y_{3-BM3}$$

Jika nilai koordinat titik BM3 yang dihitung sama dengan koordinat titik BM3 yang diketahui maka perhitungannya dinyatakan benar. Poligon ini sering dipakai dilapangan karena tidak menutup kemungkinan banyak dijumpai hambatan-hambatan misalnya hanya ada dua titik pengikat yang diketahui sehingga azimuth awal atau azimuth akhir yang belum diketahui memakai azimuth pendekatan.

2.5.1.2 Poligon Tertutup

Merupakan suatu jaringan poligon dengan titik awal dan titik akhir pada titik yang sama. Contoh :



Gambar 2.3 Poligon Terbuka tidak Terikat Sempurna

Data yang ditentukan : koordinat awal 1 (X,Y,Z)

Data yang diukur :

1. Azimuth awal
2. Semua sudut
3. Semua jarak

Syarat sudut penutup poligon tertutup

- Sudut dalam $\sum \beta = (n - 2) \times 180^\circ$
- Sudut luar $\sum \beta = (n + 2) \times 180^\circ$

a) Syarat Untuk Koordinat

- Absis (X) $\sum (d \times \sin \alpha \pm f(x)) = 0$

- Ordinat (Y) $\sum(d \times \cos\alpha \pm f(y)) = 0$

b) Ketelitian Linier

$$KL = \frac{Cd}{\sum d}$$

$$CD = \sqrt{\Delta x^2 + \Delta y^2}$$

Rumus dasar untuk penghitungan poligon

- Untuk mencari azimuth :

$$\alpha_{2-3} = (\alpha_{1-2} \pm 180^\circ) + \beta$$

Untuk mencari koordinat

$$X_2 = X_1 + d_{1-2} \times \sin\alpha_{1-2}$$

$$Y_2 = Y_1 + d_{1-2} \times \cos\alpha_{1-2}$$

f(x) = Koreksi absis

f(y) = koreksi ordinat

Dd1-2 = jarak antar titik 1 dan 2

Y1 = Ordinat titik awal

2.6 Pengukuran Pada *Pothole*

Pothole adalah lorong gua vertikal dengan dasar lorong yang biasanya berukuran lebih luas daripada mulutnya. Dalam bahasa jawa, gua yang berbentuk seperti ini disebut *luweng*. Suatu *pothole* diukur dengan dua rangkaian poligon, satu dipermukaan mulut gua dan satu didasar. Kedua poligon ini dihubungkan oleh satu *survei leg* vertikal yang berada pada lintasan tali. Poligon dipermukaan berupa poligon tertutup dan diukur pada jarak aman dari mulut *pothole*. Poligon didasar *pothole* dapat dirangkai secara terbuka maupun tertutup.

2.7 Pengukuran Pada *Pitch* Dalam

Istilah *pitch* ditunjukkan bagi lorong, jurang atau air terjun vertikal yang cukup dalam, sehingga dibutuhkan teknik khusus untuk melaluinya. Bila *pitch* tersebut memiliki kedalaman 50 meter, tentu itu masih dapat diukur dengan rollmeter. Tetapi bila *pitch* tersebut memiliki kedalaman lebih dari 50 meter, maka surveior harus mengukurnya dengan teknik pengukuran yang berbeda.

2.7.1 Mengukur Tali

Mengukur kedalaman *pitch* dengan cara mengukur panjang tali yang dipergunakan dalam membuat lintasan vertikal adalah cara termudah. Sebelum tali yang dipasang sebagai lintasan untuk naik dan turun lorong dilepas dari tambatan (setelah semua orang naik), ia terlebih dahulu ditandai, misalnya dengan simpul, sesuai dengan panjang lorong yang ingin diukur. Setelah penelusuran selesai dan tali tersebut dilepas, ukur panjang tali yang telah ditandai dengan meteran. Cara ini dapat menghasilkan kesalahan hitung yang besar, karena ketegangan tali yang dipasang sebagai lintasan berbeda dengan ketegangan tali ketika diukur.

2.7.2 Metode Tandem

Metode ini dilakukan oleh dua orang yang memanjat secara berurutan pada satu lintasan. Bila kedua pemanjat memiliki perbedaan yang mencolok dalam berat tubuhnya, maka cara berikut ini dipakai untuk memperkecil penghitungan. Pemanjat pertama menggantung pada tali, tidak perlu terlalu tinggi, asal ia tidak menyentuh tanah, tandai bagian ujung tali yang menyentuh tanah, kemudian ia turun lagi. Pemanjat kedua melakukan hal yang sama, tandai tali tepat di bagian yang bersentuhan dengan tanah. Hitung tinggi *pitch* dengan rumus berikut :

$$\text{Tinggi } pitch = \frac{L - (S \times T)}{L}$$

L = Panjang tali yang belum dikoreksi

T = panjang tandem atau dalam hal ini A+B+C

S = Angka perbedaan kemuluran yang diukur di bawah

2.7.3 Metode Trigonometri

Merupakan suatu pengukuran untuk memperoleh perbedaan tinggi dua buah titik dengan cara observasi sudut elevasi yang biasanya untuk pekerjaan ini alat yang digunakan adalah *Total Station (TS)*. Dalam metode ini, penentuan beda tinggi diperlukan sudut tegak yaitu sudut heling (αh) dan sudut zenith (αz). Seperti yang ditunjukkan pada gambar 2.4.

Dengan rumus perhitungan :

Jarak :

$$Z \text{ sistem} : dd = dm \times \sin vz$$

$$H \text{ sistem} : dd = dm \times \cos vh$$

Beda tinggi :

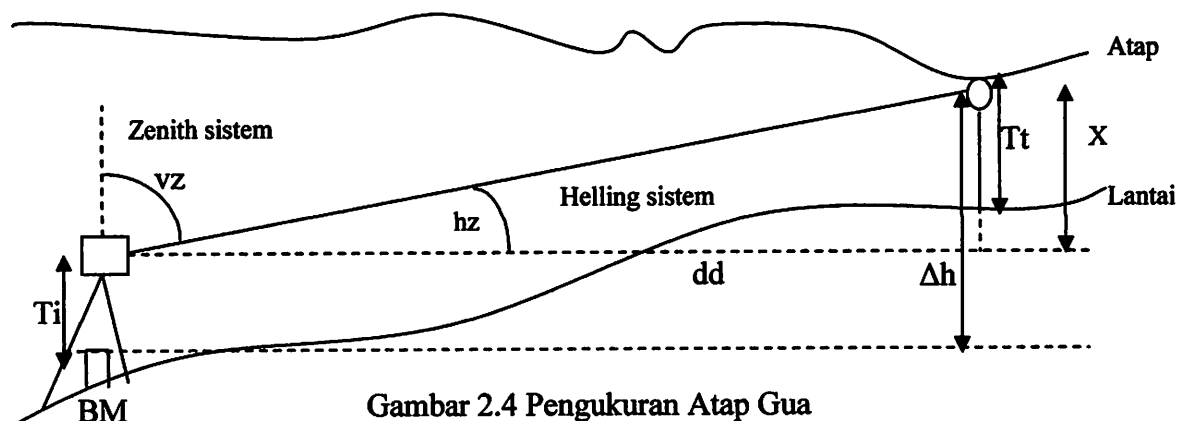
$$Z \text{ sistem} : \Delta h = (T_i - T_t) + dd \times \cotg vz$$

$$H \text{ sistem} : \Delta h = (T_i - T_t) + dd \times \tg vz$$

2.8 Pengukuran Tinggi Atap Gua

Pemetaan yang dilakukan dalam klasifikasi C dan D menuntut surveior untuk bersusah payah mengukur detail lorong yang meliputi jarak stasiun ke dinding kiri, jarak stasiun ke dinding kanan, serta tinggi atap dari lantai. Pengukuran tinggi atap tentu menjadi masalah seandainya atap yang hendak diukur masih dapat dijangkau dengan tangan. Namun ketika atap tersebut

berada lebih tinggi dari jangkauan, maka diperlukan cara tertentu agar ketinggiannya dapat diketahui. Diantara berbagai cara yang pernah di coba, salah satunya adalah dengan bantuan balon gas dan benang. Bisa jadi cara ini menghasilkan angka yang cukup akurat, namun jelas bukan cara yang paling praktis. Tinggi atap dapat diketahui dengan cara yang lebih mudah, yaitu dengan cara melakukan pengukuran dengan metode trigonometri.



Gambar 2.4 Pengukuran Atap Gua

Keterangan :

V = Sudut Vertikal

Ti = Tinggi Alat

X = Sisi segitiga

Tt = Tinggi target (nol)

dm = Jarak miring

dd = Jarak datar

Δh = Beda tinggi

Rumus perhitungan :

Jarak :

$$Z \text{ sistem} : dd = dm \times \sin \nu z$$

$$H \text{ sistem} : dd = dm \times \cos \nu h$$

BAB III

PELAKSANAAN PENELITIAN

3.1 Peralatan Penelitian

Adapun alat danMateri atau bahan yang digunakan dalam pelaksanaan penelitian pemetaan gua ini mencakup peralatan survei dan perangkat pengolahan data (*Hardware* dan *software*), diantaranya adalah :

3.1.1 Peralatan Survei

1. Total Station GTS 230
2. Disto Meter Leica Disto A5
3. GPS Handheld Garmin 76Csx
4. Peta Rbi skala 1:25000 dan peta *google earth* lokasi penelitian
5. Alat penerangan seperti *headlamp* dan *emergency lamp*

3.1.2 Perangkat Pengolahan Data

3.1.2.1 Perangkat Keras (*Hardware*)

1. Laptop Dell Inspiron N4030
2. Mouse
3. Printer

3.1.2.2 Perangkat Lunak (*Software*)

1. *Microsoft Office 2007*
2. *Topcon Link v.75*
3. *AutoCAD Land Desktop 2009*
4. *3ds Max 7*

3.2 Penggunaan Alat Survei dan *Software*nya

3.2.1. *Microsoft Office*

➤ *Microsoft Word 2007*

Microsoft Word 2007 dengan kemampuannya yang telah banyak dikenal dalam era komputerisasi digunakan sebagai media olah kata dalam penyusunan Laporan Penelitian. Tampilan awal seperti pada gambar akan ditampilkan pertama kali pada saat kita aktifkan perangkat lunak *Microsoft Word 2007*.

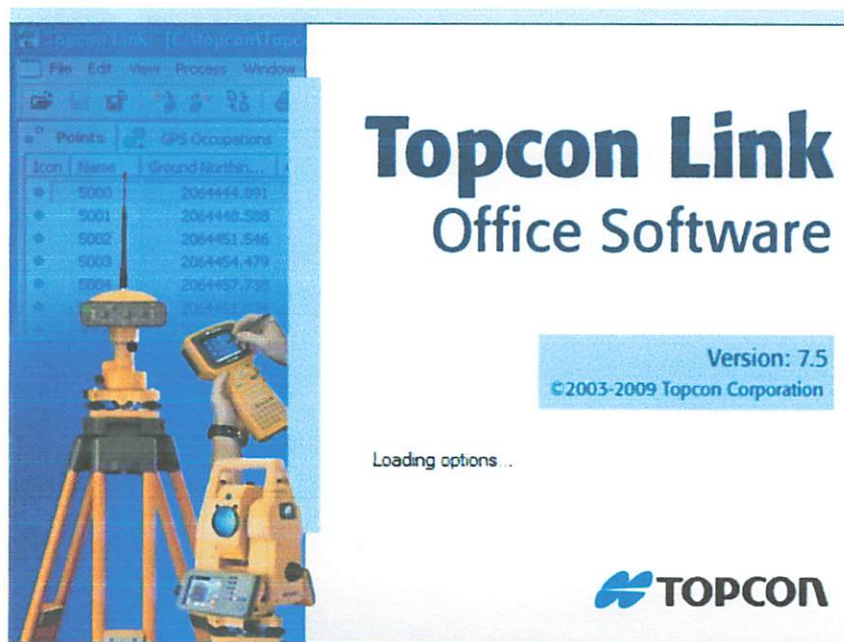
➤ *Microsoft Excel 2007*

Microsoft Excel 2007 adalah sebuah perangkat lunak *spreadsheet*, dimana penggunaannya untuk membuat lembar kerja (*spreadsheet*), memformat *spreadsheet*, meng-entry data, menganalisis dan memecahkan masalah tabel serta pengolahannya.

3.2.2. Topcon Link v.75

Topcon Link v.75 adalah perangkat lunak untuk mentransfer data hasil survey lapangan yang tersimpan di Total station ke dalam hard disk komputer.

Tampilan awal pada saat memulai pada *Topcon Link v.7.5* terlihat pada gambar.

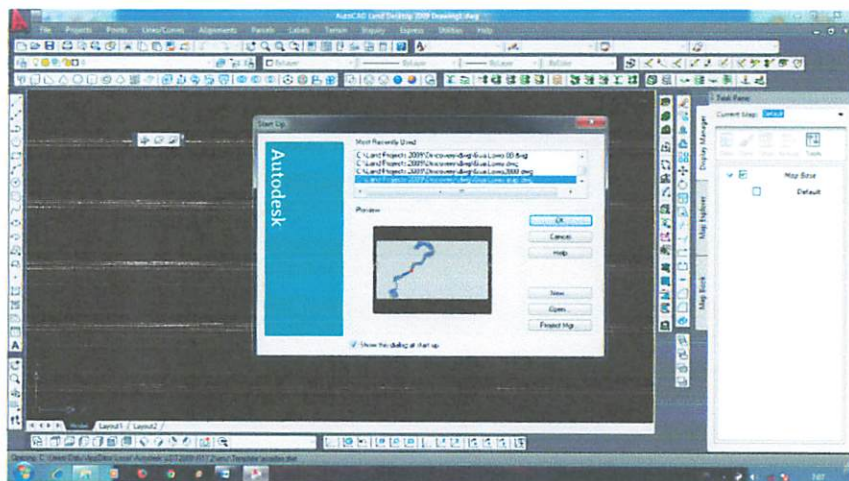


Gambar 3.1. Gambar Tampilan Awal *Topcon Link v.75*

3.2.3. AutoCAD Land Desktop 2009

Perangkat lunak *AutoCAD Land Desktop 2009* adalah perangkat lunak komputer untuk bidang *Computer Aided Design (CAD)* yang paling banyak digunakan dalam pembuatan peta digital dalam survei dan pemetaan yang memiliki keistimewaan dalam pembangunan

database. Dengan fungsi-fungsinya yang semakin komplek pengguna lebih mudah untuk penelitian ini, *AutoCAD Land Desktop 2009* digunakan sebagai media penggambaran grafis serta *editing* data peta untuk mempermudah pengolahan data pada *Land Desktop*.

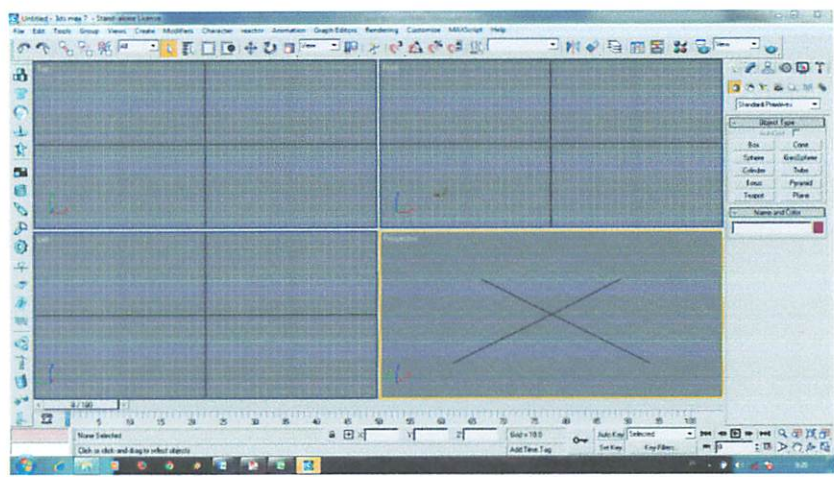


Gambar 3.2. Tampilan *AutoCAD Land Desktop 2009*

3.2.4. *3ds Max7*

3ds Max7 adalah *software* untuk membuat gambar animasi 3 dimensi. *Software* ini biasa digunakan untuk menggambar desain yang menyerupai desain gambar animasi yang mendekati pada obyek sesungguhnya. Sehingga dalam penggambaran perspektif tiga dimensi gua, dapat memanfaatkan *software* *3ds Max7* ini.





Gambar 3.3 Tampilan awal pada *software 3ds Max7*

3.2.5. *Total Station Topcon GTS 230*

Total Station (TS) adalah sebuah theodolite yang digunakan untuk mengukur sudut, hanya saja dalam TS dilengkapi dengan sistem pengoperasian digital, dan EDM yang berguna untuk pengukuran jarak. Fungsi TS dalam penelitian ini adalah untuk membuat kerangka kontrol peta dan mengukur detail objek dalam gua.



Gambar 3.4. *Total Station Topcon GTS 230*

3.2.6. Leica Disto A5

Leica Disto A5 adalah alat pengukur jarak *portabel* yang bisa digunakan dengan satu tangan tanpa menggunakan reflektor khusus.

Disto meter digunakan sebagai pengukur jarak pada atap gua yang tidak bisa dijangkau oleh alat TS. Pengukuran atap gua diukur menggunakan disto meter dari titik lantai gua yang sudah berkoordinat.



Gambar 3.5. Leica Disto A5

3.2.7. GPS Handheld Garmin 76 Csx

GPS Handheld Garmin 76 Csx merupakan receiver GPS tipe navigasi (*navigation type*) yang kadang disebut tipe genggam (*handheld receiver*) umumnya digunakan untuk penentuan posisi absolut secara instan yang tidak menuntut ketelitian terlalu tinggi.

Dalam penelitian ini GPS Handheld hanya digunakan sebagai alat navigasi pada orientasi awal dan untuk menentukan koordinat pendekatan pada titik awal pengukuran.



Gambar 3.6. GPS Handheld Garmin 76 Csx

3.3 Metode Pengambilan Data Lapangan

Pada pemetaan gua haruslah direncanakan dengan matang, cermat, dan efisien terlebih dahulu. Karena pengukuran ini dibutuhkan biaya operasional yang cukup besar yaitu dari sewa peralatan survei, akomodasi dan konsumsi personil selama dilapangan serta pengukuran yang tidak dapat dilakukan sewaktu-waktu.

3.3.1. Persiapan

Pada tahapan ini beberapa hal yang harus dilakukan adalah:

- Persiapan personil survei
- Persiapan peralatan termasuk percobaan pengoperasian dan analisa hasil datanya
- Legalisasi perijinan dengan pemerintahan setempat dan kerjasama yang baik dengan semua pihak yang terlibat
- Pengaturan data jadwal survei

3.3.2. Survei Lapangan

Orientasi lapangan dilakukan untuk mengetahui secara nyata mengenai kondisi lapangan yang akan disurvei, sehingga akan didapatkan gambaran dan informasi awal untuk perencanaan survei selanjutnya. Langkah-langkah selanjutnya dalam orientasi lapangan adalah :

1. Mengetahui jenis gua yang akan diukur, gua vertikal atau horizontal. Sehingga dapat diketahui peralatan pendukung penelusuran yang akan dibutuhkan.
2. Menentukan lokasi titik yang sesuai dengan kegunaan titik-titik poligon lainnya.
3. Menentukan lokasi titik yang baik, stabil aman dan yang sekiranya akan dapat bertahan dalam waktu yang cukup lama.
4. Mencari dan mengidentifikasi titik ikat yang ada disekitar lokasi, yang kemungkinan bisa dipakai dalam pengukuran nanti.
5. Memastikan bahwa lokasi titik tersebut mempunyai ruang pandang yang baik, sehingga titik satu dengan titik berikutnya saling terlihat.
6. Mencatat secara detail kondisi dan karakteristik dari setiap lokasi titik yang akan ditentukan posisinya maupun lokasi titik ikat yang telah diketahui koordinatnya.

7. Memastikan bahwa lokasi titik yang dipilih akan aman dari gangguan manusia maupun fenomena alam, sehingga tidak merusak marker yang sudah terpasang.
8. Menyelesaikan masalah perijinan dengan pihak-pihak yang terkait dilokasi pengukuran, agar tidak menghambat proses pelaksanaan penelitian nantinya.

3.3.3. Pemasangan Marker

Pemasangan marker dimaksudkan untuk mendapatkan kepastian posisi titik-titik yang akan diukur dengan peralatan sesuai dengan keperluan.

Pekerjaan pemasangan marker ini antara lain :

1. **Pemasangan marker kerangka kontrol utama**

Pemasangan marker untuk kerangka utama dilaksanakan pada lokasi yang tersebar pada luas daerah yang dipetakan, sehingga titik-titik tersebut membentuk poligon utama.

2. **Pemasangan marker titik bantu kerangka kontrol utama**

Marker titik bantu kerangka kontrol utama diletakkan pada beberapa lokasi yang tersebar pada area pengukuran. Marker bantu ini dipasang dengan tujuan untuk dapat diikatkan pada titik utama agar didapatkan posisi-posisi titik detail yang diperlukan dalam pemetaan. Pemasangan marker bantu

dilakukan oleh tim survei sesuai dengan titik-titik bantu yang diperlukan.

3.3.4. Pengukuran Poligon

Pada pelaksanaan penelitian pemetaan gua ini, pengukuran poligon dilakukan dua kali, yaitu :

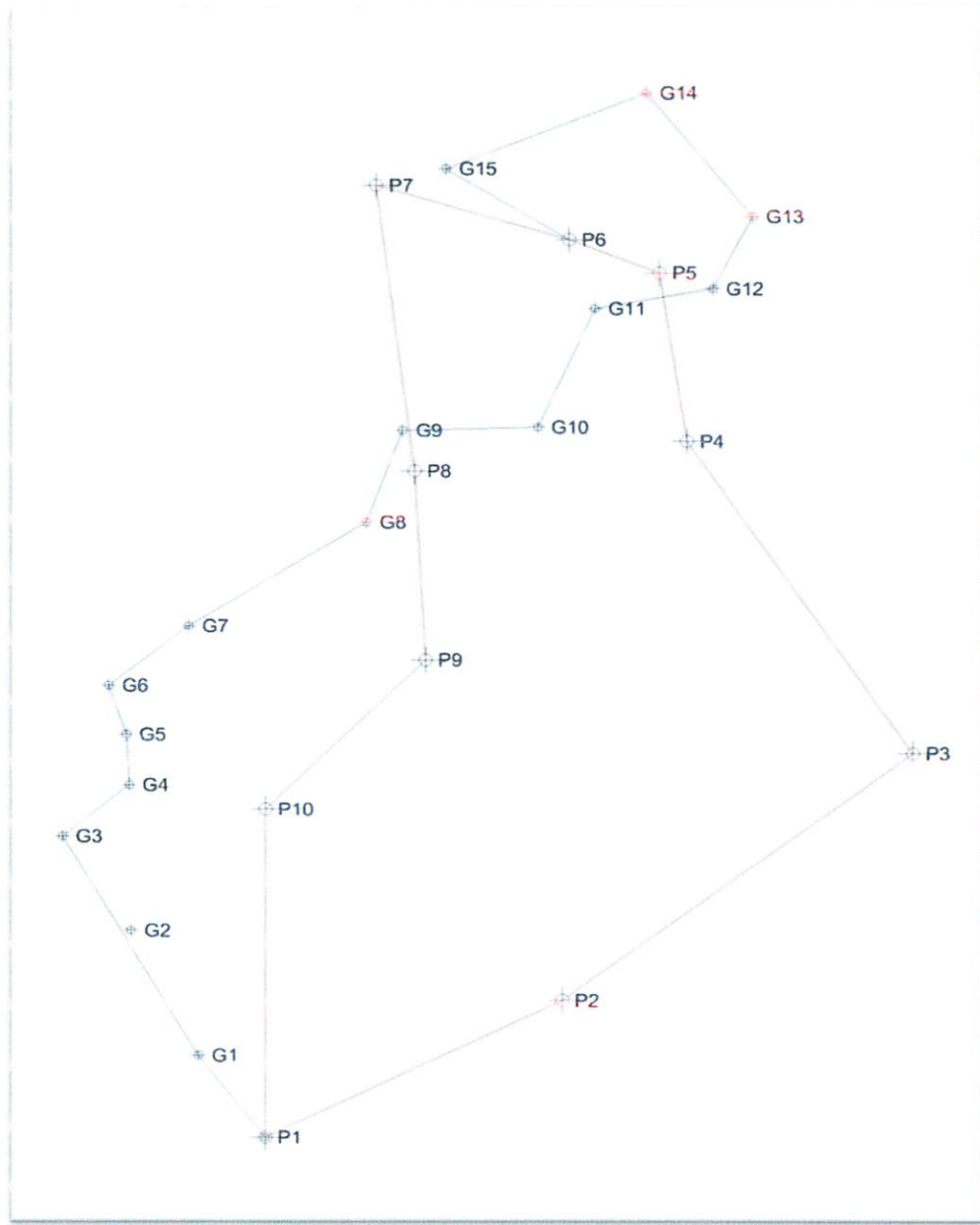
3.3.4.1 Pengukuran Poligon Tertutup

Pengukuran poligon tertutup dilakukan diatas permukaan gua. Pengukuran ini dimaksudkan untuk mengadakan titik koordinat di mulut masuk gua dan mulut keluar gua. Sehingga dari dua titik koordinat yang sudah diketahui dari hasil pengukuran poligon tertutup diatas permukaan tersebut bisa digunakan sebagai titik ikat poligon terbuka di dalam gua. Hal ini dilakukan karena tidak ada pengamatan GPS Geodetik pada titik awal dan titik akhir pada mulut gua.

3.3.4.2 pengukuran Poligon Terbuka Terikat Koordinat

pengukuran poligon terbuka terikat koordinat dilakukan sebagai kerangka kontrol peta di dalam gua. Pada pengukuran ini kerangka kontrol peta dalam gua diikatkan pada dua koordinat dari hasil pengukuran poligon tertutup diatas permukaan gua.

Adapun contoh sket pengukuran poligon di atas permukaan dan pengukuran poligon di dalam gua.



Gambar 3.7 Sket Pengukuran Poligon

3.3.5 Pengukuran Detail

Pada pengambilan data dalam pengukuran detail ini menggunakan metode Tachymetri. Pengukuran detail dalam pemetaan gua perspektif

tiga dimensi adalah pembentukan lorong gua. Oleh karena itu dalam penamaan *id* pengukuran detail haruslah benar-benar diperhatikan. pelaksanaan pengukuran detail dalam penelitian ini adalah sebagai berikut:

1. Pengukuran detail diukur dari kerangka kontrol peta dalam gua
2. Deskriptor mencatat sket dan penomoran *id* detail gua
3. untuk pengambilan titik detail pada atap gua yang tidak terjangkau dengan alat TS, maka diukur dengan menggunakan alat pengukur jarak disto meter. Atap gua diukur dari titik detail lantai yang sudah diketahui koordinat dan elevasinya.

3.4 Metode Proses Pengolahan Data

Proses pengolahan data survei adalah untuk merubah angka-angka yang telah dikumpulkan saat pemetaan menjadi angka-angka yang akan dijadikan acuan dalam penggambaran peta gua. Untuk memudahkan perhitungan dan penyusunan angka-angka sesuai dengan urutannya, data survei dimasukkan ke dalam lembar perhitungan *Microsoft Excel 2007*.

3.4.1 Pengolahan Data Poligon Tertutup

Proses perhitungan data poligon dilakukan dengan menggunakan *software Microsoft Excel 2007*. Data-data yang diinputkan dalam proses perhitungan ini adalah :

- Sudut horizontal
- Jarak datar
- Azimuth awal

- Kordinat awal

Azimuth awal diukur dengan menggunakan kompas dan didapat sebesar $63^\circ 12' 25''$. Koordinat awal ditentukan dengan GPS navigasi sebagai koordinat pendekatan, X= 660847,000m Y= 9074341,000m. Contoh hasil input datanya adalah :

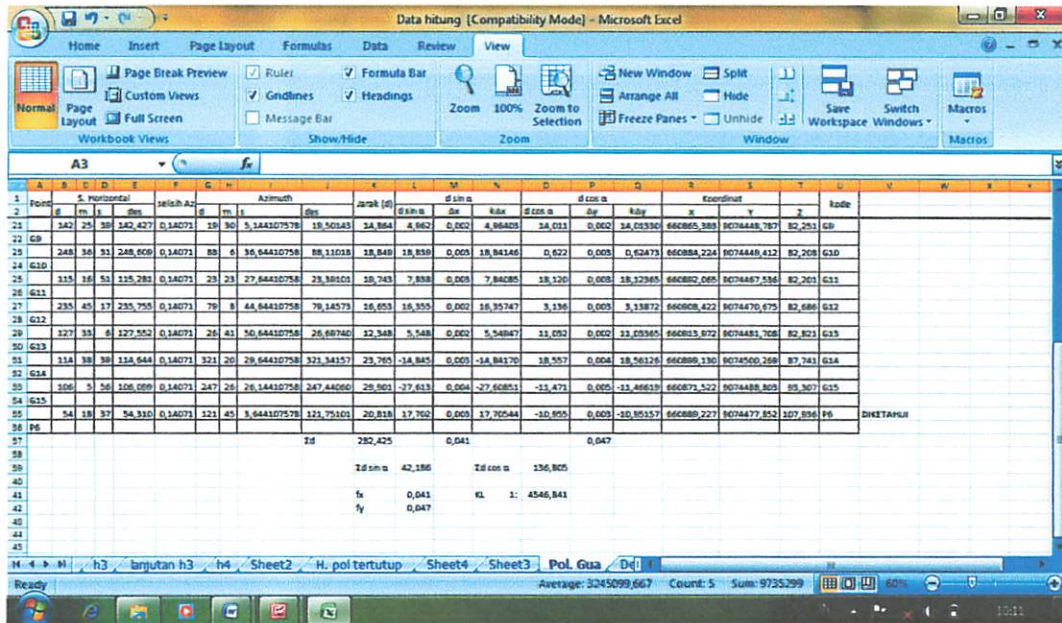
	A	B	C	D	E	F	G	H	I	J	K	L	M	N	O	P	Q	R	S	T	U	V	W	X	Y	Z	AA	AB	AC	AD
	Point	d	m	s	dat	terkorek		Azimuth	Jarak	datm	h	desn	fz		Koordinat		x	y		Kode										
3	P1																													
4		63	16	10	63,26944	63,280		63 16 46	63,2795	46,280	43,354	0,005	20,818	-0,002	660847,000	9074341,000														
5	P2																													
6		169	01	20,5	168,0057	168,016		162 17 48	162,2853	161,692	48,800	0,007	37,730	-0,003	660887,736	9034888,543														
7	P3																													
8		64	10	32,5	94,17569	94,186		926 28 52	926,483	57,076	-31,538	0,007	47,585	-0,002	660905,664	9074447,126														
9	P4																													
10		205	2	3	205,0342	205,044		358 31 33	353,525	25,804	-9,816	0,003	25,632	-0,001	660903,851	9074472,736														
11	P5																													
12		120	31	24	120,5233	120,533		202 3 31	202,059	15,623	-12,626	0,002	5,116	-0,001	660889,227	9074477,852														
13	P6																													
14		175	11	33	175,1925	175,209		287 15 43	287,263	28,137	-26,870	0,003	8,349	-0,001	660862,560	9074486,260														
15	P7																													
16		65	45	23	65,75563	65,766		179 1 38	179,027	43,906	5,330	0,005	-49,582	-0,002	660867,686	9074442,686														
17	P8																													
18		183	53	0,5	183,886	183,896		176 55 24	176,623	28,870	2,550	0,003	-29,828	-0,001	660869,248	9074413,787														
19	P9																													
20		227	25	32,5	227,4257	227,436		224 23 32	224,359	33,836	-22,258	0,004	-22,762	-0,001	660845,394	9074393,024														
21	P10																													
22		195	37	53,3	135,6300	135,641		180 0 0	180	50,022	0,000	0,006	-50,022	-0,002	660847,500	9074343,000														
23	P11																													
24		0			10					10	387,305	-0,040	0,045	0,016	-0,015															
25		230			1436,809	1436,809		58 57																						
26		(n-2)/360°			5440																									
27		Kesalahan sudut			0,100741	0	6 3			KL	8058,487																			

Gambar 3.8 Proses Perhitungan Pada Microsoft Excel 2007

3.4.2 Pengolahan Data Poligon Terbuka Terikat Koordinat

Pada perhitungan poligon terbuka terikat koordinat dilakukan penghitungan koordinat pendekatan pada P6 sebagai titik akhir koordinat dalam pengukuran dalam gua. Sehingga dari titik P1 dan titik P6' dapat dihitung azimuth P1-P6'. Demikian pula dengan titik ikat awal P1 dan titik akhir P6 dapat dihitung azimuth P1-P6. Selisih

keduanya merupakan besaran sudut rotasi yang diberikan pada azimuth pendekatan.



Gambar 3.9 Proses Perhitungan Poligon Terikat Koordinat Pada Microsoft Excel 2007

Poligon ini sering dipakai dilapangan karena tidak menutup kemungkinan banyak dijumpai hambatan-hambatan misalnya hanya ada dua titik pengikat yang diketahui sehingga azimuth awal atau azimuth akhir yang belum diketahui memakai azimuth pendekatan.

3.4.3 Pengolahan Data Pengukuran Detail

Sebelum melakukan proses perhitungan data detail, kita harus mempersiapkan catatan-catatan dan data detail hasil pengukuran lapangan untuk dimasukan ke dalam formulir perhitungan detail. Data-data hasil pengukuran detail yang diinputkan dalam proses perhitungan adalah :

- Tinggi alat
- Sudut horizontal
- Sudut vertikal
- Tinggi *stick prisma reflektor*
- Elevasi awal

Adapun proses perhitungan detail di dalam *Microsoft Excel 2007*

seperti dibawah ini :

Gambar 3.10 Proses Perhitungan Detail Pada *Microsoft Excel 2007*

3.5 Metode Penggambaran

Proses awal penggambaran peta dalam penelitian ini menggunakan *software AutoCAD Land Desktop 2009*. Software AutoCAD yang sebenarnya diciptakan untuk diaplikasikan dalam bidang rancangan bangunan memiliki banyak kemampuan yang dibutuhkan untuk menggambar peta. Kemampuan program ini menempatkan titik dan garis secara tepat sangat

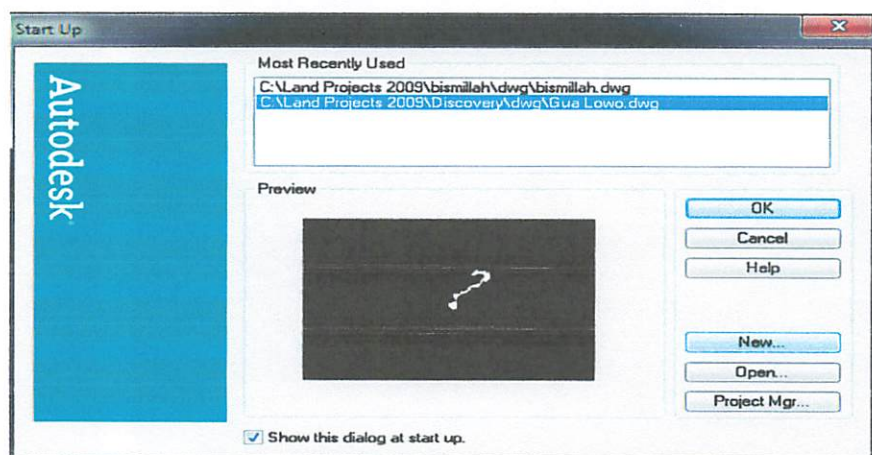
membantu dalam mengurangi kesalahan. Selain dapat menghasilkan peta dua dimensi, *software AutoCAD Land Desktop* juga mempermudah penggambar peta dalam membuat peta gua dalam tiga dimensi. Peta gua tiga dimensi selanjutnya dibangun menggunakan *software 3ds Max*.

3.5.1. Ploting Data

Setelah semua data hasil pengukuran survei pemetaan gua selesai diproses, maka data koordinat dari hasil proses pengolahan data survei disimpan dalam dalam ekstensi *.txt atau ekstensi yang dapat terbaca oleh Software AutoCAD Land Desktop 2009. Data koordinat tersebut adalah data dari hasil pengukuran poligon dan data pengukuran detail.

Langkah-langkah import data koordinat hasil pengukuran di dalam *software AutoCAD Land Desktop*, sebagai berikut :

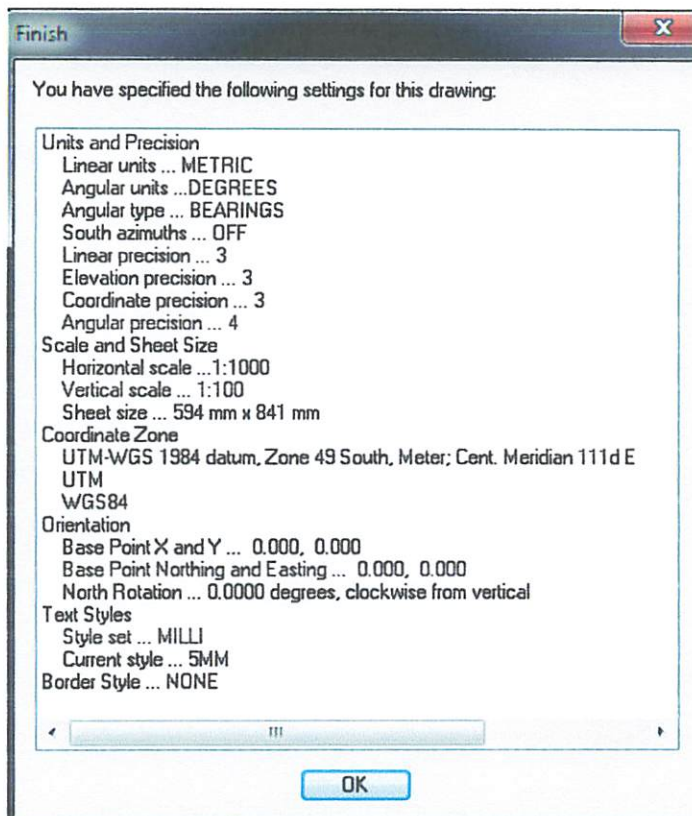
1. Membuka Program *AutoCAD Land Desktop 2009*



Gambar 3.11 Tampilan awal dari AutoCAD Land Desktop 2009

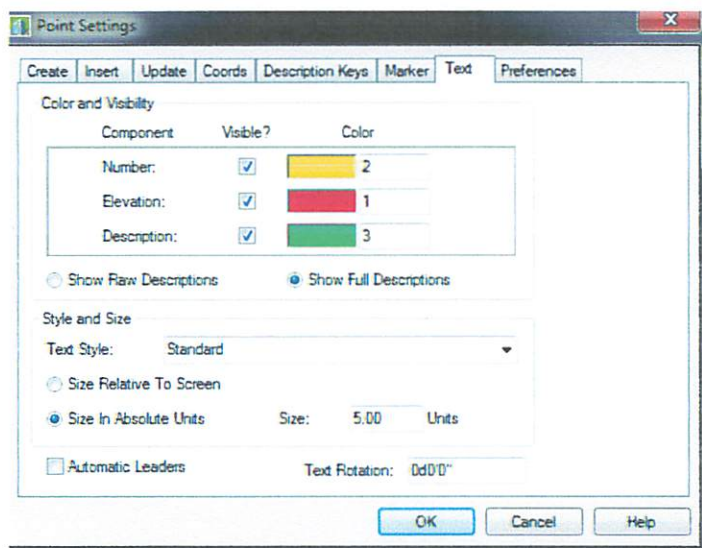
2. Kemudian klik *New* untuk memulai *project* baru dan selanjutnya beri nama gambar dan *project* dengan

mengikuti ketentuan sesuai standar pengoperasian program *AutoCAD Land Desktop 2009*.



Gambar 3.12 Tampilan dari file Project baru

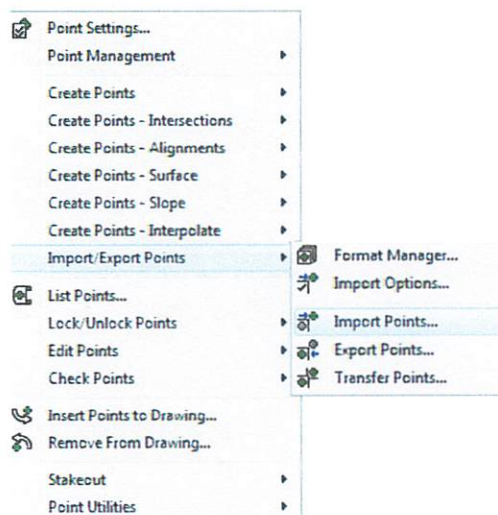
3. Setelah membuat project baru selanjutnya klik **Point** pada menu utama *AutoCAD Land Desktop 2009*, arahkan mouse ke **Point Setting** dan klik. Maka akan muncul kotak dialog untuk pengaturan **Marker** dan **Text** seperti dibawah ini :



Gambar 3.13 Tampilan *Point Setting AutoCAD Land*

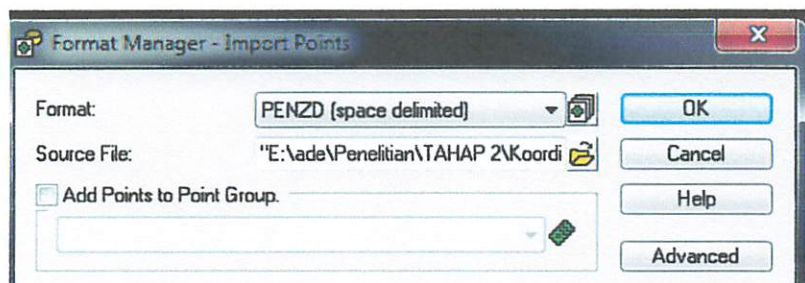
Desktop 2009

4. Selanjutnya klik **Point** pada menu utama *AutoCAD Land Desktop 2009*, arahkan mouse ke **Import/Exsport Point** kemudian klik **Import Point**.



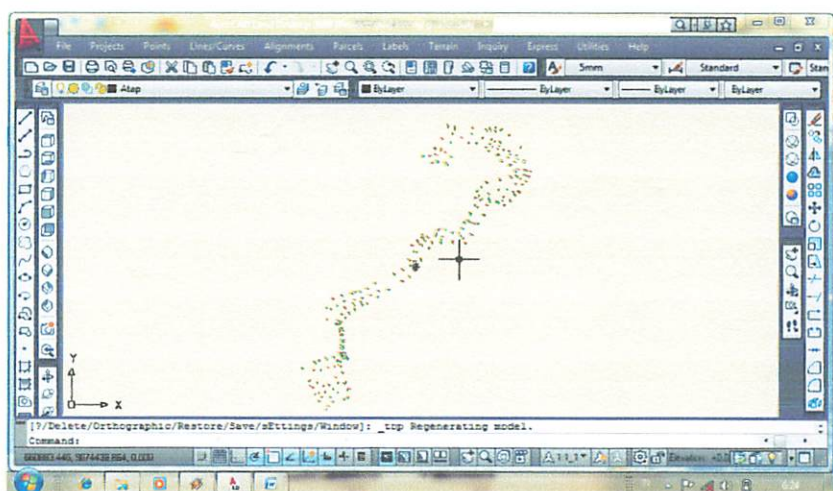
Gambar 3.14 Tampilan pilihan *Import/Export Point*

5. Pada layar AutoCAD Land Desktop 2009 akan tampil kontal dialog **Format Manager-Import Point**. Pada pilihan **Format** tentukan format file data koordinat dan pada pilihan **Source File** pilih file data koordinat pada *drive* penyimpanan file koordinat.



Gambar 3.15 Tampilan *Format Manager – Import Point*

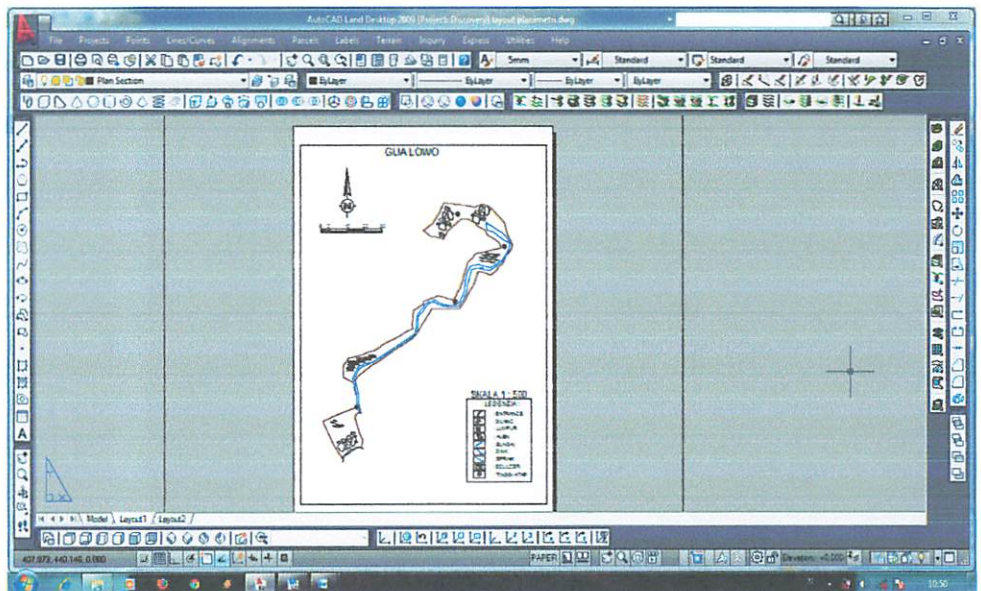
6. Kemudian klik OK, pada layar akan muncul titik-titik poligon maupun titik-titik detail situasi hasil pengukuran.



Gambar 3.16 Tampilan hasil *Point* pada layar *AutoCAD Land Desktop 2009*

3.5.2. Penggambaran *Plan Section*

Plan section adalah penggambaran peta gua tampak dari atas. Obyek yang ditampilkan adalah bentuk lorong jika di lihat dari atas, sudut belokan, letak ornamen, jenisnya dan situasi lorong gua.



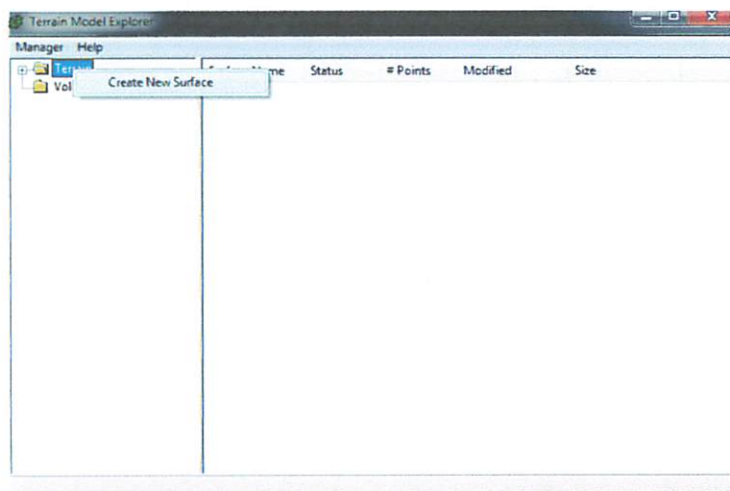
Gambar 3.17 tampilan layout peta gua

3.5.3. Pembuatan *TIN (Triangulated Irregular Network)*

Dalam pembuatan lorong gua dimanfaatkan fasilitas *Terrain* yang memiliki fasilitas membuat TIN. Untuk membentuk TIN lorong gua, maka harus dibuat layer lorong gua yang berbeda antara titik atap, lorong, dinding kiri dan dinding kanan. untuk layer atap, dinding dan lantai diantara titiknya harus ada yang bertampalan agar ketika penggabungan layer, TIN bisa menyatu membentuk lorong dan tidak bertumpang tindih.

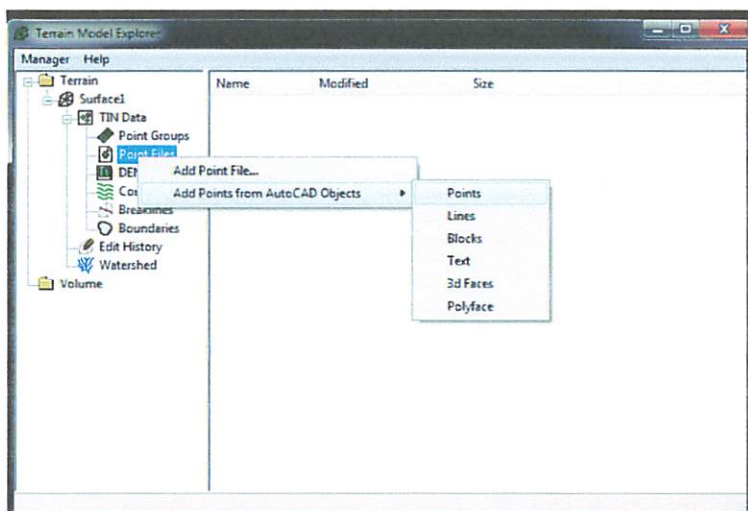
Langkah-langkahnya adalah :

1. Mengaktifkan salah satu layer yang akan dibuat TIN, misalkan layer lantai. kemudian kita buat surface layer lantai dengan memilih menu *toolbar Terrain>Terrain Model Explorer* sehingga tampak seperti gambar dibawah, klik kanan pada *Terrain* untuk membuat surface baru



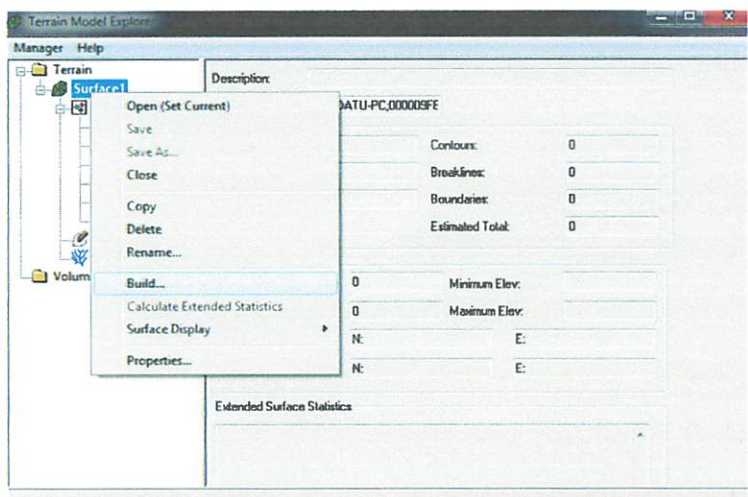
Gambar 3.18 Tampilan pada *Tool Terrain*

2. Setelah itu klik folder Terrain dan surface1 kemudian klik kanan pada **Point File>Add Point from AutoCAD object>point**. Kemudian ketik e pada command tekan enter. Blok semua semua titik kemudian klik kanan.



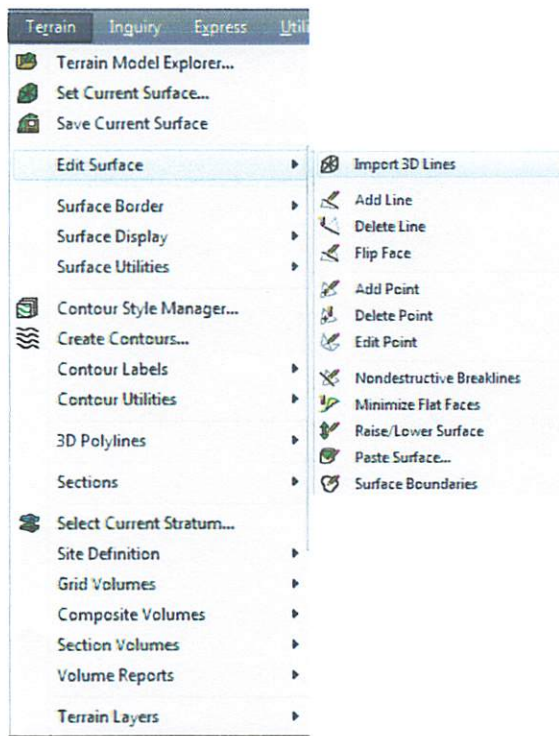
Gambar 3.19 Tampilan *Add Point* pada **Terrain Model Explorer**

3. Setelah semua titik dipilih pada layer lantai maka kembali lagi ke **Terrain Model Explorer**, kemudian klik kanan pada **Surface1** lalu pilih **Build** seperti yang terlihat pada gambar dibawah ini



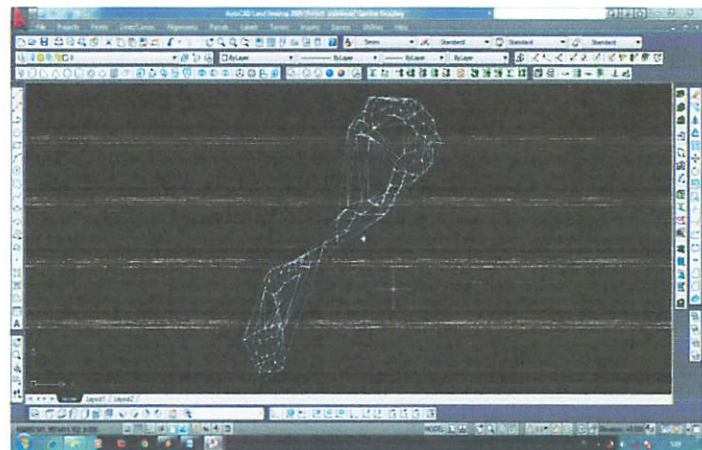
Gambar 3.20 Tampilan *Build* pada **Terrain Model Explorer**

4. Setelah proses *Build* selesai, maka tampilan akan kembali ke *Terrain model Explorer*. Kemudian exit hingga kembali pada tampilan kerja utama.
5. Setelah pembuatan *surface*, selanjutnya adalah membuat *TIN*. Pada menu toolbar pilih **Terrain>Edit Surface>Import 3D Lines**. Seperti yang terlihat pada gambar dibawah ini:



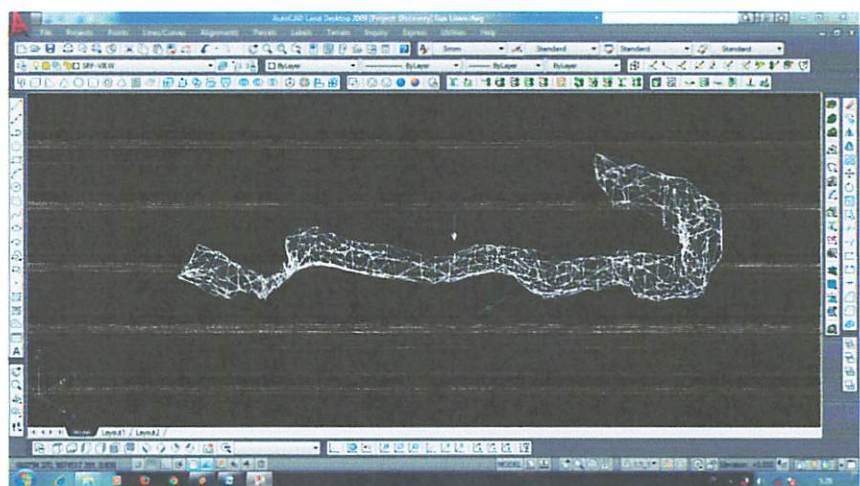
Gambar 3.21 Tampilan *Import 3Dlines*

6. Kemudian tekan enter. Maka akan terlihat *TIN* lantai seperti gambar diawah ini.



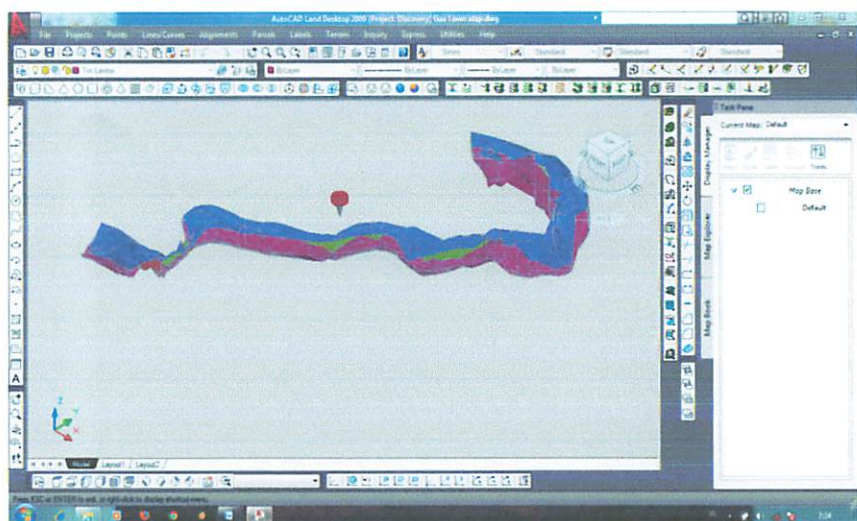
Gambar 3.22 Tampilan hasil import **TIN**

7. Jika masih terdapat Line Surface yang yang tidak terpakai atau diluar area lantai bisa dihapus menggunakan Delete Line dengan mengklik garis yang tidak terpakai. Pada menu **Terrain** pilih **Edit Surface>Delete Line**
8. Lakukan cara 5 sampai 7 untuk membuat TIN selanjutnya. Setelah layer Lantai, Atap, Dinding Kiri dan Dinding Kanan dibuat TIN, selanjutnya dari keempat layer TIN tersebut digabung menjadi satu dengan mengaktifkan layernya masing-masing. Seperti yang terihat pada gambar dibawah ini.



Gambar 3.23 Tampilan TIN lorong gua

9. Setelah TIN lorong gua terbentuk, selanjutnya melapisi TIN lorong gua agar terlihat pada padat dan bisa diimport pada *software 3ds Max7*. Untuk melapisi TIN lorong gua yaitu dengan mengetik 3DFACE pada command AutoCAD Land Desktop 2009. Seperti pada gambar dibawah ini :

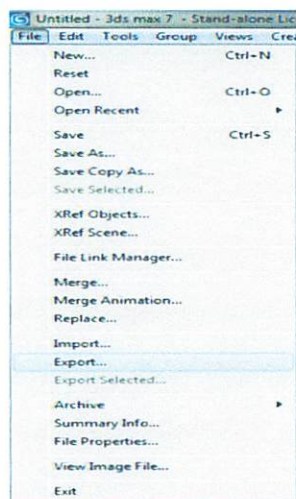


Gambar 3.24 Tampilan lorong gua yang dilapisi 3dface

3.5.4. Pembuatan Perspektif 3 Dimensi Lorong gua

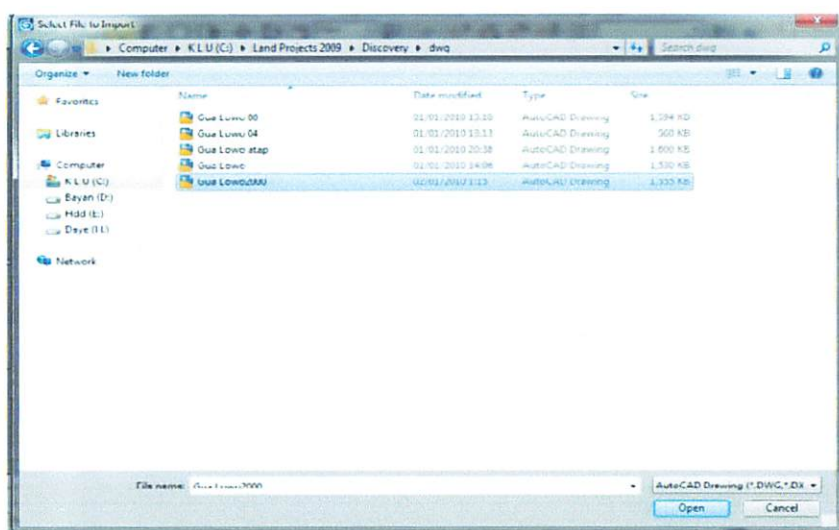
Pembuatan lorong gua dalam perspektif 3 dimensi mennggunakan *software 3ds Max7*. Adapun tahap-tahapnya sebagai berikut :

1. Pada menu *3ds max7* klik file kemudian *import*



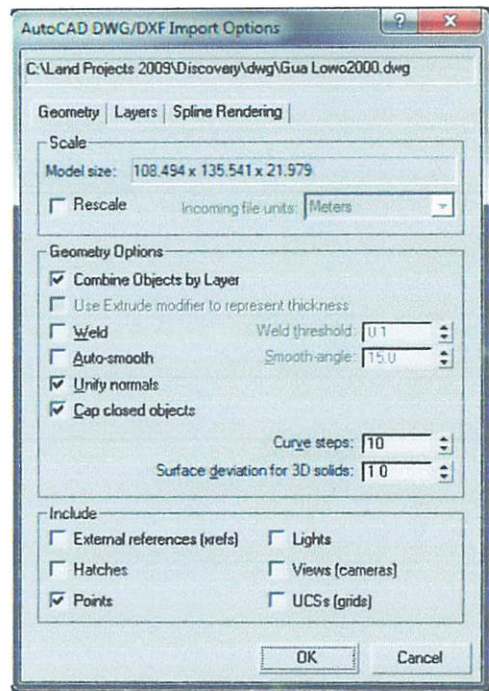
Gambar 3.25 Tampilan pilihan *import*

2. Pilih *source object* gambar yang telah dibuat di *land desktop* klik Open



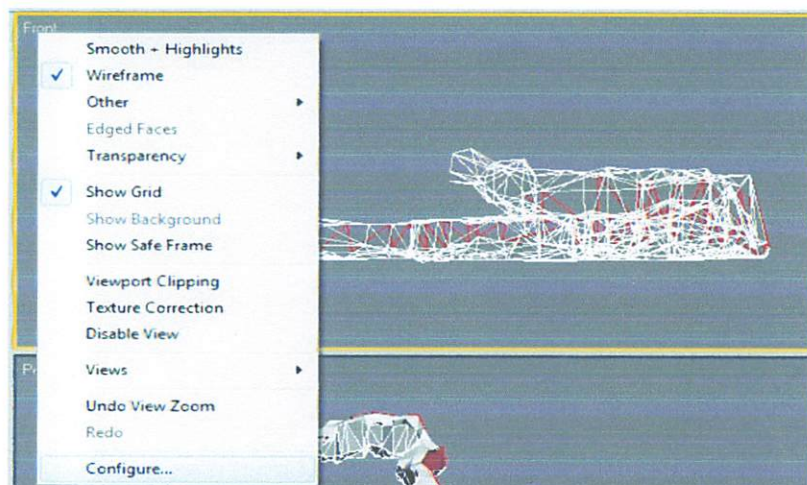
Gambar 3.26 Tampilan *source object import*

3. Kemudian setting satuan *import option* yang akan dipakai dalam konfigurasi layernya lalu klik OK



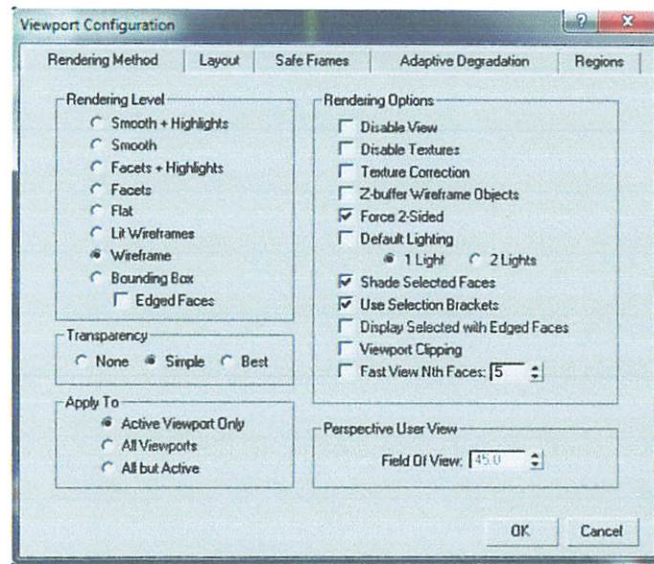
Gambar 3.27 tampilan *import option*

4. Untuk menampilkan objek menjadi solid dengan klik kanan pada nama masing-masing **view port** kemudian **configure**



Gambar 3.28 Tampilan *configure* gambar

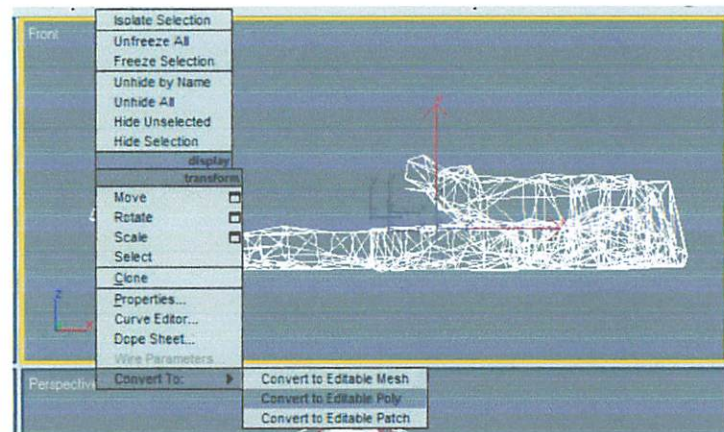
5. Lalu centang pada **Force 2 Sided** kemudian klik **OK**



Gambar 3.29 Tampilan *Viewport Configuration*

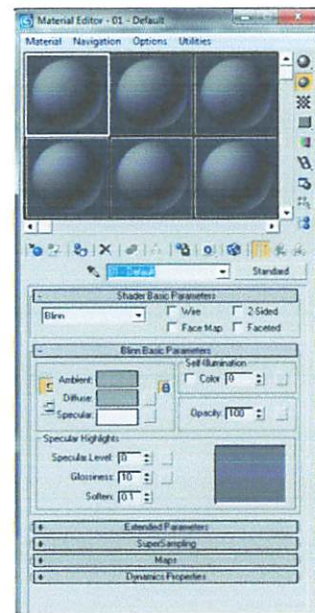
6. Pewarnaan gambar :

- Pilih semua objek yang telah kita buat, klik kanan **Convert> Convert to editable poly**



Gambar 3.30 Tampilan *convert* gambar

- Buat material gambarnya dengan menekan tombol M pada *keyboard* untuk mengeluarkan material editor.



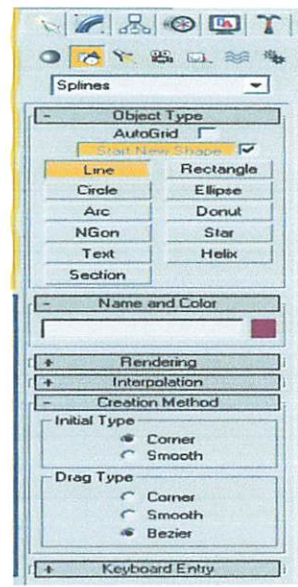
Gambar 3.31 Tampilan Material Editor

- Pada *diffuse* klik warna abu” kemudian ganti dengan warna yang kita kehendaki.
- Lalu klik objek yang akan diwarnai

- Klik icon *show map in viewport*
- Klik *assign material to selection*

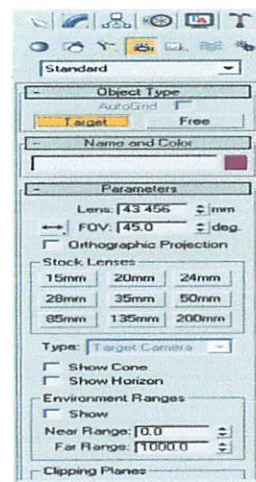
7. Perencanaan pembuatan video

- Klik **create**
- Klik **shapes** kemudian **line**



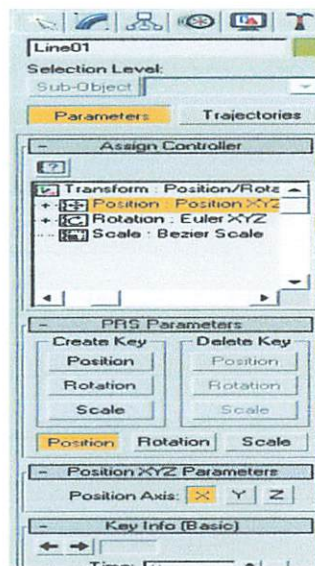
Gambar 3.32 Tampilan pilihan garis

- Buat garis sebagai track untuk kamera videonya.
- Buat camera untuk merekam video
- Klik **shapes** lalu cameras
- Pilih target



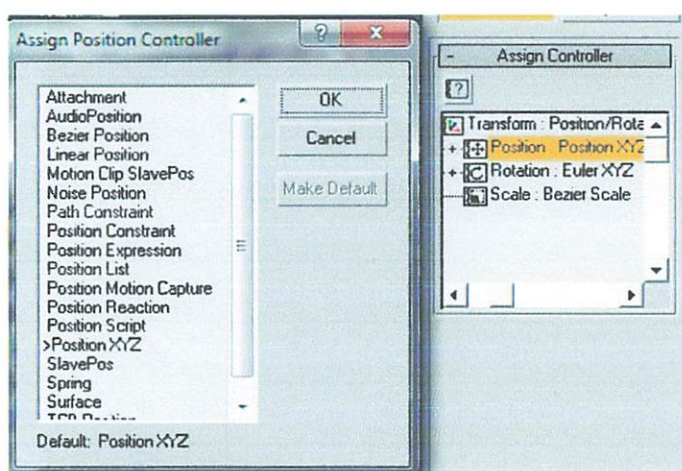
Gambar 3.33 tampilan pilihan kamera

- Kemudian klik camera yang kita buat
- Klik Motion lalu assign motion
- Pilih posssition



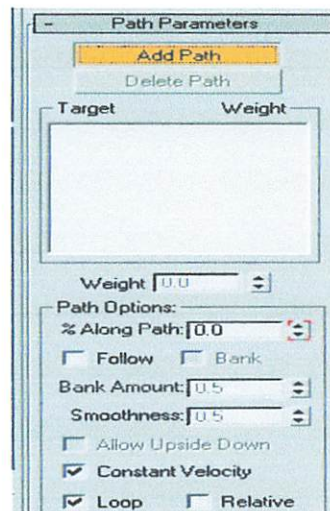
Gambar 3.34 Tampilan pengaturan posisi kamera

- Lalu klik assign controller
- Pilih path constraints



Gambar 3.35 Tampilan Assign Controller

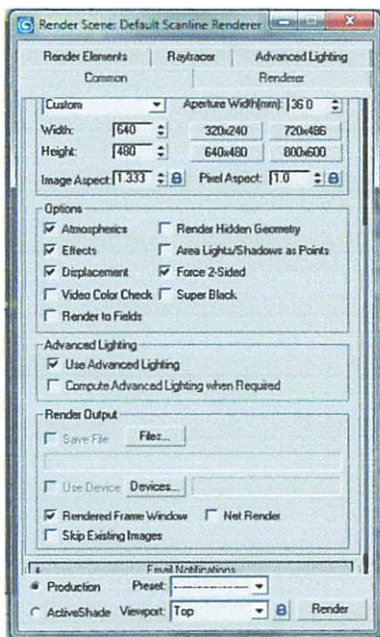
- Pilih **OK**
- Pada tab path parameter klik **add path**
- Lalu pilih garis yang kita buat sebelumnya



Gambar 3.36 Tampilan *Path Parameter*

8. Pengambilan video

- Tekan **F10** pada *keyboard* untuk mengeluarkan render scene dialog
- Pada option pilih **force 2 sided**
- Pada render option klik file untuk menentukan tempat penyimpanan video
- Dan formatnya pilih AVI lalu save

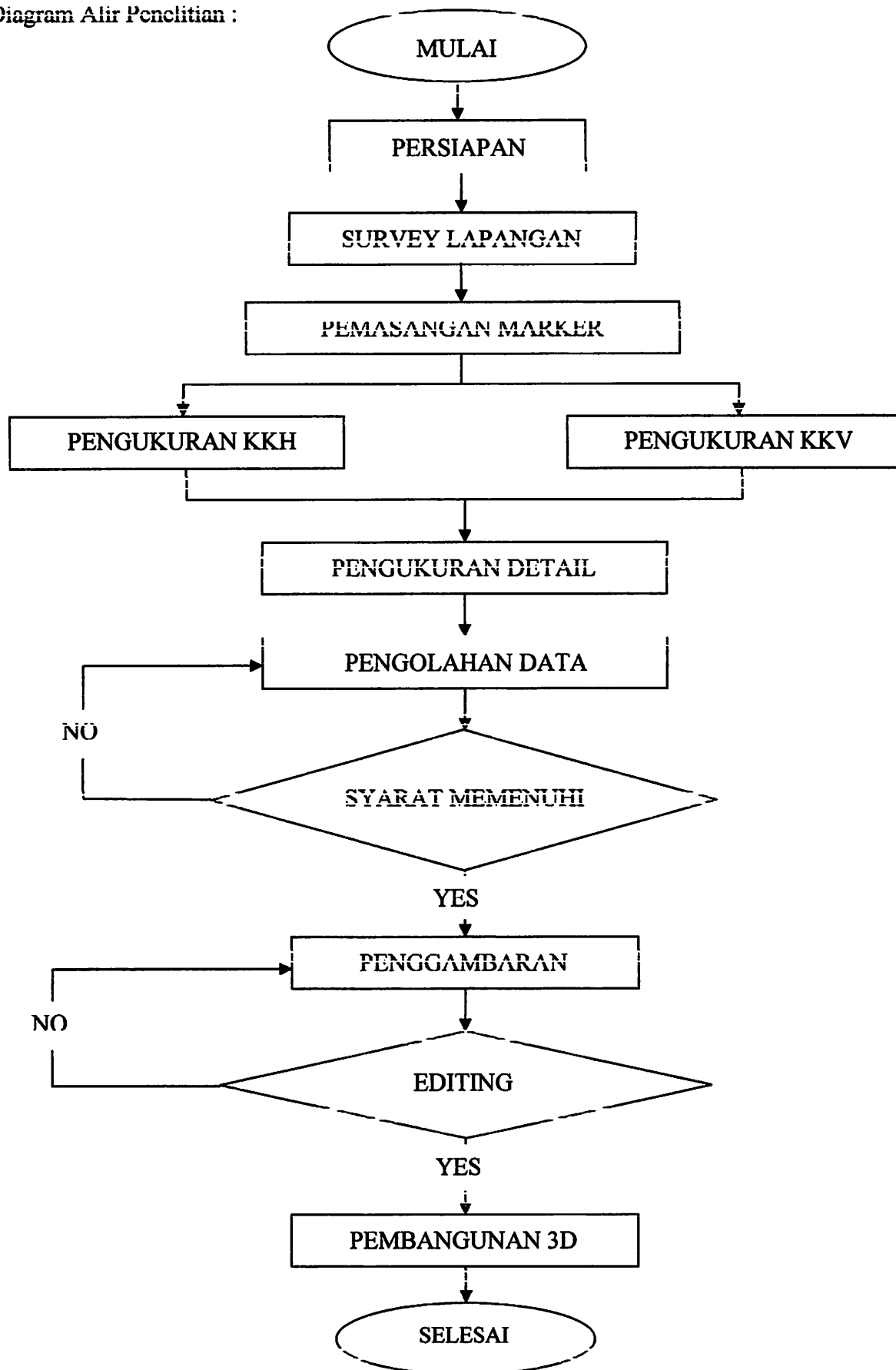


Gambar 3.37 Tampilan *render scene*

- Klik **OK**
- Kemudian klik **Render**



Diagram Alir Penelitian :



Gambar 3.38 Diagram Alir Penelitian

BAB IV

HASIL DAN PEMBAHASAN

4.1. Pembahasan Hasil Penelitian

Hasil yang diperoleh dari pelaksanaan penelitian ini adalah visualisasi kondisi lorong gua dalam perspektif tiga dimensi dengan gambar bergerak. Penyajian perspektif tiga dimensi kondisi lorong gua ini terbentuk dari jaringan TIN (*Triangulated Irregular Network*) hasil dari survei terestris dalam gua.

4.2. Pembahasan Hasil Pengambilan Data

4.2.1. Pengukuran Poligon Tertutup

Dari hasil perhitungan poligon didapat :

Maka koreksi sudut horizontal tiap titik poligon adalah :

$$f\beta = 00^\circ 06' 03''/10$$

$$= 00^\circ 00' 36''$$

- Azimuth
 - Azimuth awal diperoleh dari pengukuran dengan menggunakan kompas hingga didapat azimuth :
- Koordinat awal ditentukan dengan menggunakan GPS navigasi sebagai koordinat pendekatan dengan nilai :
 - $X_{awal} = 660847.000 \text{ m}$
 - $Y_{awal} = 9074341.000 \text{ m}$
 - $Z_{awal} = 111 \text{ m}$
- Kesalahan jarak :

$$Cd = \sqrt{\Delta X^2 + \Delta Y^2}$$

$$= \sqrt{(0.045)^2 + (-0.016)^2}$$

$$= 0.048$$

- Ketelitian Linier
 - Ketelitian linier yang diperoleh dari pengukuran ini :

$$Cd = 0.048$$

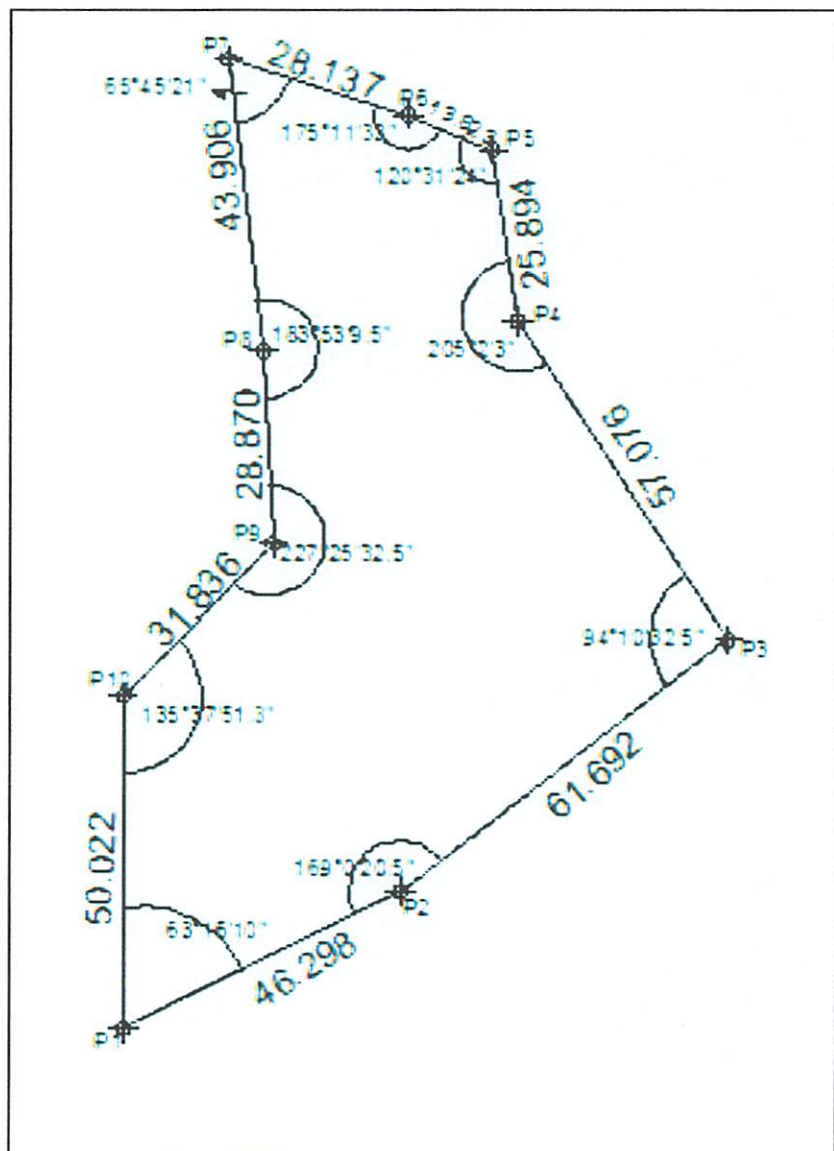
$$\sum d = 387.355$$

$$KL = \frac{Cd}{\sum d}$$

$$= 0.048 / 387.355$$

$$= 1 : 8058.497$$

Dari hasil perhitungan poligon tertutup diperoleh ketelitian linier sebesar 1 : 8058.497 Koordinat awal ditentukan dengan GPS navigasi dengan koordinat X = 660847.000 m dan Y = 9074341.000 m sebagai koordinat pendekatan pada titik awal.



Gambar 4.1 Sket poligon tertutup

4.2.2. Pengukuran Poligon Terbuka Terikat Koordinat

➤ Analisa Hasil Perhitungan Poligon Terbuka Terikat Koordinat

- Menghitung azimuth (α_{P1-P6}) yang diketahui :

$$\begin{aligned}\alpha_{BM2-BM3} &= \text{Arctan} \frac{(X_{P6}-X_{P1})}{(Y_{P6}-Y_{P1})} \\ &= \text{Arctan} \frac{(660889.227 - 660847.000)}{(9074477.852 - 9074341.000)} \\ &= 197^\circ 8' 53.41''\end{aligned}$$

- Menghitung azimuth (α_{P1-P6}') dari perhitungan Koordinat pendekatan :

$$\begin{aligned}(\alpha_{P1-P6}') &= \text{Arctan} \frac{(X_{P6}'-X_{P1})}{(Y_{P6}'-Y_{P1})} \\ &= \text{Arctan} \frac{(660888.869 - 660847.000)}{(9074477.477 - 9074341.000)} \\ &= 197^\circ 0' 26.8''\end{aligned}$$

➤ Menghitung selisih azimuth ($\Delta\alpha_{P1-P6}$)

$$\begin{aligned}\Delta\alpha_{P1-P6} &= \alpha_{P1-P6} - \alpha_{P1-P6}' \\ &= 197^\circ 8' 53.4'' - 197^\circ 0' 26.8'' \\ &= 0^\circ 8' 26.5''\end{aligned}$$

Selisih azimuth kemudian ditambahkan di tiap azimuth pada masing-masing titik

➤ Koreksi Absis dan Ordinat

$$\begin{aligned}.f\Delta X &= (X_{P6} - X_{P1}) - \sum d_{sin\alpha} \\ &= (660889.227 - 660847.000) - 42.186 \\ &= 0.041\end{aligned}$$

$$\begin{aligned}
 f\Delta Y &= (Y_{P6} - Y_{P1}) - \sum d_{cos\alpha} \\
 &= (9074477.852 - 9074341.000) - 136.805 \\
 &= 0.047
 \end{aligned}$$

Jika kesalahan absis dan ordinat bertanda negatif (-)
maka koreksinya positif (+), begitu pula sebaliknya.

$$K\Delta X_{P1-G1} = \left(\frac{D_{P1-G1}}{\sum d} \right) \times (\pm f\Delta X)$$

$$K\Delta Y_{P1-G1} = \left(\frac{D_{P1-G1}}{\sum d} \right) \times (\pm f\Delta Y)$$

- Menghitung koordinat sesungguhnya koordinat G1 sampai Koordinat titik ikat P1, dimana hasil perhitungan sampai koordinat P6 adalah :

$$X_{P6} = 660889.227 \text{ m}$$

$$Y_{P6} = 9074477.852 \text{ m}$$

- Ketelitian Linier
 - Ketelitian linier yang diperoleh dari pengukuran ini :

$$\begin{aligned}
 Cd &= \sqrt{\Delta X^2 + \Delta Y^2} \\
 &= \sqrt{0.041^2 + 0.047^2} \\
 &= 0.0621
 \end{aligned}$$

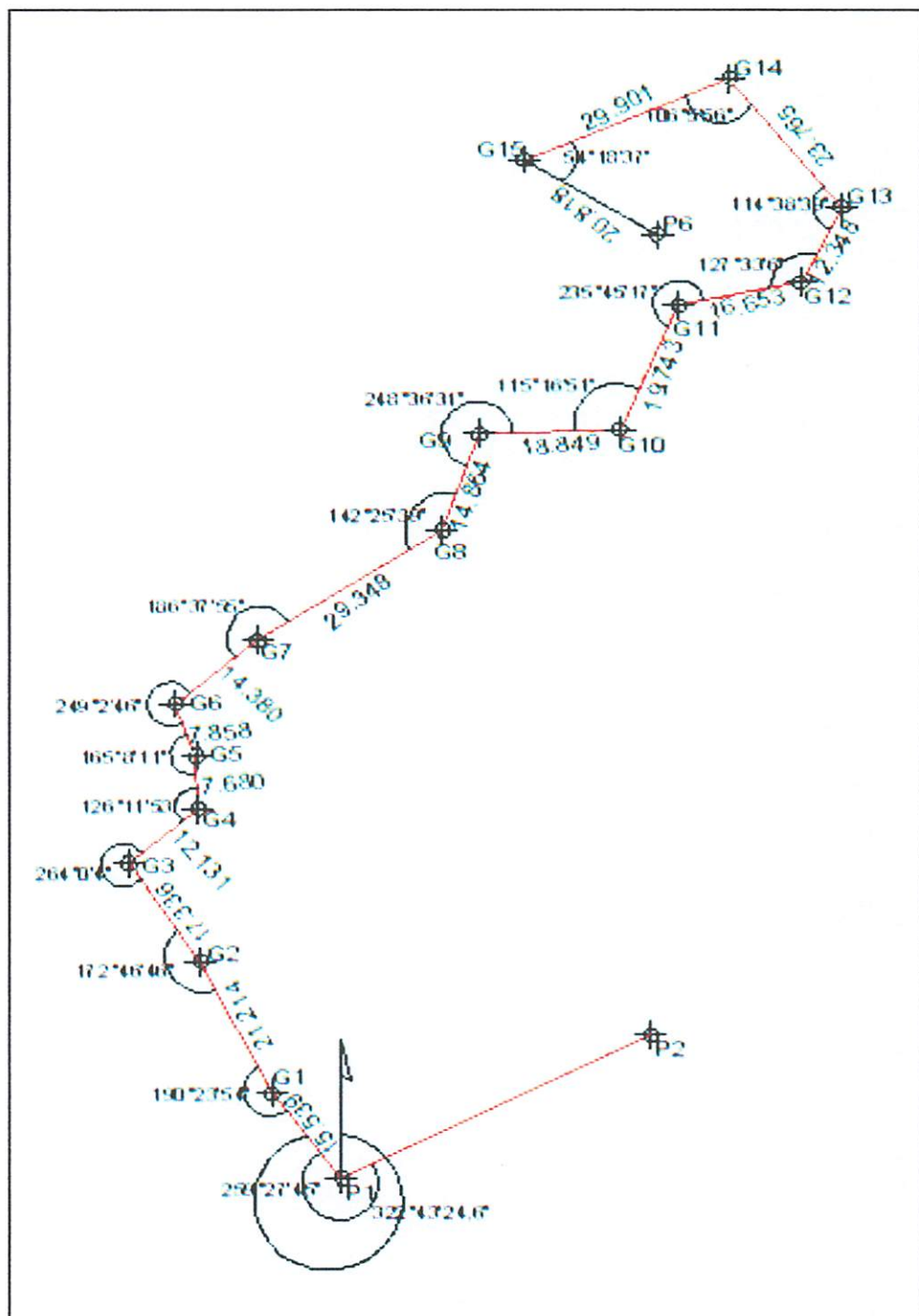
$$Cd = 0.0621$$

$$\sum d = 282.425$$

$$KL = \frac{Cd}{\sum d}$$

$$= \frac{0.0621}{282.425}$$

$$= 1 : 4546.841$$



Gambar 4.2 Sket poligon terikat koordinat

Jika nilai koordinat titik P6 yang dihitung sama dengan koordinat titik P6 yang diketahui maka perhitungannya dinyatakan benar. Poligon ini sering dipakai dilapangan karena tidak menutup kemungkinan banyak dijumpai hambatan-hambatan misalnya

hanya ada dua titik pengikat yang diketahui sehingga azimuth awal atau azimuth akhir yang belum diketahui memakai azimuth pendekatan.

4.2.3. Pengukuran Detail

Data hasil pengukuran titik detail digunakan sebagai data dalam penggambaran peta lorong gua. Hasil dari data pengukuran titik detail yang berupa koordinat dan elevasi digunakan sebagai referensi untuk membangun jaring TIN dalam membuat lorong gua.

	A	B	C	D	E	F	G	H	L	M	N	O	P	Q	R	S	T	U	V	W	X	AH	AI
1	Point	Target	Rb (m)		Horizontal				Azimuth	d	m	s	des						Koordinat				
2				d	m	s	des		Hd					d sin α	d cos α	Δh	X	Y	Z				
19																							
20	G2																						
21	1.553	92	0.1	46	36	57	46.61543	153.363	65	58	42	65.97833	19.898				660828.133	9074372.365	54.607				
22	100	1.7	132	23	24	132.39	239.1371	65	43	38	65.72722	9.822	-8.431182	-5.038538	4.202100	660819.702	9074367.327	58.089 L					
23	101	1.7	150	56	9	150.9358	257.603	76	4	4	76.06776	5.451	-5.32553	-1.162811	1.20524	660822.808	9074371.202	55.812 L					
24	102	1.7	210	47	37	210.7936	317.5408	108	46	47	108.7797	4.574	-3.08175	3.374504	-1.02331	660825.046	9074375.740	92.204 L					
25	103	1.7	168	6	54	168.715	274.8621	90	11	10	90.18611	10.706	-10.66747	0.917426	-0.181776	660817.646	9074373.273	54.225 L					
26																	1.538224	660817.678	9074373.465	55.925 DI			
27	104	1.7	176	13	33	176.2258	282.973	95	32	3	95.53417	12.274	-11.96072	2.755408	-1.336239	660816.673	9074375.120	93.070 L					
28																	0.363761	660816.397	9074325.321	94.770 DI			
29	105	1.7	184	11	35	184.1931	290.9402	96	44	32	96.74222	9.695	-9.054684	3.464929	-1.293144	660819.879	9074375.830	93.114 L					
30	106	1.7	205	36	25	205.6669	312.3541	105	57	2	105.9506	7.285	-5.303582	4.037981	-2.229138	660822.750	9074372.273	92.178 L					
31	107	1.7	231	49	3	231.8175	338.5646	105	54	41	125.9134	8.284	-3.077398	7.711	-6.346132	660825.104	9074380.076	88.261 L					
32	108	1.7	258	54	2	258.9806	5.647699	131	26	58	131.4494	8.175	0.804513	8.135317	-7.366778	660826.938	9074380.500	87.040 L					
33																	-5.666778	660826.158	9074380.617	88.240 Da			
34	109	0	254	36	50	254.6339	1.361032	122	11	33	122.1925	7.327	0.134033	7.324033	-3.059729	660828.367	9074379.690	91.347 Da					
35	110	0	250	45	24	250.7567	357.5038	118	56	8	118.9356	12.294	-0.53544	12.28233	-5.24361	660827.518	9074384.647	89.163 Da					
36	111	1.7	248	50	8	248.8356	355.5827	120	46	38	120.7772	12.623	-0.356821	12.3062	-5.245991	660827.176	9074384.751	86.861 Da					
37	112	1.7	205	39	26	205.6572	312.4044	104	28	49	104.4803	9.628	-7.109353	6.937725	-2.633451	660821.034	9074378.058	91.773 L					
38	113	1.7	195	11	55	195.1986	301.9454	99	18	30	99.30033	11.659	-9.053238	6.689865	-2.057976	660818.240	9074378.534	92.349 L					
39	114	1.7	231	41	5	231.6842	338.4319	122	47	11	121.7064	10.868	-3.995157	10.30703	-4.881872	660824.138	9074382.472	82.525 I					

Gambar 4.3 Tampilan hitungan detail dalam Microsoft Excel 2007

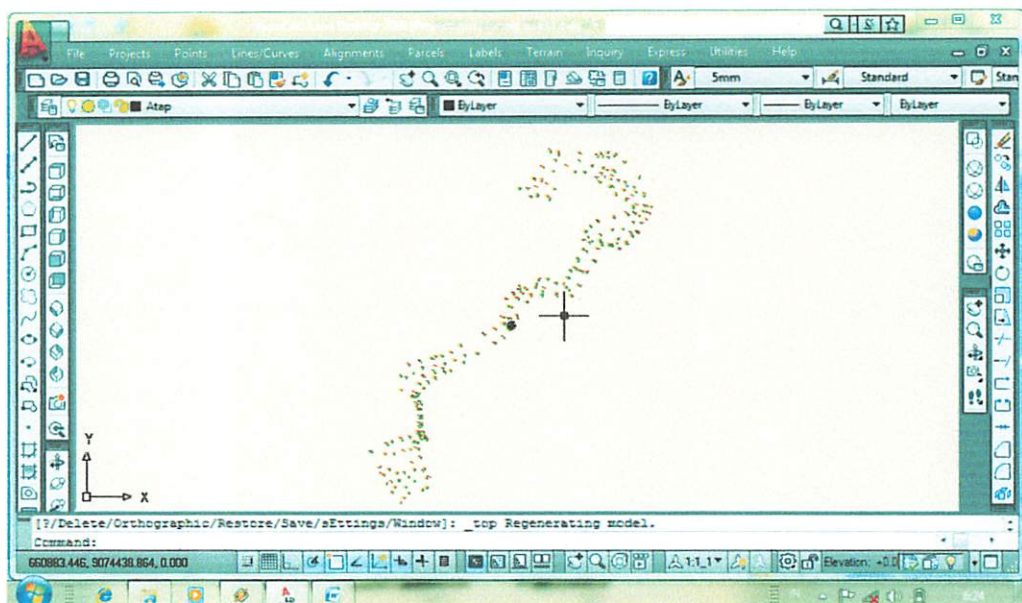
Data selengkapnya dalam lampiran.

4.3. Hasil Penggambaran

4.3.1. Hasil Ploting data

Ploting data adalah menginputkan data koordinat hasil dari proses perhitungan pengukuran untuk menjadi suatu gambar peta. Ploting data ini dilakukan dengan menggunakan *software AutoCAD Land Desktop 2009*.

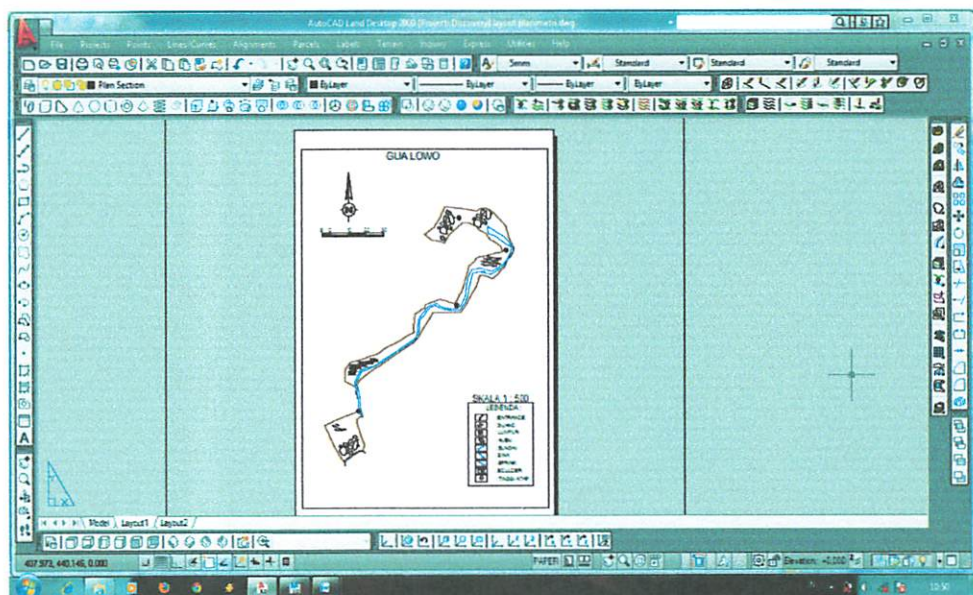
Data yang diplotkan berupa titik-titik kordinat hasil dari pengukuran, yang telah diproses dalam suatu perhitungan yang menjadi unsur utama dalam penggambaran peta.



Gambar 4.4 Tampilan *point* pada *AutoCAD Land Desktop 2009*

4.3.2. Hasil Penggambaran *Plan Section*

Penggambaran *plan section* dilakukan dengan menggunakan software AutoCAD Land Desktop 2009. Penggambaran ini dibuat dari hasil data-data pengukuran dalam gua yang telah dilakukan editing menurut detail koordinat dalam gua untuk dijadikan suatu tampilan dalam peta. Peta gua *plan section* dibuat sebagai representatif bentuk gua tampak atas, dimana yang ditampilkan adalah bentuk arah lorong gua, belokan, letak ornamen, jenis dan situasi lorong gua.



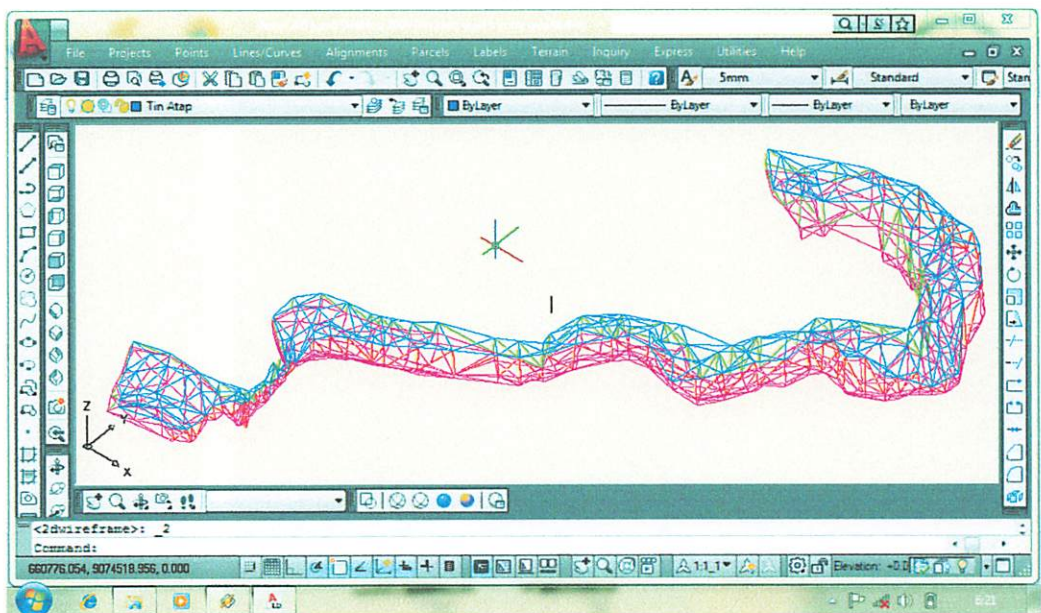
Gambar 4.5 Tampilan *Layout Plan Section* Gua

4.3.3. Hasil Pembuatan TIN

Penggambaran bentuk kondisi lorong gua dibangun dengan menggunakan TIN di software AutoCAD Land Desktop 2009. Pembentukan lorong gua dilakukan dengan membangun TIN pada layer yang masing-masing terpisahkan. TIN yang harus dibangun adalah pada layer atap, lantai, dinding kiri dan dinding kanan. Di antara TIN layer dinding dengan TIN layer atap atau TIN layer dinding dengan lantai harus memiliki titik yang saling bertampalan. Hal ini dibuat agar jaring teratur membentuk kondisi lorong gua dan tidak bertumpang tindih.

Pada model TIN ini, setiap titik *sample* yang bersebelahan dihubungkan satu sama lain dengan garis-garis untuk membentuk geometri segitiga-segitiga bebas tetapi *non-overlapping*. Di dalam setiap segitiga ini permukaan yang bersangkutan diwakili oleh sebuah bidang datar. Dengan memanfaatkan bentuk segitiga-segitiga ini, setiap

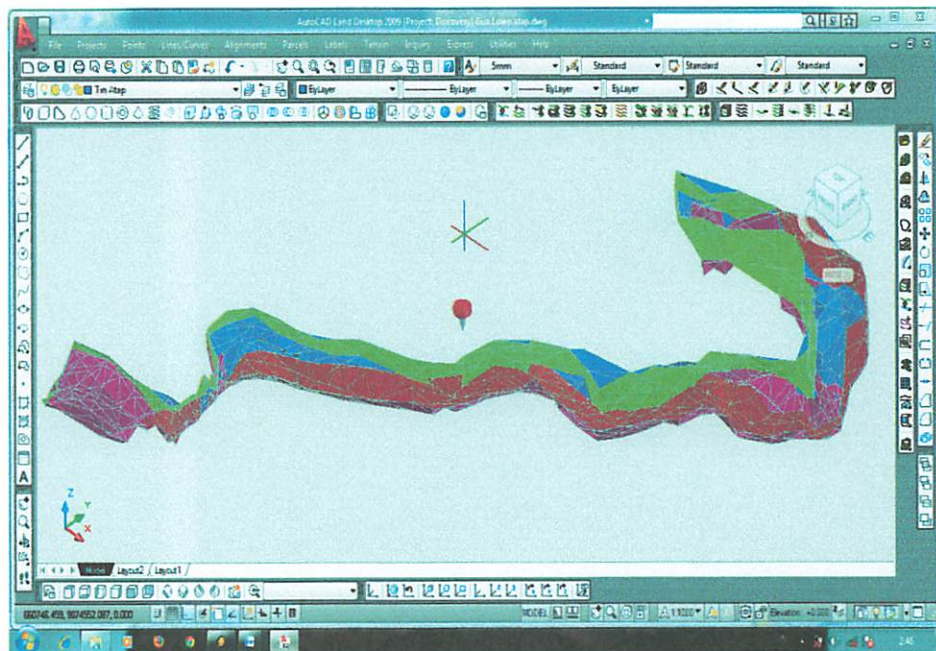
keping mosaik (bidang datar segitiga) permukaan dipastikan akan pas dengan yang bersebelahan. Oleh karena itu, bentuk permukaannya akan kontinyu dan setiap permukaan segitiga didefinisikan oleh nilai-nilai ketinggian yang terdapat pada ketiga sudutnya.



Gambar 4.6 Tampilan TIN lorong gua pada *AutoCAD Land Desktop 2009*

4.3.4. Hasil Pembuatan *Surface 3d*

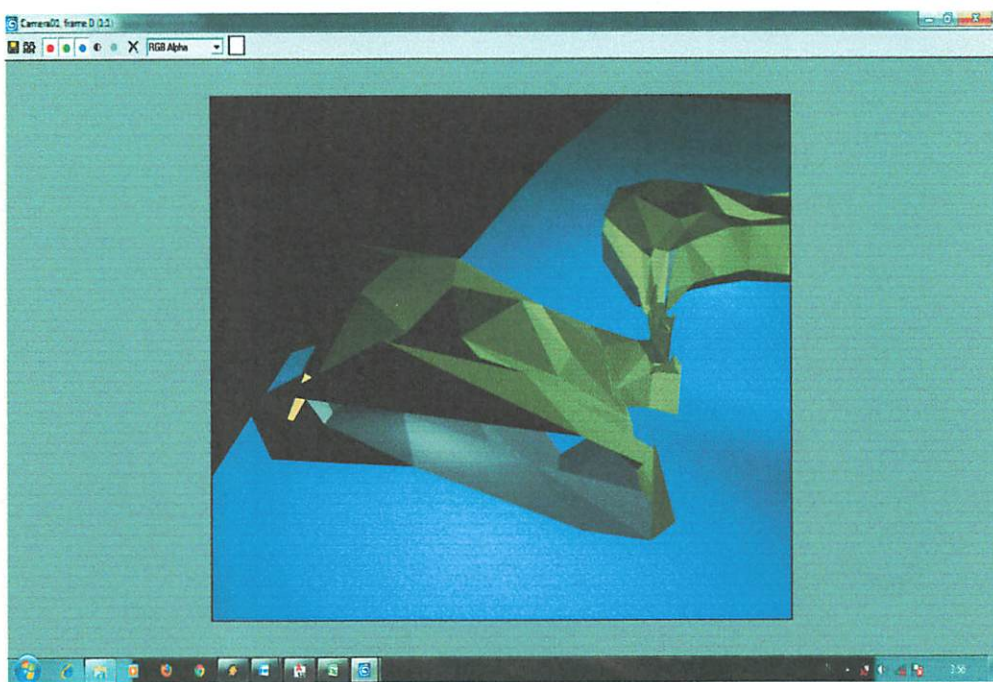
Pembuatan *surface 3d* adalah upaya melapisi jaring TIN untuk menjadi suatu lorong gua yang tertutup utuh pada atap, dinding dan lantainya. Pembuatan *surface 3d* dilakukan di *software AutoCAD Land Desktop 2009* setelah proses pembuatan TIN. Hal ini dilakukan agar lorong gua yang terbentuk oleh jaring TIN bisa dibuka di dalam *software 3ds Max7* untuk diproses menjadi lorong gua dalam perspektif tiga dimensi.



Gambar 4.7 Tampilan *surface 3d* lorong gua pada *AutoCAD Land Desktop 2009*

4.3.5. Hasil Render Tiga Dimensi Lorong Gua

Proses render tiga dimensi lorong gua dilakukan menggunakan *software 3ds Max7*. Proses render ini bermaksud untuk mengambil hasil akhir sebuah gambar yang kita buat menjadi sebuah video atau dalam bentuk gambar. Dalam pembuatan gambar gua dalam perspektif tiga dimensi, tentu proses render ini sangat tepat. Karena objek gua bisa ditelusuri ke dalam lorongnya dengan fasilitas kamera yang ada pada *software 3ds Max7* ini. Sehingga dari hasil proses render ini kita bisa memberi informasi kondisi lorong gua.



Gambar 4.8 Hasil render objek lorong gua

4.3.6. Pembahasan Hasil Penyajian

Hasil yang disajikan dari penelitian ini adalah sebuah lorong gua dalam perspektif tiga dimensi yang ditampilkan melalui media video. Kondisi lorong gua yang tergambar adalah hasil dari pengukuran di dalam gua yang terbentuk dari jaring TIN. Sehinnga bentuk lorong gua sesuai dengan hasil pengukuran di lapangan. Perspektif lorong tiga dimensi ini dapat memberikan gambaran dan informasi bagi tim-tim survei penelusur gua dalam mengadakan penelitian dan penelusuran.



Gambar 4.9 Penyajian perspektif tiga dimensi lorong gua pada aplikasi
video

BAB V

PENUTUP

5.1 Kesimpulan

Dari kegiatan penelitian yang dilakukan pada pemetaan gua ini didapatkan beberapa kesimpulan sebagai berikut :

1. Dalam membuat kerangka kontrol pemetaan gua harus mempunyai titik kontrol koordinat sebagai pengikat pengukuran kerangka kontrol horizontal agar memiliki koreksi dalam proses perhitungannya
2. Penggambaran peta harus didasarkan pada kerangka kontrol peta
3. Ketelitian linier poligon ditentukan oleh jarak yang dipakai dalam pengukuran. Semakin teliti pengukuran jarak, maka akan memiliki ketelitian linier yang teliti
4. Pengambilan titik detail yang rapat dan banyak dalam pemetaan gua sangat membantu dalam pembuatan TIN lorong gua agar tampak halus
5. Manfaat jaring TIN pada peta perspektif tiga dimensi gua sangat penting dalam membangun bentuk lorong gua
6. Peralatan survey yang memadai sangat membantu suksesnya pencapaian target dalam pemetaan gua.
7. Sumber daya manusia yang berkualitas dan berpengalaman merupakan salah satu komponen yang sangat mendukung dalam suatu pelaksanaan pemetaan gua.

5.2 Saran

Beberapa hal yang perlu diperhatikan dari penelitian ini adalah sebagai berikut:

1. Sebelum melakukan kegiatan pemetaan gua, sebaiknya dilakukan orientasi lapangan terlebih dahulu. Hal ini dilakukan agar tim survei tahu kondisi gua yang akan dipetakan sehingga tim dapat menyesuaikan peralatan yang akan dibutuhkan dalam penelusuran gua tersebut.
2. Peralatan survei yang dipakai sebaiknya menggunakan peralatan yang sudah terkalibrasi dan dalam kondisi yang baik.
3. Untuk efektifitas dalam kegiatan pemetaan gua, alat yang dipakai sebaiknya menggunakan *Total Station laser reflector*, *Scanner*, atau teknologi pemetaan Photografi. Sehingga detail gua yang sulit dijangkau pun bisa teramat dalam pengukuran.
4. Sebaiknya digunakan komputer yang berspesifikasi tinggi dalam memproses gambar perspektif tiga dimensi
5. Perlengkapan penerangan harus benar-benar mendukung selama proses kegiatan pemetaan gua dilaksanakan.
6. Perlunya pengetahuan tentang speleology, sehingga sebagai seorang geodet mampu memberikan semua informasi tentang gua yang nantinya dapat disajikan dalam peta gua
7. Menguasai teknik penelusuran gua, untuk memudahkan pergerakan surveyor dalam penelusuran gua.

8. Kegiatan pemetaan gua sebaiknya tidak dilakukan pada musim hujan, karena pada musim hujan memiliki debit air yang cukup besar dan resiko keselamatannya pun cukup besar bagi tim penelusur gua.

DAFTAR PUSTAKA

- Wongsotjitro, S., 1989, *Ilmu Ukur Tanah*, Kanisius, Yogyakarta
- Sosrodarsono, S., 1997, *Pengukuran Topografi Dan Teknik Pemetaan*, Pradnya
Pramitha, Jakarta
- Laksamana, E.E., 2005, *Stasiun Nol Teknik-Teknik Pemetaan dan Survey
Hidrologi Gua*, Yogyakarta
- Widjanarko, S., 2005, *Menggambar Peta Gua menggunakan AutoCAD*, dalam
Gunung Sewu, Indonesian Cave and Karst Jurnal vol.2, Desember 2005,
Yogyakarta
- Widjanarko, S., 2008, *Inventarisasi dan Pemetaan Gua Untuk Mendukung
Kegiatan Pengelolaan Kawasan Karst*, dalam Gunung Sewu, Indonesian
Cave and Karst Jurnal vol.5, April 2009, Yogyakarta
- Prahasta, E., 2008, *Model Permukaan Digital*, Informatika, Bandung
Teknik Pemetaan Gua, www.subterra.or.id 2 April 2012



LAMPIRAN

RAW DATA

Point From	Point To	Erector Height	Azimuth	Horizontal Circle	Horizontal Distance (m)	Zenith Angle	Code
P1	2	1.7		359. 59' 58"	50.031	77. 33' 31"	PN
1,464	3	1.7		63. 15' 45"	46.307	85. 05' 48"	P2
	4	1.7		179. 59' 59"	50.028	282. 26' 15"	PN
	5	1.7		243. 16' 03"	46.295	274. 54' 02	P2
	6	1.7		359. 59' 45"	50.016	77. 30' 29"	PN
	7	1.7		63. 15' 55"	46.321	85. 5' 23"	P2
	8	1.7		179. 59' 50"	50.025	282. 26' 53"	PN
	9	1.7		243. 16' 0"	46.319	274. 54' 27"	P2
P2	11	1.7		278. 35' 10"	46.266	93. 49' 36"	P1
1,421	11	1.7		98. 35' 28"	46.308	266. 10' 25"	P1
	12	1.7		98. 35' 26"	46.289	266. 9' 29"	P1
	13	1.7		278. 35' 25"	46.282	93. 49' 31"	P1
	14	1.7		87. 35' 42"	61.677	85. 11' 3"	P3
	15	1.7		267. 35' 48"	61.682	274. 49' 2"	P3
	16	1.7		87. 35' 36"	61.688	85. 10' 52"	P3
	17	1.7		267. 35' 47"	61.681	274. 49' 23"	P3
P3	19	0		285. 2' 59"	61.695	95. 37' 1"	P2
1,535	20	0		105. 2' 0"	61.699	264. 22' 36"	P2
	21	0		285. 2' 2"	61.698	95. 37' 9"	P2
	22	0		105. 2' 8"	61.699	264. 22' 18"	P2
	23	0		285. 2' 5"	61.702	95. 37' 22"	P2
	24	1.7		19. 13' 31"	57.075	90. 8' 18"	P4
	25	1.7		199. 12' 33"	57.082	269. 51' 59"	P4
	26	1.7		19. 12' 24"	57.070	90. 7' 49"	P4
	27	1.7		199. 11' 43"	57.076	269. 51' 56"	P4
	28	1.7		19. 11' 40	57.079	90. 7' 50"	P4
P4	2	1.7		351.38' 1"	57.083	88. 54' 51"	P3
1,508	3	1.7		196. 41' 46"	25.897	94. 25' 17"	P5
	4	1.7		351. 39' 20"	57.097	88. 55" 08	P3
	5	1.7		196. 41' 24"	25.888	94. 24' 57	P5
	6	1.7		16. 41' 23"	25.898	265. 34' 44"	P5
	7	1.7		171. 38' 34"	57.083	271. 5' 6"	P3
	8	1.7		351. 39' 15"	57.097	88. 54' 14"	P3
	9	1.7		196. 41' 17"	25.894	94. 25' 1"	P5
P6	11	0		214. 59' 49"	13.575	65. 32' 58"	P5
1,572	12	0		35. 0' 35"	13.963	249. 27' 38"	P5
	13	0		215. 0' 25"	13.573	65. 32' 58"	P5
	14	0		35. 0' 8"	13.572	294. 26' 44"	P5
	15	1.75		45. 39' 4"	20.032	124. 36' 0"	PG
	16	1.75		225. 39' 19"	20.031	235. 23' 5"	PG
	17	1.75		45. 39' 20"	20.031	124. 36' 58"	PG
	18	1.75		225. 39' 11"	20.031	235. 23' 46"	PG
	19	1.75		45. 39' 0"	20.031	124. 36' 30"	PG
	20	1.75		45. 2' 1"	20.278	124. 12' 56"	PG2
	21	1.75		225. 1' 4"	20.280	235. 48' 19"	PG2
	22	1.75		45. 2' 10"	20.281	124. 12' 0"	PG2
	23	1.75		225. 1' 53"	20.280	235. 47' 38"	PG2
	24	1.4		30. 11' 10"	28.112	69. 36' 44"	P7
	25	1.4		210. 12' 20"	28.100	290. 22' 41"	P7
	26	1.4		30. 12' 54"	28.112	69. 36' 25"	P7
	27	1.4		210. 12' 38"	28.111	290. 22' 38"	P7
P5	29	0		293. 25' 9"	25.920	86. 16' 44"	P4
1,452	30	0		113. 25' 31"	25.913	273. 43' 43"	P4
	31	0		293. 25' 18"	25.910	86. 16' 39"	P4
	32	0		113. 25' 17"	25.959	273. 44' 2"	P4
	33	1.7		53. 56' 42"	13.564	116. 51' 53"	P6
	34	1.7		233. 56' 30"	13.552	243. 7' 26"	P6

RAW DATA

	35	1.7	53. 56' 55"	13.565	116. 52' 1"	P6
	36	1.7	233. 56' 19"	13.567	243. 9' 38"	P6
P7	38	1.7	331. 59' 20"	28.190	110. 2' 59"	P6
1.413	39	1.7	151. 59' 43"	28.164	249. 55' 38"	P6
	40	1.7	331. 59' 1"	28.162	110. 4' 38"	P6
	41	1.7	152. 1' 56"	28.147	249. 55' 5"	P6
	42	1.4	37. 44' 51"	43.897	77. 10' 47"	P8
	43	1.4	217. 44' 54	43.893	282. 48' 39"	P8
	44	1.4	37. 44' 52"	43.892	77. 11' 21"	P8
	45	1.4	217. 45' 24"	43.887	282. 48' 49"	P8
P8	47	1.7	27. 36' 59"	41.575	112. 32' 22"	P7
1.478	48	1.7	207. 37' 9"	43.938	257. 29' 23"	P7
	49	1.7	27. 36' 54"	41.558	112. 30' 48"	P7
	50	1.7	207. 37' 41"	43.931	257. 28' 59"	P7
	51	1.7	211. 30' 3"	28.869	86. 12' 50"	P9
	52	1.7	31. 30' 24"	28.872	273. 47' 17"	P9
	53	1.7	211. 29' 28"	28.870	86. 13' 9"	P9
	54	1.7	31. 29' 4"	28.864	273. 47' 3"	P9
P9	56	1.7	185. 0' 42"	28.873	93. 19' 40"	P8
1.525	57	1.7	4. 59' 26"	28.880	266. 40' 22"	P8
	58	1.7	185. 0' 6"	28.854	93. 19' 31"	P8
	59	1.7	4. 57' 59"	28.872	266. 40' 51"	P8
	60	1.7	52. 26' 24"	31.854	105. 41' 11"	P10
	61	1.7	232. 24' 49"	31.830	254. 17' 35"	P10
	62	1.7	52. 24' 28"	31.824	105. 42' 49"	P10
	63	1.7	232. 24' 19"	31.836	254. 18' 33"	P10
P10	65	1.7	346. 37' 17"	31.878	73. 53' 14"	P9
1.568	66	1.7	166. 38' 27"	31.877	286. 7' 40"	P9
	67	1.7	346. 35' 46"	31.865	73. 53' 12"	P9
	68	1.7	166. 36' 5"	31.856	286. 6' 20"	P9
	69	1.7	122. 14' 40"	50.020	101. 56' 43"	P1
	70	1.7	302. 14' 26"	50.021	258. 4' 21"	P1
	71	1.7	122. 14' 10"	50.024	101. 56' 7"	P1
	72	1.7	302. 13' 52"	50.021	258. 3' 5"	P1
G3	143	1.7	19. 9' 34"	11.31	59. 12' 42"	G2
1.371	144	0.2	155. 49' 52"	9.041	95. 12' 9"	G4
	145	0.2	335. 49' 58"	9.083	264. 30' 34"	G4
	146	0.2	335. 49' 58"	9.029	264. 45' 44"	G4
	147	1.7	199. 7' 38"	11.337	300. 48' 25"	G2
	148	1.7	19. 7' 58"	11.403	59. 25' 0"	G2
	149	0.2	155. 50' 21"	9.03	95. 15' 50"	G4
	150	1.7	199. 7' 53"	11.406	300. 34' 21"	G2
	151	1.7	199. 7' 53"	11.406	300. 34' 21"	G2
	152	1.7	237. 35' 8"	2.508	296. 44' 49"	LDI
	153	1.7	284. 27' 46"	1.552	287. 52' 16"	LDI
	154	1.7	209. 53' 27"	1.227	297.17' 44"	S
	155	1.7	214. 45' 36"	3.829	293. 53' 46"	LDI
	156	1.7	194. 17' 4"	3.215	289. 37' 29"	L
	157	1.7	153. 2' 11"	1.65	281. 46' 20"	S
	158	1.7	121. 49' 9"	1.349	283. 34' 39"	SDA
	159	1.35	165. 33' 11"	4.163	89. 23' 18	SDA
	160	1.35	157. 48' 12"	4.48	89. 44' 21"	SA
	161	1.35	148. 0' 17"	4.584	89. 49' 9"	SDI
	162	1.35	166. 33' 37"	2.133	87. 59' 1"	SDA
	163	1.35	151. 49' 13"	2.243	89. 57' 17"	S
	164	1.35	140. 4' 23"	2.087	90. 15' 32"	SDI
	165	1.35	231. 44' 51"	0.0772	93. 30' 4"	SDA
G4	167	1.35	329. 21' 39"	8.976	91. 18' 29"	G3
0.7	168	1.35	138. 53' 14"	7.679	92. 3' 39"	G5
	169	1.35	319. 2' 39"	7.682	267. 55' 6"	G5

RAW DATA

	170	1.35	149. 16' 56"	8.98	268. 44' 22"	G5
	171	0.2	329. 16' 51"	8.979	91. 15' 14"	G3
	172	0.2	138. 59' 10"	7.681	92. 2' 16"	G5
	173	0.2	318. 58' 31"	7.677	267. 58' 7"	G5
	174	1.2	324. 21' 58"	2.399	80. 18' 15"	SDA
	175	1.2	323. 13' 36"	1.431	76. 3' 52"	SDA
	176	1.2	337. 6' 58"	1.299	73. 42' 9"	SDI
	177	1.2	330. 53' 55"	2.466	80. 46' 25"	SDI
	178	1.2	143. 29' 48"	2.417	79. 54' 44"	S
	179	1.2	142. 2' 7"	3.231	84. 49' 21"	SDA
	180	1.2	111. 20' 24"	1.905	80. 52' 48"	SDI
	181	1.2	131. 2' 10"	5.318	84. 15' 44"	SDI
G5	183	0.2	158. 52' 41"	7.639	93. 36' 32"	G4
0.91	184	0.2	338. 45' 6"	7.638	266. 20' 15"	G4
	185	0.2	158. 49' 26"	7.634	93. 40' 29"	G2
	186	0.2	338. 50' 48"	7.637	266. 20' 28"	G2
	187	0.3	324. 0' 44	5.227	92. 35' 46"	G6
	188	0.3	143. 58' 47"	5.225	267. 25' 17	G6
	189	0.3	323. 58' 38"	5.227	92. 33' 26"	G6
	190	0.3	143. 59' 6"	5.227	267. 26' 54"	G6
	191	0.1	318. 25' 47"	3.717	98. 29' 8"	S
	192	0.1	317. 59' 31"	3.746	88. 56' 49"	DI
	193	0.1	318. 31' 50"	2.979	100. 16' 39"	DI
	194	0	296. 31' 10"	1.367	111. 58' 30"	DI
	195	0	317. 12' 45"	1.021	61. 53' 3"	S
	196	1.2	351. 54' 37"	1.066	63. 4' 7"	SDA
	197	1.2	176. 0' 13"	1.632	73. 6' 0	SDI
G6	199	0.2	321. 30' 40"	5.233	95. 16' 18"	G5
0.918	200	1.7	210. 31' 44"	14.39	86. 47' 11"	G7
	201	1.7	30. 37' 37"	14.376	273. 13' 28"	G7
	202	0.2	321. 32' 54"	5.219	95. 22' 10"	G5
	203	0.2	141. 33' 9"	5.221	264. 37' 21"	G5
	204	1.7	210. 26' 21"	14.373	86. 58' 10"	G7
	205	1.7	30.21'39"	14.373	273.2'32"	G7
	206	1.7	332.27'4"	1.863	69.36'49"	LA
	207	1.37	336.19'58"	1.541	85.25'57"	DA
	208	1.7	305.21'27"	1.574	67.1'49"	AL
	209	1.7	282.5'31"	1.851	67.58'7"	AL
	210	1.7	271.39'6"	1.58	93.34'19"	DA
	211	0	263.43'1"	1.739	112.41'36"	L
	212	1.7	195.56'10"	3.926	78.41'11"	S
	213	1.7	184.48'6"	3.906	77.58'54"	S
	214	1.7	187.6'49"	7.286	82.49'33"	S
	215	1.7	193.31'6"	6.969	83.11'6"	S
	216	1.7	206.44'28"	10.887	85.19'10"	S
	217	1.7	202.25'41"	11.218	85.8'11"	S
	218	1.7	189.22'1"	14.646	77.40'24"	L
	219	1.7	198.3'14"	12.84	81.6'53"	L
	220	1.7	197.36'49"	17.791	80.6'21"	L
	221	1.7	206.43'11"	16.118	83.29'5"	L
	222	1.7	202.44'4"	21.02	81.58'49"	L
	223	1.7	211.10'50"	19.9	84.59'15"	L
	224	1.7	205.12'12"	25.401	81.40'25"	L
	225	1.7	213.47'13"	24.168	85.46'34"	L
	226	0	203.53'6"	25.53	81.40'8"	DI
	227	0	201.45'31"	20.75	81.26'50"	DI
	228	0	190.10'1"	16.058	79.44'52"	DI
	229	0	172.14'21"	12.028	74.40'10"	DI
	230	0	179.0'1"	10.118	81.43'54"	L
	231	0	223.12'22"	4.02	83.22'7"	L
	232	0	212.57'27"	6.79	86.59'4"	L

RAW DATA

	233	1.7		213.17'49"	9.851	78.26'18"	L
	234	0		218.19'51"	9.86	79.28'6"	DA
	235	0		220.19'35"	6.576	76.42'58"	DA
G7	237	1.7		115.33'22"	14.339	87.32'5"	G6
1.428	236	1.7		302.26'50"	29.351	89.5'40"	G8
	237	1.7		302.26'47"	29.351	89.5'40"	G8
	238	1.7		302.26'47"	29.351	89.5'40"	G8
	239	1.7		122.35'21"	29.381	270.52'18"	G8
	240	1.7		295.59'10"	14.282	270.33'54"	G6
	241	1.7		115.56'30"	14.293	89.24'34"	G6
	242	1.7		302.36'9"	29.329	89.8'14"	G8
	243	1.7		122.35'50"	29.329	270.51'23"	G8
	244	1.7		295.55'0"	14.295	270.30'59"	G6
	245	0		146.36'50"	11.547	79.49'32"	L
	246	0		159.38'27"	13.159	77.9'43"	L
	247	1.2		144.55'23"	16.455	76.46'36"	L
	248	1.2		141.6'37"	14.651	77.32'14"	L
	249	1.2		127.23'9"	18.094	81.23'45"	L
	250	1.2		114.15'59"	15.951	89.56'26"	L
	251	0		349.46'32"	3.24	85.40'1"	DA
	252	0		319.17'56"	8.384	89.9'8"	DA
	253	0		311.18'43"	14.646	89.26'26"	DA
	254	0		305.48'4"	21.914	89.29'6"	DA
G7	256	1.7		57.13'58"	29.294	88.50'50"	G7
1.422	257	1.7		199.43'39"	14.086	88.59'43"	G9
	258	1.7		19.45'35"	14.084	271.1'4"	G9
	259	1.7		237.23'59"	29.224	271.6'19"	G9
	260	0		24.51'27"	4.152	105.37'18"	S
	261	0		34.40'25"	4.244	88.37'39"	S
	262	0		33.45'41"	2.173	87.5'42"	S
	263	0		11.32'21"	2.21	94.20'31"	DA
	264	0		320.35'44"	1.413	83.42'1"	DA
	265	2		183.2'29"	3.452	87.59'46"	S
	266	2		203.19'19"	3.638	82.10'15"	S
	267	2		183.27'45"	8.324	86.9'3"	S
	268	2		191.46'22"	7.981	86.10'11"	S
	269	2		202.39'42"	16.773	88.57'43"	S
	270	2		206.31'32"	16.451	88.3'20"	S
	271	1.7		214.46'19"	15.595	85.5'21"	L
	272	1.7		216.4'20"	12.331	79.18'34"	L
	273	1.7		217.27'59"	5.854	73.25'29"	L
	274	1.7		143.42'52"	1.752	82.36'29"	L
G9	276	1.7		102.10'21"	14.077	89.6'33"	G8
1.42	275	1.7		350.39'48"	18.781	89.16'46"	G10
	277	1.7		350.56'20"	18.848	89.16'3"	G10
	278	1.7		170.41'46"	18.85	270.43'21"	G10
	279	1.7		281.58'10"	14.19	270.52'59"	G8
	280	1.7		140.14'21"	6.056	80.59'58"	L
	281	1.7		147.27'47"	2.814	75.6'4"	LDI
	282	1.7		328.9'42"	6.768	87.25'49"	S
	283	1.7		336.10'53"	6.084	88.1'7"	S
	284	1.7		345.38'13"	9.115	88.4'31"	S
	285	1.7		352.3'55"	8.538	88.19'27"	S
	286	1.7		341.17'8"	14.019	82.30'16"	L
	287	1.7		319.59'8"	8.292	78.27'40"	L
	288	0		319.35'2"	8.887	77.34'50"	DI
	289	0		328.42'44"	11.429	80.4'13"	DI

RAW DATA

G10	291	1.7		144.55'22"	18.768	89.26'13"	G9
1.41	292	1.7		260.15'1"	19.739	89.10'46"	G11
	293	1.7		80.14'12"	19.75	270.50'26"	G11
	294	1.7		325.0'9"	18.645	270.32'38"	G9
	295	1.7		273.19'15"	8.616	87.50'29"	S
	296	1.7		264.4'11"	8.362	87.33'15"	S
	297	1.7		261.13'58"	16.19	88.43'8"	S
	298	1.7		255.17'54"	16.623	89.11'45"	S
	299	1.7		261.44'15"	20.77	89.6'6"	S
	300	1.7		256.1'12"	21.644	89.19'44"	S
	301	1.7		268.34'50"	22.579	89.10'18"	S
	302	1.7		266.26'39"	24.253	89.5'54"	S
	303	1.7		270.32'3"	19.227	85.44'13"	L
	304	1.7		276.57'58"	14.634	85.12'49"	L
	305	1.7		279.29'38"	9.512	81.12'48"	L
	306	1.7		243.40'16"	7.267	83.16'3"	D
	307	1.7		253.27'40"	11.604	84.21'8"	D
	308	1.7		238.4'22"	4.552	76.55'50"	L
	309	1.7		254.20'31"	8.56	83.50'41"	L
	310	1.7		253.45'9"	12.332	85.57'53"	L
G11	312	1.7		329.20'45"	19.74	89.20'35"	G10
1.53	313	0.4		205.8'13"	16.366	92.12'58"	G12
	314	0.4		25.9'6"	16.36	267.45'32"	G12
	315	1.7		149.26'0"	19.734	270.40'52"	G10
	316	1.7		207.45'59"	11.081	88.6'12"	S
	317	1.7		216.48'39"	10.468	89.32'2"	S
	318	1.7		201.41'58"	16.083	88.36'34"	S
	319	1.7		207.34'33"	16.631	88.21'4"	S
	320	1.7		191.0'8"	18.523	83.27'8"	L
	321	1.7		193.18'23"	13.825	81.46'19"	L
	322	0		185.25'58"	9.973	80.3'7"	L
	323	0		185.28'0"	9.972	80.4'3"	L
	324	1.7		131.46'36"	6.475	71.13'56"	LDI
	325	1.7		104.33'9"	4.613	66.32'16"	LDI
	326	1.7		148.26'33"	8.84	72.32'20"	L
	327	0		171.41'36"	13.346	75.45'44"	ST
	328	0		220.53'49"	7.458	83.27'45"	DA
G12	330	1.7		226.42'5"	16.374	89.24'29"	G11
1.47	331	1.7		354.15'11"	12.228	88.18'34"	G13
	332	1.7		173.55'3"	12.383	272.3'24"	G13
	333	1.7		47.7'37"	16.304	270.38'16"	G11
	334	1.7		227.9'51"	16.35	89.22'19"	G11
	335	0		210.10'59"	8.469	84.28'27"	DA
	336	0		189.47'11"	7.148	85.33'31"	DA
	337	0		175.29'22'	3.99	78.36'11"	DA
	338	0		39.53'39"	2.4	66.58'31"	DA
	339	0		8.24'11"	5.737	87.29'56"	S
	340	0		7.29'54"	6.818	92.0'23"	SM
G13	342	1.7		1.43'28"	12.291	90.12'0"	G12
1.53	343	1.7		116.5'33"	23.773	77.54'39"	G14
	344	1.7		296.6'33"	23.756	282.5'12"	G14
	345	1.7		181.27'54"	12.313	269.47'33"	G12
	346	1.7		336.42'39"	5.274	88.32'27"	S
	347	1.7		342.57'0"	2.272	88.14'35"	S
	348	1.7		254.33'5"	1.676	77.7'2"	SDA
	349	1.7		99.32'35"	6.782	88.43'3"	S
	350	1.7		117.20'24"	6.944	88.21'2"	S
	351	1.7		99.55'46"	10.739	89.25'9"	S

RAW DATA

	352	1.7	110.9'0"	11.047	88.57'58"	S
	353	1.7	94.39'21"	14.918	89.35'57"	S
	354	1.7	106.57'35"	14.693	89.4'46"	S
	355	1.7	101.38'27"	17.389	90.27'30"	S
	356	1.7	105.44'9"	17.523	91.28'45"	S
	357	1.7	111.52'8"	18.038	86.59'1"	L
	358	1.7	113.1'23"	12.275	86.56'35"	L
	359	1.7	120.40'14"	8.671	85.1'4"	L
	360	1.7	139.9'17"	4.182	76.22'16"	L
	361	1.7	87.48'52"	12.953	86.8'29"	L
	362	1.7	84.48'10"	7.967	85.0'24"	L
	363	1.7	71.10'50"	4.099	79.36'33"	L
	364	0	54.19'32"	5.22	77.26'5"	DI
	365	0	82.2'49"	8.414	83.32'37"	DI
	366	0	84.37'20"	12.608	86.52'37"	DI
	367	0	93.44'51"	15.811	88.13'38"	DI
	368	1.7	127.22'59"	18.727	78.6'24"	DA
	369	0	138.55'43"	11.302	77.19'10"	L
G14	371	1.7	250.38'57"	23.742	101.27'27"	G13
1.51	373	0.07	356.42'32"	29.968	82.8'33"	G15
	374	0.07	176.43'10"	29.968	277.51'2"	G15
	375	1.7	70.34'52"	23.73	258.36'50"	G13
	376	0	308.53'23"	10.082	86.32'58"	DI
	377	1.7	296.25'26"	4.891	100.53'12"	L
	378	1.7	269.27'21"	5.194	109.55'0"	L
	379	0	179.14'29"	3.337	84.21'6"	DA
	380	0	104.49'9"	1.894	76.37'9"	DA
	381	1.7	184.1'22"	2.237	81.47'6"	L
	382	1.35	47.10'43"	3.297	75.13'17"	LDA
	383	1.35	21.30'39"	4.113	86.13'8"	L
	384	2.75	319.12'29"	8.915	105.7'58"	LDI
	385	2.75	347.19'27"	10.657	101.19'15"	LDI
	386	2.75	355.32'4"	13.786	100.40'49"	LDI
	387	2.75	352.30'52"	7.04	115.44'16"	L
	388	2.75	12.11'24"	11.22	105.30'20"	L
	389	1.7	29.13'54"	2.227	90.39'50"	LDA
	390	1.7	24.33'29"	22.491	91.10'20"	LDI
	391	1.7	26.30'35"	22.735	90.58'55"	L
	392	1.7	15.43'49"	20.32	94.45'4"	LDI
	393	1.7	22.6'18"	19.37	97.26'47"	L
	394	1.7	7.21'19"	16.39	85.34'24"	L
	395	1.7	5.19'55"	21.986	81.11'22"	L
	396	1.7	1.18'52"	27.289	78.38'32"	L
G15	398	1.7	21.54'1"	29.809	100.12'18"	G14
1.547	399	1.7	201.56'8"	29.858	259.48'11"	G14
	400	1.7	21.56'52"	29.688	100.12'18"	G14
	401	1.7	201.43'57"	29.722	259.45'9"	G14
	402	1.8	76.13'10"	20.816	54.26'27"	P6
	403	1.8	256.14'14"	20.819	305.34'5"	P6
	404	1.8	76.14'12"	20.82	54.26'26"	P6
	405	1.8	256.14'3"	20.817	305.33'37"	P6
	406	1.7	355.18'13"	3.079	96.49'7"	L
	407	3	28.51'31"	4.365	117.8'6"	L
	408	3	49.31'5"	7.147	107.24'1"	LDI
	409	3	84.6'47"	6.843	101.45'49"	LDI
	410	0	124.17'48"	3.358	93.3'21"	LDI
	411	0	160.45'11"	4.313	71.53'37"	LDI
	412	1.7	219.29'16"	6.378	59.28'38"	LDI
	413	0	213.0'59"	3.125	61.46'25"	L

Data Perhitungan Poligon Tertutup

point	S. Horizontal			des				sdt terkorek	Azimuth			Jarak	dsin	fx	dcos	fy	Koordinat		Kode	
	d	m	s														x	y		
P1																	660847.000	9074341.000	P1	
	63	16	10	63.269444	63	16	46.2667	63.280	63	16	46	63.27952	#####	41.354	0.005	20.818	-0.002	660888.360	9074361.816	P2
P2																				
	169	0	20.5	169.00569	169	0	56.7667	169.016	52	17	43	52.29529	#####	48.809	0.007	37.730	-0.003	660937.176	9074399.543	P3
P3																				
	94	10	32.5	94.175694				94.186	326	28	52	326.4811	#####	-31.518	0.007	47.585	-0.002	660905.664	9074447.126	P4
P4																				
	205	2	3	205.03417				205.044	351	31	31	351.5253	#####	-3.816	0.003	25.612	-0.001	660901.851	9074472.736	P5
P5																				
	120	31	24	120.52333				120.533	292	3	31	292.0587	#####	-12.626	0.002	5.116	-0.001	660889.227	9074477.852	P6
P6																				
	175	11	33	175.1925				175.203	287	15	41	287.2613	#####	-26.870	0.003	8.349	-0.001	660862.360	9074486.200	P7
P7																				
	65	45	21	65.755833				65.766	173	1	38	173.0272	#####	5.330	0.005	-43.582	-0.002	660867.696	9074442.616	P8
P8																				
	183	53	9.5	183.88597				183.896	176	55	24	176.9232	#####	1.550	0.003	-28.828	-0.001	660869.249	9074413.787	P9
P9																				
	227	25	32.5	227.42569				227.436	224	21	32	224.359	#####	-22.258	0.004	-22.762	-0.001	660846.994	9074391.024	P10
P10																				
	135	37	51.3	135.63093				135.641	180	0	0	180	#####	0.000	0.006	-50.022	-0.002	660847.000	9074341.000	P1
P1																				

n= 10

Σβ= 1439.8993

Σd ##### -0.045 0.045 0.016 -0.016

(n-2)*180= 1440

1439 53 57

kesalahan sudut= 0.1007407

0 6 2.7

KL 8058.497

koreksi tiap sudut 0.0100741

0 0 36

Data Rata-rata Poligon terbuka terikat koordinat

Data Rata-rata Poligon terbuka terikat koordinat

G8	256	1.7	57	13	58	57.233	142.495	142	29	41	142.427	29.294	88	50	50	88.847	G7	
	259	1.7	237	23	59	237.400	142.36	142	21	36	29.224	29.224	271	6	19	271.105	G7	
1.422	257	1.7	199	43	39	199.728					14.863	14.864	88	59	43	88.995	G9	
	258	1.7	19	45	35	19.760					14.864	14.864	271	1	4	271.018	G9	
G9	276	1.7	102	10	21	102.173					14.077		89	6	33	89.109	G8	
	279	1.7	281	58	10	281.969					14.861		270	52	59	270.883	G8	
1.42	275	1.7	350	39	48	350.663	248.491	248	29	27	248.609	18.781	89	16	46	89.279	G10	
	277	1.7	350	56	20	350.939	248.727	248	43	36	18.848	18.849	89	16	3	89.268	G10	
	278	1.7	170	41	46	170.696					18.85		270	43	21	270.733	G10	
G10	291	1.7	144	55	22	144.923					18.768		89	26	13	89.437	G9	
	294	1.7	325	0	9	325.003					18.645		270	32	38	270.544	G9	
1.41	292	1.7	260	15	1	260.250	115.328	115	19	39	19.739		89	10	46	89.179	G11	
	293	1.7	80	14	12	80.237	115.234	115	14	3	115.281	19.75	19.743	270	50	26	270.841	G11
G11	312	1.7	329	20	45	329.346					19.740		89	20	35	89.343	G10	
	315	1.7	149	26	0	149.433					19.734		270	40	52	270.681	G10	
1.53	313	0.4	205	8	13	205.137	235.791	235	47	28	16.656	16.653	92	12	58	92.216	G12	
	314	0.4	25	9	6	25.152	235.718	235	43	6	235.755	16.65	267	45	32	267.759	G12	
G12	330	1.7	226	42	5	226.701					16.674		89	24	29	89.408	G11	
	333	1.7	47	7	37	47.127					16.654		270	38	16	270.638	G11	
	334	1.7	227	9	51	227.164					16.65		89	22	19	89.372	G11	
1.47	331	1.7	354	15	11	354.253	127.552	127	33	6	127.552	12.228	88	18	34	88.309	G13	
	332	1.7	173	55	3	173.918	126.791	126	47	26	12.383	12.348	272	3	24	272.057	G13	
G13	342	1.7	1	43	28	1.774					12.291		90	12	0	90.200	G12	
	345	1.7	181	27	54	181.465					12.313		269	47	33	269.793	G12	
1.53	343	1.7	116	5	33	116.093	114.368	114	22	5	23.773	23.765	77	54	39	77.911	G14	
	344	1.7	296	6	33	296.409	114.644	114	38	39	114.644	23.756	282	5	12	282.087	G14	
G14	371	1.7	250	38	57	250.649					23.742		101	27	27	101.458	G13	
	375	1.7	70	34	52	70.581	356.709	106.06	3	35	106.099	29.968	82	8	33	82.143	G13	
1.51	373	0.07	356	42	32	356.709	106.138	106	8	18	29.968		277	51	2	277.851	G15	
	374	0.07	176	43	10	176.719						29.901						
G15	398	1.7	21	54	1	21.900					29.809		100	12	18	100.205	G14	
1.547	399	1.7	201	56	8	201.936	54.3192	54	19	9	54.310	29.858	259	48	11	259.893	G14	
	400	1.7	21	56	52	21.948	54.3017	54	18	6	29.688		100	12	18	100.205	G14	
	401	1.7	201	43	57	201.733	54.2889	54	17	20	29.722		259	45	9	259.753	G14	
	402	1.8	76	13	10	76.219	54.5017	54	30	6	20.816		54	26	27	54.441	P6	
	403	1.8	256	14	14	256.237					20.819		305	34	5	305.568	P6	
	404	1.8	76	14	12	76.237					20.82		54	26	26	54.441	P6	
	405	1.8	256	14	3	256.234					20.817		305	33	37	305.560	P6	

Hitungan pendekatan Azimuth awal

Point	S. Horizontal				Azimuth	Jarak (d)	d sin α	d cos α	Koordinat		kode
	d	m	s	des	des				X	Y	
P1					63.27952				660847.000	9074341.000	P1 diketahui
	259	27	45.000	259.4625	322.742	15.539	-9.40718	12.3675			197.0074638
G1									660837.593	9074353.367	G1
	190	23	54.000	190.39833	333.1404	21.214	-9.58462	18.92535			-0.140706697
G2									660828.008	9074372.293	G2
	172	46	46.500	172.77958	325.9199	17.336	-9.71424	14.35863			197.1481705
G3									660818.294	9074386.651	G3
	264	0	3.500	264.00097	49.92091	12.131	9.282303	7.810638			0
G4									660827.576	9074394.462	G4
	126	11	53.333	126.19815	356.1191	7.680	-0.51979	7.662139			-8
G5									660827.056	9074402.124	G5
	165	8	10.500	165.13625	341.2553	7.858	-2.52527	7.441481			26.54411
G6									660824.531	9074409.566	G6
	249	2	46.000	249.04611	50.30142	14.380	11.06394	9.184995			53.41379
G7									660835.595	9074418.751	G7
	186	37	55.000	186.63194	56.93336	29.348	24.59428	16.01241			0
G8									660860.189	9074434.763	G8
	142	25	38.500	142.42736	19.36072	14.864	4.927465	14.02297			-26.54411
G9									660865.117	9074448.786	G9
	248	36	31.500	248.60875	87.96947	18.849	18.83716	0.667857			26.86968
G10									660883.954	9074449.454	G10
	115	16	51.000	115.28083	23.25031	19.743	7.793486	18.13956			53.41379
G11									660891.748	9074467.594	G11
	235	45	17.000	235.75472	79.00503	16.653	16.34732	3.176108			0
G12									660908.095	9074470.770	G12
	127	33	6.000	127.55167	26.55669	12.348	5.520583	11.04519			-8
G13									660913.615	9074481.815	G13
	114	38	39.000	114.64417	321.2009	23.765	-14.8906	18.5208			26.54411
G14									660898.725	9074500.336	G14
	106	5	56.500	106.09903	247.2999	29.901	-27.5846	-11.5389			0
G15									660871.140	9074488.797	G15
	54	18	37.500	54.310417	121.6103	20.818	17.72929	-10.9115			-8
P6									660888.869	9074477.885	P6'
									660889.227	9074477.852	P6 Diketahui

282.425 41.8695 136.8852

Data Hitungan Poligon Terbuka Terikat Koordinat

Point	S. Horizontal				selisih Az	Azimuth				Jarak (d)	d sin α			d cos α			Koordinat			kode
	d	m	s	des		d	m	s	des		d sin α	Δx	kΔx	d cos α	Δy	kΔy	x	y	z	
P1																	660847.000	9074341.000	111.000	P1
	259	27	45	259.463	0.140707	322	52	57.81077424	322.88273	15.539	-9.377	0.002	-9.37455	12.391	0.003	12.39315	660837.625	9074353.393	105.591	G1
G1																				DIKETAHUI
	190	23	54	190.398	0.140707	333	16	51.81077424	333.28106	21.214	-9.538	0.003	-9.53506	18.949	0.004	18.95235	660828.090	9074372.346	94.407	G2
G2																				DIKETAHUI
	172	46	46	172.780	0.140707	326	3	38.31077424	326.06064	17.336	-9.679	0.002	-9.67645	14.382	0.003	14.38533	660818.414	9074386.731	88.515	G3
G3																				DIKETAHUI
	264	0	4	264.001	0.140707	49	55	15.26666667	49.92091	12.131	9.282	0.002	9.28405	7.811	0.002	7.81265	660827.698	9074394.543	82.724	G4
G4																				DIKETAHUI
	126	11	53	126.198	0.140707	356	15	35.14410758	356.25976	7.680	-0.501	0.001	-0.49987	7.663	0.001	7.66467	660827.198	9074402.208	82.947	G5
G5																				DIKETAHUI
	165	8	11	165.136	0.140707	341	23	45.64410758	341.39601	7.858	-2.507	0.001	-2.50586	7.448	0.001	7.44897	660824.692	9074409.657	83.201	G6
G6																				DIKETAHUI
	249	2	46	249.046	0.140707	50	26	31.64410758	50.44212	14.380	11.086	0.002	11.08853	9.158	0.002	9.16019	660835.781	9074418.817	83.226	G7
G7																				DIKETAHUI
	186	37	55	186.632	0.140707	57	4	26.64410758	57.07407	29.348	24.634	0.004	24.63775	15.952	0.005	15.95684	660860.419	9074434.774	83.418	G8
G8																				DIKETAHUI
	142	25	39	142.427	0.140707	19	30	5.14410758	19.50143	14.864	4.962	0.002	4.96403	14.011	0.002	14.01330	660865.383	9074448.787	83.401	G9
G9																				DIKETAHUI
	248	36	31	248.609	0.140707	88	6	36.64410758	88.11018	18.849	18.839	0.003	18.84146	0.622	0.003	0.62473	660884.224	9074449.412	83.358	G10
G10																				DIKETAHUI
	115	16	51	115.281	0.140707	23	23	27.64410758	23.39101	19.743	7.838	0.003	7.84085	18.120	0.003	18.12365	660892.065	9074467.536	83.351	G11
G11																				DIKETAHUI
	235	45	17	235.755	0.140707	79	8	44.64410758	79.14573	16.653	16.355	0.002	16.35747	3.136	0.003	3.13872	660908.422	9074470.675	83.836	G12
G12																				DIKETAHUI
	127	33	6	127.552	0.140707	26	41	50.64410758	26.69740	12.348	5.548	0.002	5.54947	11.032	0.002	11.03365	660913.972	9074481.708	83.971	G13
G13																				DIKETAHUI
	114	38	39	114.644	0.140707	321	20	29.64410758	321.34157	23.765	-14.845	0.003	-14.84170	18.557	0.004	18.56126	660899.130	9074500.269	88.891	G14
G14																				DIKETAHUI
	106	5	56	106.099	0.140707	247	26	26.14410758	247.44060	29.901	-27.613	0.004	-27.60851	-11.471	0.005	-11.46619	660871.522	9074488.803	94.457	G15
G15																				DIKETAHUI
	54	18	37	54.310	0.140707	121	45	3.64410758	121.75101	20.818	17.702	0.003	17.70544	-10.955	0.003	-10.95157	660889.227	9074477.852	109.086	P6
P6																				

$\Sigma d = 282.425 \quad 0.041 \quad 0.047$

$\Sigma d \sin \alpha = 42.186 \quad 136.805 \quad 0.06211$

fx	0.041	KL	1:	4546.841
fy	0.047			

Data Perhitungan Pengukuran Detail

Point	Target	Rh (m)	Horizontal				Azimuth	Zenith				Hd	d sin α	d cos α	Δh	Koordinat			Code
			Horizontal	Zenith	Hd	d sin α		d cos α	Δh	Koordinat	Koordinat								
G2	100	1.7	132	23	24	132.39	239.055	65	43	38	65.72722	9.822	-8.42397	-5.05059	4.282186	660819.666	9074367.295	98.689	L
1.55	101	1.7	150	56	9	150.9358	257.601	76	4	4	76.06778	5.451	-5.32386	-1.17042	1.20524	660822.767	9074371.175	95.612	L
	102	1.7	210	47	37	210.7936	317.459	108	46	47	108.7797	4.574	-3.09257	3.370086	-1.70231	660824.998	9074375.716	92.705	L
	103	1.7	168	6	54	168.115	274.78	90	11	10	90.18611	10.706	-10.6688	0.892173	-0.18178	660817.422	9074373.238	94.225	L
	104	1.7	176	13	33	176.2258	282.891	95	32	3	95.53417	12.274	-11.9646	2.738305	-1.33624	660816.126	9074375.084	93.071	L
	105	1.7	184	11	35	184.1931	290.858	96	44	32	96.74222	6.695	-9.05963	3.451979	-1.29314	660819.031	9074375.797	93.114	L
	106	1.7	205	36	25	205.6069	312.272	105	57	2	105.9506	7.285	-5.39059	4.900278	-2.22914	660822.700	9074377.246	92.178	L
	107	1.7	231	49	3	231.8175	338.483	125	54	41	125.9114	8.284	-3.03842	7.706663	-6.14613	660825.052	9074380.052	88.261	L
	108	1.7	258	54	2	258.9006	5.56578	131	26	58	131.4494	8.175	0.792881	8.136459	-7.36678	660828.883	9074380.482	87.040	L
	109	0	254	36	50	254.6139	1.27911	122	11	33	122.1925	7.327	0.16356	7.325174	-3.05972	660828.254	9074379.671	91.347	Da
	110	0	250	45	24	250.7567	357.422	118	56	8	118.9356	12.294	-0.553	12.28156	-5.24361	660827.537	9074384.627	89.164	Da
	111	1.7	248	50	8	248.8356	355.501	120	46	38	120.7772	12.423	-0.97453	12.38472	-7.5459	660827.116	9074384.730	86.861	Da
	112	1.7	205	39	26	205.6572	312.322	104	28	49	104.4803	9.628	-7.11863	6.482554	-6.33433	660820.972	9074378.828	91.774	L
	113	1.7	195	11	55	195.1986	301.864	99	18	30	99.30833	11.659	-9.90205	6.154814	-2.05798	660818.188	9074378.500	92.349	L
	114	1.7	231	41	5	231.6847	338.35	121	47	11	121.7864	10.868	-4.0096	10.10131	-6.88187	660824.081	9074382.447	87.525	I
	115	1.7	194	3	49	194.0636	300.729	98	50	3	98.83417	14.987	-12.8828	7.657991	-2.47626	660815.208	9074380.003	91.931	I
	116	0	191	28	28	191.4744	298.14	97	32	4	97.53444	18.388	-16.2145	8.672195	-0.87907	660811.876	9074381.018	93.528	A
	117	0	189	50	1	189.8336	296.499	100	51	12	100.8533	18.943	-16.9529	8.451981	-2.07885	660811.137	9074380.797	92.328	L
	118	0	183	6	2	183.1006	289.766	100	55	26	100.9239	16.973	-15.973	5.73986	-1.72282	660812.117	9074378.085	92.684	L
	119	0	183	7	8	183.1189	289.784	99	11	3	99.18417	15.805	-14.8721	5.34963	-1.00237	660813.218	9074377.695	93.405	A
	120	0	199	48	35	199.8097	306.475	98	28	55	98.48194	24.111	-19.3881	14.3333	-2.04265	660808.702	9074386.679	92.365	L
	121	0	205	56	12	205.9367	312.602	102	20	55	102.3486	19.821	-14.5897	13.41684	-2.7863	660813.501	9074385.762	91.621	L
	122	1.7	236	29	36	236.4933	343.159	118	1	39	118.0275	16.189	-4.69034	15.49466	-8.76481	660823.400	9074387.840	85.642	L
	123	1.7	214	2	24	214.04	320.705	102	52	22	102.8728	17.734	-11.2311	13.72431	-4.19976	660816.859	9074386.070	90.207	L
	124	1.7	226	23	34	226.3928	333.058	111	34	34	111.5761	16.520	-7.48502	14.72701	-6.67976	660820.605	9074387.073	87.727	L
	125	0	214	40	39	214.6775	321.343	100	2	59	100.0497	22.453	-14.0255	17.53347	-2.42616	660814.065	9074389.879	91.981	L
	126	1.7	230	0	7	230.0019	336.667	105	10	1	105.1669	20.756	-8.22086	19.05857	-5.77342	660819.870	9074391.404	88.634	L
	127	0	220	32	9	220.5358	327.201	101	54	22	101.9061	21.917	-11.8723	18.42292	-3.06808	660816.218	9074390.768	91.339	L
	128	0	242	16	4	242.2678	348.933	114	29	8	114.4856	18.799	-3.60859	18.4494	-7.00847	660824.482	9074390.795	87.399	A
	129	0	240	23	26	240.3906	347.056	113	32	16	113.5378	19.416	-4.34923	18.92261	-6.90454	660823.741	9074391.268	87.503	Da
	130	1.7	322	38	55	322.6486	69.3138	103	20	41	103.3447	1.749	1.636241	0.617832	-0.56189	660829.727	9074372.963	93.845	L
	140	0	194	33	41	194.5614	248.91	254	58	33	254.9758	7.412	-6.91551	-2.66711	3.498391	660811.498	9074384.064	92.014	A
	141	0	199	30	57	199.5158	253.864	257	30	44	257.5122	7.419	-7.12674	-2.06184	3.152092	660811.287	9074384.669	91.667	A
	152	1.7	237	35	8	237.5856	131.816	296	44	49	296.7469	2.508	1.869185	-1.67219	-1.59297	660820.283	9074385.059	86.922	L
	153	1.7	284	27	46	284.4628	178.693	287	52	16	287.8711	1.552	0.035393	-1.5516	-0.82942	660818.449	9074385.179	87.686	L
	154	1.7	209	53	27	209.8908	104.121	297	17	44	297.2956	1.227	1.189922	-0.29936	-0.96218	660819.604	9074386.431	87.553	S
	155	1.7	214	45	36	214.76	108.991	293	53	46	293.8961	3.829	3.620597	-1.246	-2.02547	660822.035	9074385.485	86.490	L
	156	1.7	194	17	4	194.2844	88.5149	289	37	29	289.6247	3.215	3.21392	0.08332	-1.47537	660821.628	9074386.814	87.040	L
	157	1.7	153	2	11	153.0364	47.2669	281	46	20	281.7722	1.65	1.211962	1.119664	-0.67287	660819.626	9074387.850	87.842	S
	158	1.7	121	49	9	121.8192	16.0497	283	34	39	283.5775	1.349	0.372959	1.296419	-0.6548	660818.787	9074388.027	87.861	S
	159	1.35	165	33	11	165.5531	59.7836	89	23	18	89.38833	4.163	3.597375	2.095104	0.065444	660822.011	9074388.826	88.581	S
	160	1.35	157	48	12	157.8033	52.0338	89	44	21	89.73917	4.48	3.531916	2.756078	0.041395	660821.946	9074389.487	88.557	S
	161	1.35	148	0	17	148.0047	42.2352	89	49	9	89.81917	4.584	3.081254	3.393955	0.035468	660821.495	9074390.125	88.551	S
	162	1.35	166	33	37	166.5603	60.7908	87	59	1	87.98361	2.133	1.861775	1.040904	0.096097	660820.276	9074387.772	88.611	S
	163	1.35	151	49	13	151.8203	46.0508	89	57	17	89.95472	2.243	1.614859	1.556688	0.022773	660820.029	9074388.288	88.538	S
	164	1.35	140	4	23	140.0731	34.3036	90	15	32	90.25889	2.087	1.176186	1.723994	0.01157	660819.590	9074388.455	88.527	S
	165	1.35	231	44	51	231.7475	125.978	93	30	4	93.50111	0.0772	0.062474	-0.04535	0.016277	660818.476	9074386.685	88.532	S
	174	1.2	324	21	58	324.3661	224.926	80	18	15	80.30417	2.399	-1.69416	-1.69853	-0.09011	660826.004	9074392.845	82.634	SDA
0.7	175	1.2	323	13	36	323.2267	223.787	76	3	52	76.06444	1.431	-0.99022	-1.03307	-0.14492	660826.708	9074393.510	82.579	SDA
	176	1.2	337	6	58	337.1161	237.676	73	42	9	73.7025	1.299	-1.09771	-0.69458	-0.12021	660826.600	9074393.849	82.603	SDI
	177	1.2	330	53	55	330.8986	231.459	80	46	25	80.77361	2.466	-1.9288	-1.53651	-0.09943	660825.769	9074393.007	82.624	SDI
	178	1.2	143	29	48	143.4967	44.0567	79	54	44	79.91222	2.417	1.68071	1.736981	-0.07	660829.379	9074396.280	82.654	SDA
	179	1.2	142	2	7	142.0353	42.5954	84	49	21	84.8225	3.231	2.186793	2.378507	-0.20724	660829.885	9074396.922	82.516	SDA
	180	1.2	111	20	24	111.34	11.9001	80	52	48	80.88	1.905	0.392821	1.864059	-0.19419	660828.091	9074396.408	82.529	SDI

Data Perhitungan Pengukuran Detail

	221	1.7	206	43	11	206.7197	46.6046	83	29	5	83.48472	16.118	11.71182	11.07353	1.058768	660836.404	9074420.731	84.2598	L
	222	1.7	202	44	4	202.7344	42.6193	81	58	49	81.98028	21.02	14.23316	15.46796	2.179547	660838.925	9074425.125	85.3805	L
	223	1.7	211	10	50	211.1806	51.0655	84	59	15	84.9875	19.9	15.4795	12.5058	0.963399	660840.172	9074422.163	84.1644	L
	224	1.7	205	12	12	205.2033	45.0882	81	40	25	81.67361	25.401	17.98886	17.93354	2.935554	660842.681	9074427.591	86.1365	L
	225	1.7	213	47	13	213.7869	53.6718	85	46	34	85.77611	24.168	19.47064	14.31734	1.002918	660844.163	9074423.974	84.2039	L
	226	0	203	53	6	203.885	43.7699	81	40	8	81.66889	25.53	17.66073	18.43582	4.656583	660842.353	9074428.093	87.8576	DI
	227	0	201	45	31	201.7586	41.6435	81	26	50	81.44722	20.75	13.78825	15.50634	4.038652	660838.481	9074425.163	87.2396	DI
	228	0	190	10	1	190.1669	30.0518	79	44	52	79.74778	16.058	8.04158	13.89936	3.822403	660832.734	9074423.556	87.0234	DI
	229	0	172	14	21	172.2392	12.1241	74	40	10	74.66944	12.028	2.526232	11.75972	4.215384	660827.218	9074421.417	87.4164	DI
	230	0	179	0	1	179.0003	18.8852	81	43	54	81.73167	10.118	3.27492	9.573339	2.388346	660827.967	9074419.230	85.5893	L
	231	0	223	12	22	223.2061	63.091	83	22	7	83.36861	4.02	3.584741	1.81935	1.385362	660828.277	9074411.476	84.5864	L
	232	0	212	57	27	212.9575	52.8424	86	59	4	86.98444	6.79	5.411475	4.101224	1.275697	660830.104	9074413.758	84.4767	L
	233	1.7	213	17	49	213.2969	53.1818	78	26	18	78.43833	9.851	7.886135	5.903481	1.323252	660832.578	9074415.561	84.4342	L
	234	0	218	19	51	218.3308	58.2157	79	28	6	79.46833	9.86	8.381368	5.193483	2.75108	660833.074	9074414.851	85.9521	DA
	235	0	220	19	35	220.3264	60.2113	76	42	58	76.71611	6.576	5.707069	3.266976	2.470548	660830.399	9074412.924	85.6715	DA
G7	245	0	146	36	50	146.6139	261.5	79	49	32	79.82556	11.547	-11.4202	-1.70677	3.500317	660874.361	9074417.111	86.7267	L
1.43	246	0	159	38	27	159.6408	274.527	77	9	43	77.16194	13.159	-13.118	1.03859	4.426844	660822.663	9074419.856	87.6532	L
	247	1.2	144	55	23	144.9231	259.809	76	46	36	76.77667	16.455	-16.1954	-2.91137	4.094556	660819.585	9074415.906	87.3209	L
	248	1.2	141	6	37	141.1103	255.996	77	32	14	77.53722	14.651	-14.2156	-3.54532	4.466064	660821.565	9074415.272	86.6924	L
	249	1.2	127	23	9	127.3858	242.272	81	23	45	81.39583	18.094	-16.0162	-8.41872	2.965806	660819.765	9074410.399	86.1922	L
	250	1.2	114	15	59	114.2664	229.152	89	56	26	89.4056	15.951	-12.0662	-10.4327	2.044549	660823.715	9074408.385	83.4709	L
	251	0	349	46	32	349.7756	464.662	85	40	1	85.66694	3.24	3.134498	-0.82007	1.673497	660838.915	9074417.997	84.8999	DA
	252	0	319	17	56	319.2989	434.185	89	9	8	89.15222	8.384	8.066634	2.284923	1.552063	660843.847	9074421.102	84.7784	DA
	253	0	311	18	43	311.3119	426.198	89	26	26	89.44056	14.646	13.40029	5.910802	1.57101	660849.181	9074424.728	84.7974	DA
	254	0	305	48	4	305.8011	420.687	89	29	6	89.485	21.914	19.10812	10.72862	1.624978	660854.889	9074429.546	84.8513	DA
G8	260	0	24	51	27	24.8575	204.699	105	37	18	105.6217	4.152	-1.7349	-3.77216	0.261048	660858.684	9074431.002	83.6793	S
1.42	261	0	34	40	25	34.67361	214.515	88	37	39	88.6275	4.244	-2.40474	-3.49697	1.523683	660858.014	9074431.277	84.9419	S
	262	0	33	45	41	33.76139	213.603	87	5	42	87.095	2.173	-1.2026	-1.80988	1.53227	660859.216	9074432.964	84.9505	S
	263	0	11	32	21	11.53917	191.38	94	20	31	94.34194	2.21	-0.43608	-2.16655	1.254202	660859.982	9074432.608	84.6724	DA
	264	0	320	35	44	320.5956	500.437	83	42	1	83.70028	1.413	0.89998	-1.08931	1.57799	660861.319	9074433.685	84.9962	DA
	265	2	183	2	29	183.0414	362.883	87	59	46	87.99611	3.452	0.173605	3.447632	-0.45722	660860.592	9074438.222	82.961	S
	266	2	203	19	19	203.3219	383.163	82	10	15	82.17083	3.638	1.431015	3.344733	-0.07777	660861.850	9074438.119	83.3405	S
	267	2	183	27	45	183.4625	363.304	86	9	3	86.15083	8.324	0.479713	8.310166	-0.01795	660860.889	9074443.084	83.4003	S
	268	2	191	48	22	191.7728	371.514	86	10	11	86.16972	7.981	1.606722	7.817596	-0.04367	660862.025	9074442.592	83.3746	S
	269	2	202	39	42	202.6617	382.503	88	57	43	88.96194	16.773	6.419549	15.4959	-0.27408	660866.838	9074450.270	83.1442	S
	270	2	206	31	32	206.5256	386.367	88	3	20	88.05565	16.451	7.306165	14.73958	-0.01949	660867.725	9074449.514	83.3988	S
	271	1.7	214	46	19	214.7719	394.613	85	5	21	85.08917	15.595	8.858488	12.83477	1.061934	660869.277	9074447.609	84.4802	L
	272	1.7	216	14	20	216.2389	396.08	79	18	34	79.30944	12.331	7.261933	9.965836	2.049862	660867.680	9074444.740	85.4681	L
	273	1.7	217	27	59	217.4664	397.308	73	25	29	73.42472	5.854	3.54808	4.656226	1.464403	660863.967	9074439.430	84.8826	L
	274	1.7	143	42	52	143.7144	323.556	82	36	29	82.60806	1.752	-1.04076	1.40937	-0.05071	660859.378	9074436.184	83.3675	L
	275	1.7	140	14</															

Data Perhitungan Pengukuran Detail

	327	0	171	41	36	171.6933	45.7385	75	45	44	75.76222	13.346	9.557898	9.314628	4.916422	660901.623	9074476.850	88.2672	ST
	328	0	220	53	49	220.8969	94.9421	83	27	45	83.4625	7.458	7.430273	-0.6425	2.384677	660899.495	9074466.893	85.7354	DA
G12	335	0	210	10	59	210.1831	242.627	84	28	27	84.47417	8.469	-7.52077	-3.89384	2.289326	660900.902	9074466.781	86.1256	DA
1.47	336	0	189	47	11	189.7864	222.231	85	33	31	85.55861	7.148	-4.8043	-5.29269	2.025203	660903.618	9074465.382	85.8615	DA
	337	0	175	29	22	175.4894	207.934	78	36	11	78.60306	3.99	-1.86912	-3.52512	2.274304	660906.553	9074467.149	86.1106	DA
	338	0	39	53	39	39.89417	72.3385	66	58	31	66.97528	2.4	2.286878	0.728142	2.489962	660910.709	9074471.403	86.3263	DA
	339	0	8	24	11	8.403056	40.8474	87	29	56	87.49889	5.737	3.752266	4.339778	1.720594	660912.175	9074475.014	85.5569	S
	340	0	7	29	54	7.498333	39.9427	92	0	23	92.00639	6.818	4.377299	5.227273	1.231149	660912.800	9074475.902	85.0675	SM
G13	346	1.7	336	42	39	336.7108	181.684	88	32	27	88.54083	5.274	-0.15497	-5.27172	-0.03566	660913.817	9074476.436	83.9351	S
1.53	347	1.7	342	57	0	342.95	187.923	88	14	35	88.24306	2.272	-0.31318	-2.25031	-0.10031	660913.659	9074479.458	83.8704	S
	348	1.7	254	33	5	254.5514	99.5243	77	7	2	77.11722	1.676	1.652897	-0.27732	0.213325	660915.625	9074481.431	84.1841	S
	349	1.7	99	32	35	99.54306	304.516	88	43	3	88.7175	6.782	-5.58815	3.842929	-0.01817	660908.384	9074485.551	83.9526	S
	350	1.7	117	20	24	117.34	322.313	88	21	2	88.35056	6.944	-4.2452	5.495216	0.029961	660909.727	9074487.203	84.0007	S
	351	1.7	99	55	46	99.92944	304.902	89	25	9	89.41917	10.739	-8.80735	6.144644	-0.06113	660905.164	9074487.853	83.9096	S
	352	1.7	110	9	0	110.15	315.123	88	57	58	88.96611	11.047	-7.79463	7.828154	0.029362	660906.177	9074489.536	84.0001	S
	353	1.7	94	39	21	94.65583	299.629	89	35	57	89.59917	14.918	-12.9674	7.375142	-0.06563	660901.004	9074489.083	83.9051	S
	354	1.7	106	57	35	106.9597	311.933	89	4	46	89.07944	14.693	-10.9306	9.8187	0.066089	660903.041	9074491.527	84.0368	S
	355	1.7	101	38	27	101.6408	306.614	90	27	30	90.45833	17.389	-13.9577	10.37111	-0.3091	660900.014	9074492.079	83.6616	S
	356	1.7	105	44	9	105.7358	310.709	91	28	45	91.47917	17.523	-13.283	11.42876	-0.62248	660900.689	9074493.137	83.3483	S
	357	1.7	111	52	8	111.8689	316.842	86	59	1	86.98361	18.038	-12.3383	13.15815	0.780505	660901.634	9074494.866	84.7513	L
	358	1.7	113	1	23	113.0231	317.996	86	56	35	86.94306	12.275	-8.21421	9.121531	0.485539	660905.758	9074490.830	84.4563	L
	359	1.7	120	40	14	120.6706	325.644	85	1	4	85.01778	8.671	-4.89339	7.158277	0.585903	660909.078	9074488.866	84.5567	L
	360	1.7	139	9	17	139.1547	344.128	76	22	16	76.37111	4.182	-1.14375	4.022555	0.843965	660912.828	9074485.731	84.8147	L
	361	1.7	87	48	52	87.81444	292.787	86	8	29	86.14139	12.953	-11.942	5.016864	0.703647	660902.030	9074486.725	84.6744	L
	362	1.7	84	48	10	84.80278	289.776	85	0	24	85.00667	7.967	-7.49714	2.69555	0.526088	660906.475	9074484.404	84.4968	L
	363	1.7	71	10	50	71.18056	276.154	79	36	33	79.60917	4.099	-4.07538	0.439383	0.581629	660909.896	9074482.148	84.5524	L
	364	0	54	19	32	54.32556	259.299	77	26	5	77.43472	5.22	-5.12921	-0.96931	2.693487	660908.843	9074480.739	86.6642	DI
	365	0	82	2	49	82.04694	287.02	83	32	37	83.54361	8.414	-8.04549	2.46281	2.482167	660905.926	9074484.171	86.4529	DI
	366	0	84	37	20	84.62222	289.595	86	52	37	86.87694	12.608	-11.8778	4.228374	2.217913	660902.094	9074485.937	86.1887	DI
	367	0	93	44	51	93.7475	298.72	88	13	38	88.22722	15.811	-13.8658	7.597765	2.019361	660900.106	9074489.306	85.9901	DI
	368	1.7	127	22	59	127.3831	332.356	78	6	24	78.10667	18.727	-8.68888	16.58927	3.774122	660905.283	9074498.297	87.7449	DA
	369	0	138	55	43	138.9286	343.902	77	19	10	77.31944	11.302	-3.13391	10.85881	4.072986	660910.838	9074492.567	88.0437	L
G14	376	0	308	53	23	308.8897	199.582	86	32	58	86.54944	10.082	-3.37906	-9.49888	2.117909	660895.751	9074490.771	91.0086	DI
1.51	377	1.7	295	25	26	296.4239	187.116	100	53	12	100.8867	4.891	-0.60591	-4.85332	-1.13068	660898.524	9074495.416	87.76	L
	378	1.7	269	27	21	269.4558	160.148	109	55	0	109.9167	5.194	1.763819	-4.88534	-2.07191	660900.894	9074495.384	86.8188	L
	379	0	179	14	29	179.2414	69.9338	84	21	6	84.35167	3.337	3.134433	1.144944	1.840038	660902.265	9074501.414	90.7308	DA
	380	0	104	49	9	104.8192	355.512	76	37	9	76.61917	1.894	-0.14822	1.888191	1.960545	660898.982	9074502.158	90.8513	DA
	381	1.7	184	1	22	184.0228	74.7152	81	47	6	81.785	2.237	2.157871	0.589712	0.132954	660901.288	9074500.859	89.0237	L
	382	1.35	47	10	43	47.17861	297.871	75	13	17	75.22139	3.297	-2.91456	1.54129	1.029788	660896.216	9074501.811	89.9205	L
	383	1.35	21	30	39	21.51083	272.203	86	13	8	86.21889	4.113	-4.10996	0.158121	0.431823	660895.020	9074500.428	89.3225	L
	384	2.75	319	12	29	319.2081	209.9	105	7	58	105.1328	8.915	-4.44408	-7.72835	-3.65092	660894.686	9074492.541	85.2398	L
	385	2.75	347	19	27	347.3242	238.017	101	19	15	101.3208	10.657	-9.03928	-5.64474	-3.37351	660890.091	9074494.625	85.5172	L
	386	2.75	355	32	4	355.55344	246.227	100	40	49	100.6803	13.786	-12.6162	-5.55736	-3.83998	660886.514	9074494.712	85.0507	L
	387	2.75	352	30	52	352.5144	243.207	115	44	16	115.7378	7.04	-6.28418	-3.17343	-4.63384	660892.846	9074497.096	84.2569	L
	388	2.75	12	11	24	12.19	262.882	105	30	20	105.5056	11.22	-11.1335	-1.39023	-4.35275	660887.997	9074498.879	84.538	L
	389	1.7	29	13	54	29.23167	279.924	90	39	50	90.66389	2.227	-2.19368	0.383808	-0.21581	660896.936	9074500.653	88.6749	L
	390	1.7	24	33	29	24.55806	275.25	91	10	20	91.17222	22.491	-22.3966	2.058141	-0.65021	660876.733	9074502.328	88.2405	L
	391	1.7	26	30	35	26.50972	277.202	90	58	55	90.98194	22.735	-22.5556	2.850287	-0.57967	660876.575	9074503.120	88.311	L
	392	1.7	15	43	49	15.73028	266.423	94	45	4	94.75111	20.32	-20.2804	-1.26788	-1.87886	660878.850	9074499.002	87.0119	L
	393	1.7	22	6	18	22.105	272.797	97	26	47	97.44639	19.37	-19.3469	0.945342	-2.72167	660879.783	9074501.215	86.169	L
	394	1.7	7	21	19	7.355278	258.048	85	34	24	85.57333	16.39	-16.0347	-3.39433	1.078815	660883.095	9074496.875	89.9695	L
	395	1.7	5	19	55	5.331944	256.024	81	11	22	81.18944	21.986	-21.3352	-5.30983	3.21776	660877.795	9074494.960	92.1085	L
	396	1.7	1	18	52	1.314444	252.007	78	38	32	78.64222	27.289	-25.9544	-8.42966	5.291503	660873.176	9074491.840	94.1822	L
G15	406	1.7	355	18	13	355.3036	40.8439	96	49	7	96.81861	3.079	2.013668	2.329245	-0.52116	660873.535	9074491.133	93.936	L
1.55	407	3	28	51	31	28.85861	74.3989	117	8	6	117.135	4.365	4.204183	1.173914	-3.69005	660875.726	9074489.977	90.7671	L
	408	3	49	31	5	49.51806	95.0584	107	24	1	107.4003	7.147	7.119165	-0.63016	-3.69277	660878.641	9074488.173	90.7644	LDI</td